



ฉบับนี้ขาดสาร

ปริญญาโททางการศึกษา 2531

ภาควิชาวิศวกรรมโทรคมนาคม

คณะวิศวกรรมศาสตร์ สถาบันเทคโนโลยีพระจอมเกล้าเจ้าคุณทหารลาดกระบัง

เรื่อง ดิจิตอลไมโครเวฟ

ผู้จัดทำ

1. นายวิรุทธิ์ แก้วบางกะพ้อม 28.1231
2. นายสฤช สมทรกลิน 28.1252



เอกสารนี้เป็นเอกสารที่สงวนไว้สำหรับการใช้งานเพื่อการศึกษาเท่านั้น ไม่อนุญาตให้นำไปใช้ประโยชน์ด้านการค้า  
ไม่ว่ากรณีใดๆทั้งสิ้น อีกทั้งห้ามมิให้ดัดแปลงเนื้อหา และต้องอ้างอิงถึงเจ้า **U23112** รั้งที่มีการนำไปใช้

## ดิจิทัลไมโครเวฟ

นายวิสุทธิ แก้วบางกะพ้อม

นายสฤช สมุทรกลิน

อาจารย์โมไนย ไกรฤกษ์ อาจารย์ที่ปรึกษา

ปีการศึกษา 2531

### บทคัดย่อ

ปฏิญานินพนธ์เรื่องดิจิทัลไมโครเวฟ (Digital Microwave) นี้ เป็นการศึกษา และทดลองสร้างระบบการรับส่งสัญญาณดิจิทัล ระยะทางไกลผ่านไมโครเวฟลิงค์ (Microwave Link) วัตถุประสงค์ของปฏิญานินพนธ์เรื่องนี้เพื่อจัดทำอุปกรณ์ในการทดลอง และ ศึกษาในส่วน ประกอบต่างๆ รวมถึงการรวมเป็นระบบ ในขั้นต้นนี้จะศึกษา และ ทดลองสร้างระบบที่เป็นการ สื่อสารทางเดียว (Simplex) ก่อนโดยมุ่งเน้นทำการทดลองสร้าง ในส่วนของการมอดดูเลชั่น (Modulation) สัญญาณข่าวสารที่เป็นดิจิทัล กับสัญญาณพาหะ (Carrier) ซึ่งเป็นอนาล็อก เพื่อการส่งไมโครเวฟ และ การดีมอดดูเลชั่น (Demodulation) เพื่อให้ได้สัญญาณข่าวสาร ตามเดิม

## DIGITAL MICROWAVE

Wisut Kaewbangkapom

Sarich Samuthkalin

Monai Kraileark Advisor

1988

### Abstract

The thesis of digital microwave is presented to make study the long distance digital microwave signal communication system via microwave link. The objective of this project is a part of the equipment for education and experimentation of the digital microwave system. The first, we make simplex communication system for this project and experiment in part of modulation and demodulation. In modulator modulate digital information with carrier signal ( analog signal ) for transmission and the other wise the demodulator demodulate the modulated signal to the digital information.

## สารบัญ

	หน้า
บทที่ 1 บทนำ	1
บทที่ 2 ทฤษฎีและหลักการ	3
บทที่ 3 การคำนวณและการสร้าง	40
บทที่ 4 การทดลองและผลการทดลอง	52
บทที่ 5 บทวิจารณ์และสรุป	60
ภาคผนวก	
กิตติกรรมประกาศ	
หนังสืออ้างอิง	



เอกสารนี้เป็นเอกสารที่สงวนไว้สำหรับการใช้งานเพื่อการศึกษาเท่านั้น ไม่อนุญาตให้นำไปใช้ประโยชน์ด้านการค้า  
ไม่ว่ากรณีใดๆทั้งสิ้น อีกทั้งห้ามมิให้ตัดแปลงเนื้อหา และต้องอ้างอิงถึงเจ้าของเอกสารทุกครั้งที่มีการนำไปใช้

## บทที่ 1

### บทนำ

ปัจจุบันเทคโนโลยีทางการสื่อสารโทรคมนาคมได้เจริญรุดหน้าไปอย่างรวดเร็ว ทำให้การติดต่อสื่อสารต่าง ๆ ทั้งระยะทางไกลหรือไกลเป็นไปด้วยความสะดวก รวดเร็ว และถูกต้อง การพัฒนาทางด้านเทคโนโลยีนี้ทำให้สัญญาณดิจิทัล ได้เข้ามามีบทบาทแทนที่สัญญาณอนาล็อก ระบบสื่อสารด้วยสัญญาณดิจิทัล (Digital Communication System) หลาย ๆ ระบบจึงถูกพัฒนาขึ้นมาใช้งาน ระบบดิจิทัลไมโครเวฟ (Digital Microwave System) เป็นระบบหนึ่งที่ถูกพัฒนาขึ้นมาเพื่อใช้กับการสื่อสารข้อมูลในระยะทางไกล ๆ เพื่อให้มีความเชื่อถือได้สูง (High Reliability) มีความจุสูง (High-capacity) เนื่องจากการส่งไมโครเวฟระบบเดิมนั้นมีความผิดพลาด (Error) เกิดขึ้น และไม่สามารถรองรับการเพิ่มขึ้นอย่างรวดเร็วของการใช้โทรศัพท์ได้

ในระบบการสื่อสารสัญญาณดิจิทัลนั้น จะทำการมอดดูเลทข้อมูลซึ่งเป็นสัญญาณดิจิทัลกับสัญญาณพาหะ (Carrier) ที่เป็นอนาล็อกเพื่อให้เหมาะสมกับการส่งไมโครเวฟ การมอดดูเลทแบบนี้เรียกว่า ดิจิตอลมอดดูเลชัน (Digital Modulation) ซึ่งการมอดดูเลทมีอยู่หลายวิธีคือ แอมพลิจูดชิฟท์คีย์อิง (Amplitude Shift Keying : ASK), เฟรเควนซีชิฟท์คีย์อิง (Frequency Shift Keying : FSK) และ เฟสชิฟท์คีย์อิง (Phase Shift Keying : PSK) สำหรับระบบดิจิทัลไมโครเวฟที่ใช้งานกันอยู่เน้นใช้การมอดดูเลชันแบบ PSK เนื่องจากการใช้มอดดูเลชันแบบนี้สามารถที่จะส่งสัญญาณดิจิทัลด้วยความเร็วสูงได้ โดยเกิดการผิดพลาดน้อยกว่าการใช้วิธีมอดดูเลชันแบบอื่น ซึ่งเมื่อส่งสัญญาณผ่านไมโครเวฟแล้วเกิดความผิดพลาดมาก และการมอดดูเลชันแบบ PSK นี้จะให้แบนด์วิดธ์ของสัญญาณแคบกว่าการมอดดูเลชันแบบอื่นซึ่งทำให้มีจำนวนช่องสัญญาณ (Channel) ได้มากกว่า สำหรับปริญญาโท เรื่องดิจิทัลไมโครเวฟนี้เป็นการเริ่มต้นศึกษาในด้านนี้ จึงเลือกใช้การมอดดูเลชันแบบ PSK 2 เฟส หรือไบนารีเฟสชิฟท์คีย์อิง (Binary Phase Shift Keying : BPSK) เพื่อง่ายต่อการศึกษาและการทดลองสร้างในขั้นต้นนี้

สำหรับบทที่ 1 จะกล่าวถึงที่มาของระบบดิจิทัลไมโครเวฟและข้อดีของระบบ ลักษณะการมอดดูเลชันในระบบสื่อสารดิจิทัล

บทที่ 2 เป็นการกล่าวถึงทฤษฎีและหลักการที่นำมาใช้ในการศึกษา การทดลองสร้างที่มีการนำไปใช้

ทดลองและวัดผล เช่น ลักษณะของระบบดิจิทัลไมโครเวฟโดยทั่ว ๆ ไป , วิธีทางสถิติในการวิเคราะห์ระบบการส่งสัญญาณดิจิทัล, ความรู้เกี่ยวกับไบนารีเฟลซิงที่คีย์อิ่ง , ความรู้เรื่องเฟลสล้อคูลูป และหลักการซินโครไนเซชั่นของพาหะ

ใบบทที่ 3 เป็นการแสดงการคำนวณและการสร้างวงจรต่าง ๆ

บทที่ 4 จะกล่าวถึงการทดลองและผลการทดลองของวงจรต่าง ๆ ที่สร้างขึ้นมา

สำหรับบทที่ 5 จะเป็นบทวิจารณ์และสรุป



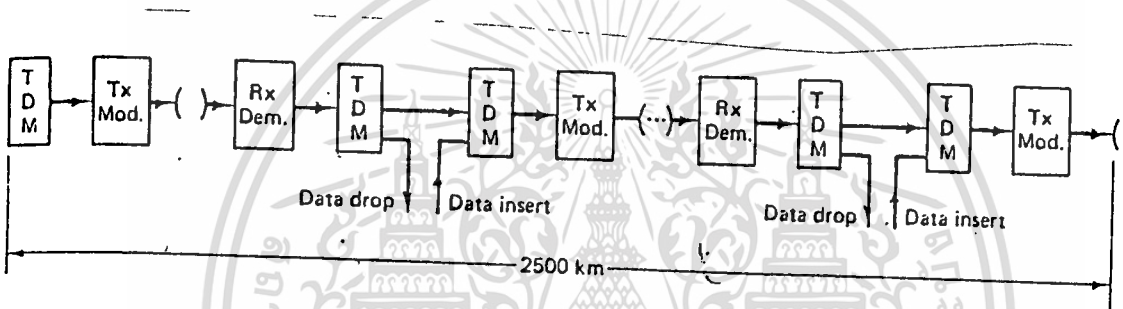
เอกสารนี้เป็นเอกสารที่สงวนไว้สำหรับการใช้งานเพื่อการศึกษาเท่านั้น ไม่อนุญาตให้นำไปใช้ประโยชน์ด้านการค้า  
ไม่ว่ากรณีใดๆทั้งสิ้น อีกทั้งห้ามมิให้ตัดแปลงเนื้อหา และต้องอ้างอิงถึงเจ้าของเอกสารทุกครั้งที่มีการนำไปใช้

## บทที่ 2

### ทฤษฎีและหลักการ

#### 2.1 ระบบดิจิทัลไมโครเวฟ

บล็อกไดอะแกรมของเส้นทางดิจิทัลเรดิโอแบบทางเดียว (ONE-WAY DIGITAL RADIO PATH) แสดงไว้ในรูปที่ 2.1 ซึ่งใช้สำหรับระบบอนาล็อกเอฟเอ็มเรดิโอ (ANALOG FM RADIO) และยังใช้ในระบบดิจิทัลเรดิโอ (DIGITAL RADIO) ด้วย

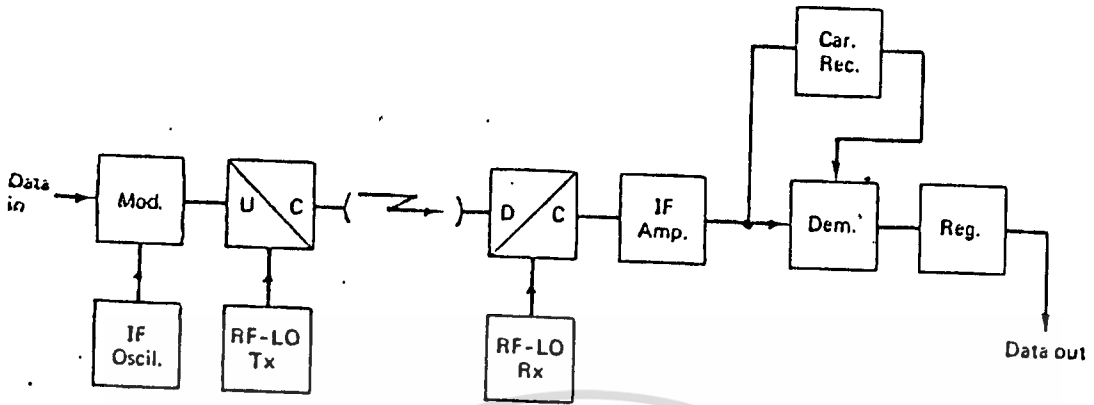


รูปที่ 2.1 เส้นทางดิจิทัลเรดิโอ

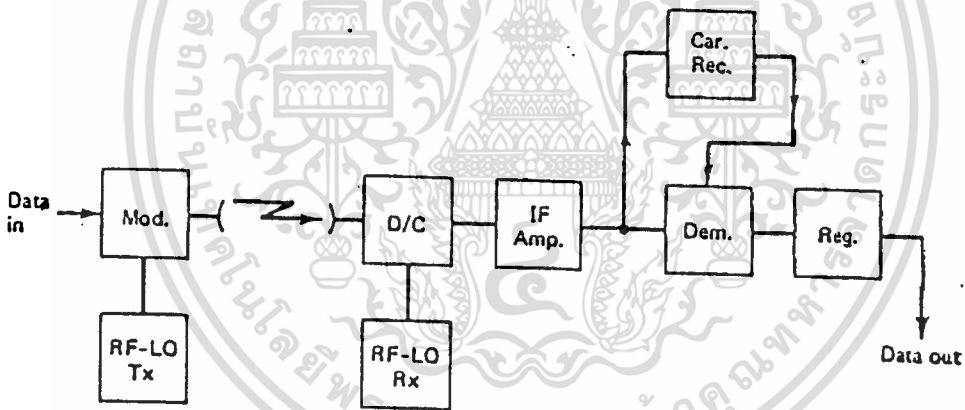
เส้นทางซึ่งกำหนดโดย CCIR นี้จะมีเรดิโอเทอร์มินัล (RADIO TERMINAL) 9 ตัวต่อกับอุปกรณ์ดิจิทัลมัลติเพล็กซ์ (DIGITAL MULTIPLEX EQUIPMENT) 9 ชุด เส้นทางนี้มีความยาว 2,500 กิโลเมตร และ ความเร็วของการส่งข้อมูลที่แต่ละด้านของระบบเป็น 64 Kb/s ภาคล่องของอุปกรณ์ TDM จะป้อนข้อมูลซึ่งเป็นดิจิทัลให้กับมอดูเลเตอร์ (MOD.) ของเครื่องส่ง เครื่องรับจะทำการ ดีมอดูเลเตอร์ (DEM) และ สร้างสัญญาณข่าวสารขึ้นมาใหม่ให้เหมือนเดิม (REGENERATE) แล้วป้อนสัญญาณข่าวสารนี้ให้กับภาครับของอุปกรณ์ TDM ณ จุดที่สามารถที่จะนำสัญญาณข่าวสารบางส่วนหรือทั้งหมดออกมา หรือใส่ข่าวสารใหม่เข้าไปได้ ในการมอดูเลชันและ ดีมอดูเลชันกับสัญญาณพาหะในเครื่องส่ง-เครื่องรับดิจิทัลเรดิโอ (DIGITAL RADIO TRANSMITTER) สามารถกระทำได้ที่ความถี่กลาง (INTERMEDIATE FREQUENCY : IF) ในระบบ เฮเทอโรไดน์ (HETERODYNE SYSTEM) หรือทำการมอดูเลชันโดยตรงที่ความถี่ไมโครเวฟ เลยก็ได้ บล็อกไดอะแกรมของเครื่องส่ง-เครื่องรับที่ใช้กัน 2 แบบนี้แสดงไว้ในรูปที่ 2.2 และ รูปที่ 2.3

เอกสารนี้เป็นเอกสารที่สงวนไว้สำหรับการใช้งานเพื่อการศึกษาเท่านั้น ไม่อนุญาตให้นำไปใช้ประโยชน์ด้านการค้า

ไม่ว่ากรณีใดๆทั้งสิ้น อีกทั้งห้ามมิให้ดัดแปลงเนื้อหา และต้องอ้างอิงถึงเจ้าของเอกสารทุกครั้งที่มีการนำไปใช้



รูปที่ 2.2 บล็อกไดอะแกรมของเครื่องรับ-เครื่องส่งเฮเทอโรไดน์

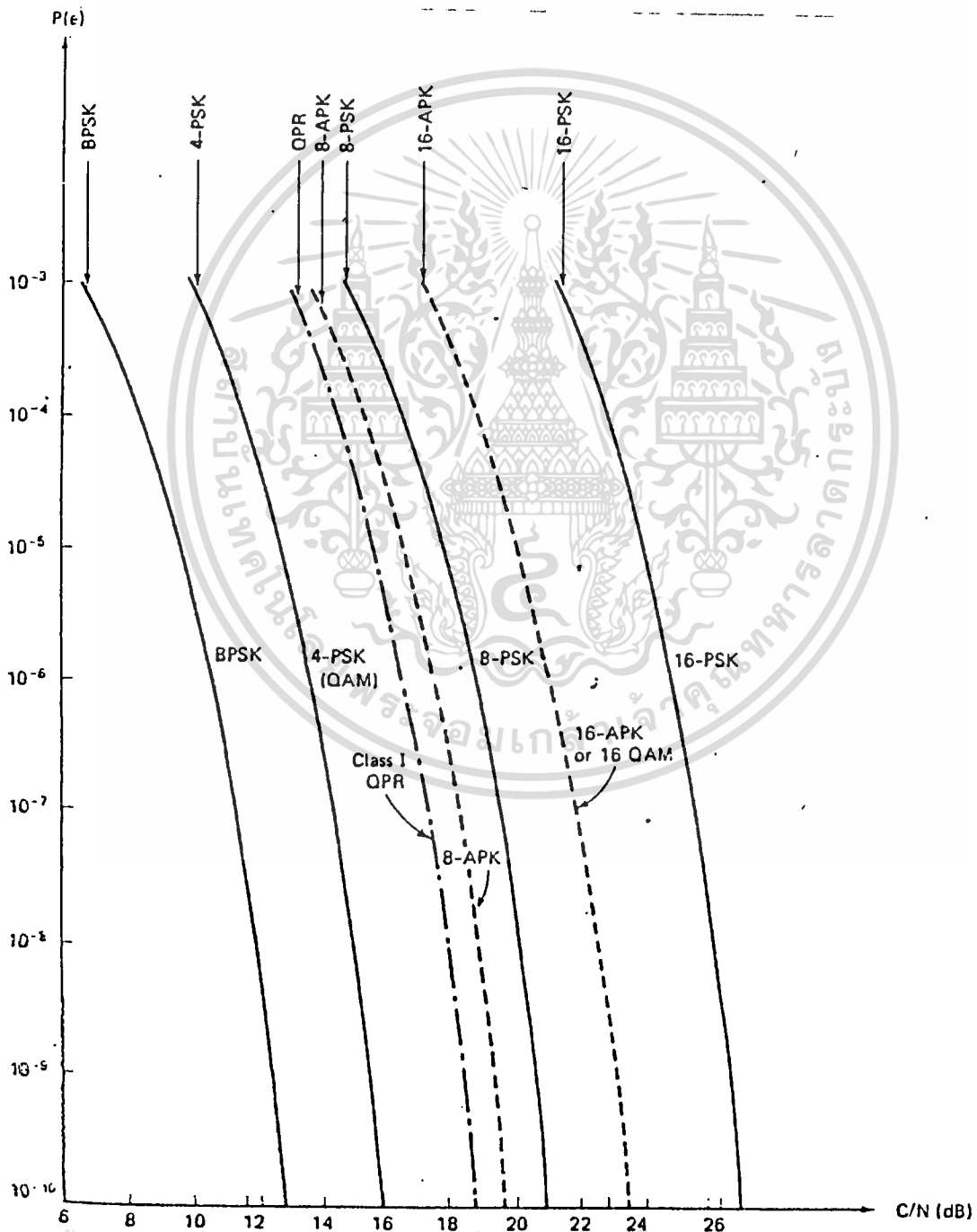


รูปที่ 2.3 บล็อกไดอะแกรมของเครื่องส่ง-เครื่องรับแบบมีมอดูเลชันโดยตรงกับ RF

ในเครื่องส่ง (Tx) ของระบบเฮเทอโรไดน์ สัญญาณดิจิตอลเบสแบนด์ (DIGITAL BASEBAND) จะถูกมอดูเลตกับสัญญาณจากไอเอ็ฟออสซิลเลเตอร์ (IF Osc) สัญญาณที่ได้จะถูกให้มีความถี่สูงขึ้นเป็นความถี่ไมโครเวฟโดย อัป-คอนเวอร์เตอร์ (Up-Converter: D/C) ทางด้านรับจะรับสัญญาณเข้ามาแล้วเปลี่ยนความถี่ลงไปที่ IF โดยดาว์น-คอนเวอร์เตอร์ (Down Converter : D/C) และทำการดีมอดูเลชันซึ่งการดีมอดูเลชันจำเป็นต้องหาความถี่และเฟสที่แท้จริงของสัญญาณในขณะนั้นมาให้ได้ โดยใช้วงจรแครี่รีคอปเวอรี่ (Carrier Recovery เอกสารนี้เป็นเอกสารที่สงวนไว้สำหรับใช้งานเพื่อการศึกษาเท่านั้น ไม่อนุญาตให้นำไปใช้ประโยชน์ด้านการค้า : Car. Rec.) สัญญาณที่ทำการดีมอดูเลทแล้วจะถูกนำไปสร้างสัญญาณเข้าวารใหม่ให้เหมือนไม่ว่ากรณีใดๆทั้งสิ้น อีกทั้งห้ามมิให้คัดลอกสิ่งเนื้อหา และต้องอ้างอิงถึงเจ้าของเอกสารทุกครั้งที่มาไปใช้

กับข่าวสารที่ส่งมาโดยตัวรีเจนเนอเรเตอร์ (Regenerater:Reg) สำหรับรูปที่ 2.3 นั้นจะทำการมอดูเลชันที่ความถี่ไมโครเวฟเลย ไม่ต้องใช้ความถี่ IF

สำหรับความสัมพันธ์ระหว่างอัตราผิดพลาดของบิตข้อมูล (Bit Error Rate : BER) กับ C/N (Carrier to Noise ratio) ของระบบดิจิทัลไมโครเวฟที่ใช้การมอดูเลชันแบบ PSK ๒ เฟส, 4 เฟส, 8 เฟส และ 16 เฟส จะเป็นดังรูปที่ 2.4



เอกสารนี้เป็นเอกสารที่สงวนไว้สำหรับการใช้งานเพื่อการศึกษาเท่านั้น ไม่อนุญาตให้นำไปใช้ประโยชน์ด้านการค้า  
ไม่ว่ากรณีใดๆที่รูปที่ 2.4 นี้ แสดงความสัมพันธ์ระหว่างอัตราผิดพลาดของบิตข้อมูลกับ C/N

## 2.2 วิธีการทางสถิติในการวิเคราะห์ระบบการส่งสัญญาณดิจิทัล

ในระบบการส่งสัญญาณนั้นไม่ว่าจะเป็นแบบอนาล็อกหรือดิจิทัล สัญญาณจะถูกรบกวนจากคลื่นที่ไม่ต้องการ คลื่นเหล่านี้อาจเกิดขึ้นจากฟรอนท์-เอนด์ (Front-End) ของภาคขยายคลื่นไมโครเวฟทางด้านเครื่องรับ ในการออกแบบให้การส่งมีประสิทธิภาพ การเข้าใจคิดและเทคนิคการมีอดดูเลชันนั้น ต้องคำนึงถึงผลกระทบของคลื่นรบกวนด้วย ทางด้านเครื่องรับของระบบดิจิทัลไมโครเวฟนั้นมีสัญญาณเข้ามาคือสัญญาณของระบบ สัญญาณจากฟรอนท์-เอนด์ และสัญญาณรบกวนจากแชนแนล (Channel) ข้างเคียง สัญญาณรวมแบบนี้ตามปกติแล้วจะเกิดขึ้นแบบสุ่ม (RANDOM) ดังนั้นในการหาคุณภาพของระบบจึงต้องนำความน่าจะเป็นมาใช้ด้วย รูปแบบของระบบดิจิทัลเรดิโอ เช่น กำลังของเครื่องส่ง, การกระจายของสเปกตรัม และ นอยซ์-ฟิกเกอร์ (Noise Figure) ของเครื่องรับจะถูกกำหนดโดย ความน่าจะเป็นของความผิดพลาด (Probability of Error :  $P(e)$ ) และ ระบบจะใช้ได้ดีเมื่อ  $P(e)$  จะต้องมิต่ำน้อยกว่าที่คาดการณ์ไว้

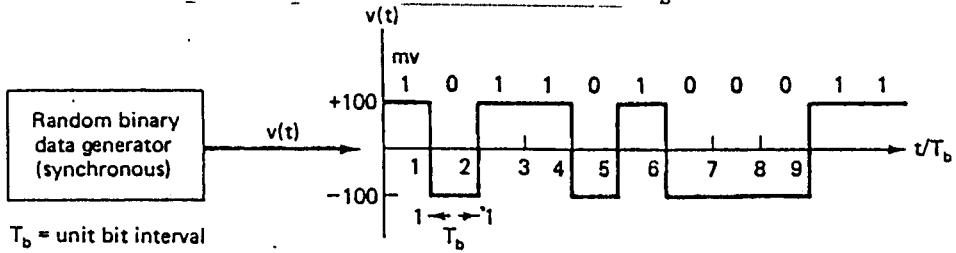
ในระบบการติดต่อแบบดิจิทัลนั้น แนวความคิดและเทคนิคพื้นฐานที่ใช้ในฟรีควเอนซีโดเมน (Frequency Domain) และไทม์โดเมน (Time Domain) นั้นไม่ค่อยมีบทบาทมากนัก แต่จะใช้พริอบบาสิตีโดเมน (Probability Domain) ซึ่งมีความสำคัญในระบบนี้

### 2.2.1 พริอบบาสิตีเด็นสิตีฟังก์ชัน (Probability Density Function : pdf) และ ความมูลเชิงพริอบบาสิตีคัสตรีบิวชันฟังก์ชัน (Cumulative Probability Distribution Function : CPDF)

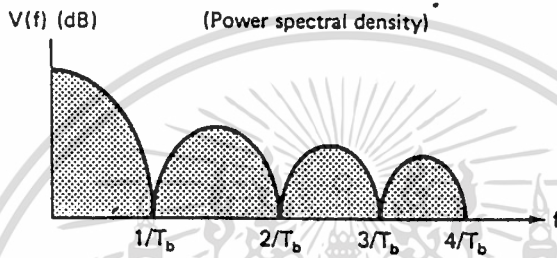
คุณสมบัติทางสถิติที่สำคัญที่สุดอย่างหนึ่งของตัวแปรสุ่ม เช่น แรนด้อมโวลเตจ (Random Voltage) คือ มีลักษณะการแปรผันที่มีค่าเฉพาะ หรืออยู่ในช่วงที่เจาะจง แนวความคิดและคำจำกัดความของ pdf และ CPDF นั้น จำเป็นสำหรับการทำความเข้าใจในระบบการส่งสัญญาณดิจิทัล

ในรูปที่ 2.5 (a) แสดงถึง สัญญาณเอ้าท์พุทของตัวกำเนิดสัญญาณไบนารี แบบสุ่ม ในไทม์-โดเมน สัญญาณนี้มี 2 สถานะที่ไม่ต่อเนื่องกันคือ  $v(t) = +100$  mV และ  $v(t) = -100$  mV ค่าแรงดันนี้แทนด้วยลอจิก "1" และ "0" ตามลำดับ รูปที่ 2.5 (b) แสดงพาวเวอร์สเปกตรอลเด็นสิตี (Power Spectral Density) ของสัญญาณในฟรีควเอนซีโดเมน ในระบบการส่งข้อมูลแบบซิงโครนัส (Synchronous) ช่วงกว้างของพัลส์ (บิต) จึงเท่ากับกบาสัญคาที่การนำไปใช้

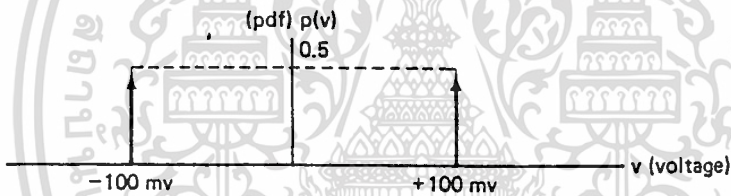
เปลี่ยนแปลงสามารถเกิดขึ้น ณ เวลาที่เป็นจำนวนเท่าของ  $T_b$  วินาทีเท่านั้น



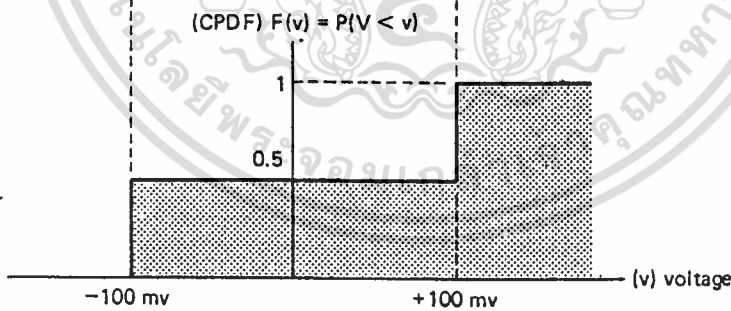
(a) Time domain representation



(b) Frequency domain representation



(c) Probability density function (pdf) of the random binary generator



(d) Cumulative probability distribution function (CPDF) of the random binary generator

รูปที่ 2.5 แสดง pdf และ CPDF

ระบบที่ใช้งานกันส่วนมาก แผลงกำเนิดจะเป็นแบบสุ่ม ดังนั้นความน่าจะเป็นของการเกิดสถานะ  $+100$  mV เท่ากับ ความน่าจะเป็นของการเกิดสถานะ  $-100$  mV ในทางคณิตศาสตร์จะเขียนได้เป็น  $p\{v(t) = -100 \text{ mV}\} = p\{v(t) = +100 \text{ mV}\} = 0.5$

หรือ  $p(L=0) = p(L=1) = 0.5$   
 เอกสารนี้เป็นเอกสารที่สงวนไว้สำหรับใช้ภายในเพื่อการศึกษาเท่านั้น ไม่อนุญาตให้นำไปใช้ประโยชน์ด้านการค้า  
 ค่า pdf แสดงในรูป 2.5 (c) ขนาดของ pdf จะเป็น 0 สำหรับทุกค่าตัวแปรสุ่ม  $v$  ยกเว้นที่ใช้

$$v = \pm 100 \text{ mV}$$

ความน่าจะเป็นที่ค่าของสัญญาณหรืออินพุตมีค่าน้อยกว่าค่าที่กำหนดไว้ เรียกว่า CPDF และแสดงไว้ในรูป 2.5 (d) สำหรับตัวอย่างนี้ CPDF แสดงถึงความน่าจะเป็นที่สัญญาณ  $v(t)$  มีค่า  $V < x$  ซึ่ง  $x$  มีค่าที่แน่นอน ในตัวอย่างนี้ไม่มีระดับที่ต่ำกว่า  $-100 \text{ mV}$  ดังนั้นค่าของ CPDF ที่  $V$  น้อยกว่า  $-100 \text{ mV}$  จึงมีค่าเป็น 0 นั่นคือ  $F(v) = P(V < v) = P(V < -100 \text{ mV}) = 0$  ความน่าจะเป็นที่  $v(t) < 100 \text{ mV} = 0.5$  ขณะที่ความน่าจะเป็นที่  $v(t) < 100 \text{ mV} = 1$

CPDF,  $P(V \leq v)$  และ pdf,  $p(v)$ , นั้นมีความสัมพันธ์กัน (สำหรับตัวแปรสุ่มแบบต่อเนื่อง) ดังสมการ (2.1) และ (2.2)

$$\text{CPDF} : F(v) \triangleq P(V < v) = \int_{-\infty}^v p_v(v) dv \quad (2.1)$$

$$\text{pdf} : p(v) = d P_v(v) / dv \quad (2.2)$$

ดิฟเฟอเรนเชียลฟังก์ชัน มีคุณสมบัติดังนี้

$$0 \leq F(v) \leq 1 \quad (2.3)$$

$$P(v < -\infty) = F(-\infty) = 0, \quad P(v < +\infty) = F(+\infty) = 1 \quad (2.4)$$

$$P(V \leq v_1) \leq P(V \leq v_2) \quad \text{ถ้า } v_1 < v_2 \quad (2.5)$$

แนวทางการจัดอุปกรณ์เพื่อวัด CPDF และ pdf แสดงในรูป 2.6 อุปกรณ์ชุดนี้สามารถใช้ได้กับการวัดคลื่นรบกวนแบบต่อเนื่อง และยังสามารถใช้ได้กับการวัดสัญญาณสุ่มแบบไม่ต่อเนื่องหรือทั้งสองอย่างรวมกัน เอาท์พุทของเรสโวลต์คอมพาราเตอร์ (Threshold Comparator) จะมีค่าแรงดันเป็นบวก (เช่น  $+3V$ ) เมื่อระดับอินพุตมีค่าสูงกว่าระดับเรสโวลต์  $v_{th}$  นอกนั้นมันจะให้เอาท์พุทเป็น 0 ไปยังวงจรมัลติฟลิป-ฟล็อป (Flip-Flop) ซึ่งทำหน้าที่เป็นแซมเปิลแอนด์โฮลด์ฟังก์ชัน (Sample and Hold Function) สำหรับสัญญาณ  $v_{out}$  ถ้ามีการสุ่มมากครั้งทำให้ได้ค่าอัตราส่วนของจำนวนการสุ่มที่ให้ค่าเป็นบวก กับจำนวนการสุ่มทั้งหมดใกล้เคียงกับค่าที่แท้จริงของความน่าจะเป็นที่  $v_{in} > v_{th}$  ซึ่งสามารถเขียนได้เป็น

$$P(V_{in} > v_{th}) = 1 - F(v) \quad (2.6)$$

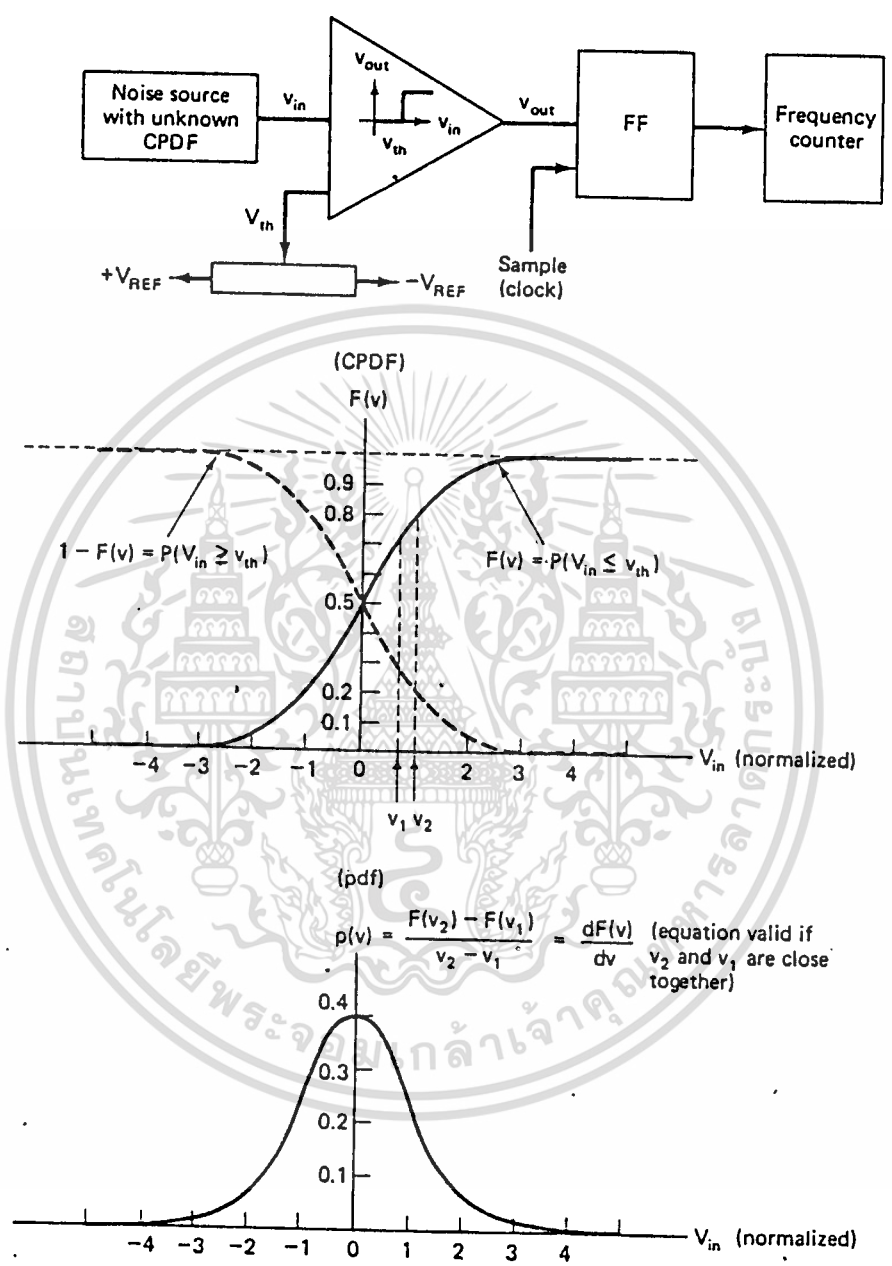
$$\text{ซึ่ง} \quad F(v) \triangleq P(v_{in} < v_{th}) \quad (2.7)$$

ด้วยการกำหนดระดับของ  $v_{th}$  ที่ระดับต่างๆกัน ดังนั้นจุดต่างๆของเส้นโค้ง  $1-F(v)$  ก็สามารรถที่จะหามาได้ เส้นโค้ง  $F(v)$  ที่ได้จากการประมาณค่าอย่างละเอียด คือเส้นทึบในรูป และความแตกต่างระหว่างจุดต่อจุดของ CPDF ก็คือ pdf

เอกสารนี้เป็นเอกสารที่สงวนลิขสิทธิ์สำหรับการใช้งานเพื่อการศึกษเท่านั้น ไม่อนุญาตให้นำไปใช้ประโยชน์ด้านการค้า  
ไม่ว่ากรณีใดๆก็ตาม หากมีข้อผิดพลาดประการใดขออภัยเป็นอย่างสูง



หรือ noisy ได้ ตัวอย่างเช่น ในรูปที่ 2.5 และ CPDF อันเดียวกันนี้สามารถใช้อธิบายได้ทั้ง



รูปที่ 2.6 แสดง pdf และ CPDF ของตัวกำเนิดสัญญาณแบบต่อเนื่อง

การส่งข้อมูลไบนารีแบบสุ่มที่ส่งด้วยความเร็ว  $1000 \text{ b/s}$  ( $T_b = 1 \text{ ms}$ ) หรือที่ความเร็ว  $300 \text{ Mb/s}$  ( $T_b = 3.33 \text{ ns}$ ) ข้อสังเกตอันหนึ่งใช้ได้กับตัวกำเนิดสัญญาณแบบต่อเนื่อง (Continuous noise generator) ดังแสดงในรูป 2.6 พร้อมบานลิ้นตีฟังก์ชันจะแสดงรายละเอียดเกี่ยวกับลักษณะและคล้ายคลึงกันของเหตุการณ์การเกิดความผิดพลาดแต่ไม่ไปถึงความถี่ของเหตุการณ์นั้น ในการไปใช้

ระบบดิจิทัลไมโครเวฟ คุณลักษณะของระบบในขั้นสุดท้ายมักกล่าวในเทอมของค่าเฉลี่ยความน่าจะเป็นของความผิดพลาด (average probability of error),  $P(e)$  หรือ อัตราผิดพลาดของบิตข้อมูลเฉลี่ย (Average Bit Error Rate : BER)  $P(e)$  เป็นการวัดคุณสมบัติโดยเฉลี่ยแต่ไม่ได้ให้รายละเอียดถึงความถี่ของเหตุการณ์ที่เกิดผิดพลาด ตัวอย่างเช่น ระบบการส่งที่มีค่าเฉลี่ย  $P(e)$  เป็น  $10^{-6}$  อาจจะมีช่วงที่เกิดผิดพลาดในทุกๆ ชั่วโมง หรืออาจจะมีเพียงช่วงเดียวตลอด 24 ชั่วโมง

### 2.2.2 พารามิเตอร์หลักของนรีอบบามีลิตีฟังก์ชัน

เทอมของตัวแปรสุ่ม อธิบายความสัมพันธ์ได้โดยจำนวนที่กำหนดขึ้นจากผลที่เป็นไปได้จากการทดลองแต่ละครั้ง เทอมสำคัญที่สุดที่จะอธิบายลักษณะของตัวแปรสุ่มคือ ค่าเฉลี่ยเลขคณิต (mean value or expected value), ค่ากลาง (Median), ความแปรปรวน (Variance) และส่วนเบี่ยงเบนมาตรฐาน (Standard Deviation)

ค่าเฉลี่ยเลขคณิตที่ได้จากการทดลองของตัวแปรสุ่มแบบไม่ต่อเนื่อง  $V$  คือ

$$E(V) = \bar{V} \approx \left( \sum_{i=1}^n v_i \right) / n \quad (2.8)$$

เมื่อ  $n$  เป็นจำนวนครั้งของการทดลอง

$v_i$  เป็นค่าเฉลี่ยตัวแปรสุ่ม  $V$  สำหรับการทดลองครั้งที่  $i$

ค่าเฉลี่ยเลขคณิตยังสามารถหาได้จาก

$$E(V) = \bar{V} = \int_{-\infty}^{\infty} v_i P(V = v_i) \quad (2.9)$$

เมื่อ  $v_i$  เป็นค่าแบบไม่ต่อเนื่อง ซึ่งตัวแปรสุ่ม  $V$  สามารถกำหนดขึ้นได้

สำหรับสัญญาณแบบต่อเนื่อง ค่าเฉลี่ยเลขคณิตกำหนดได้โดย

$$m = E(v) = \bar{v} = \int_{-\infty}^{\infty} vp(v) dv \quad (2.10)$$

ในสมการนี้  $E(v)$  เป็นค่าเฉลี่ยเลขคณิต และ  $p(v)$  เป็น pdf ของตัวแปรสุ่ม  $V$  ถ้าจำนวนครั้งของการสุ่มมีค่ามาก ถูกกำหนดให้มีขึ้นในระบบที่ไม่แปรตามเวลา (Time Invariant) แล้วจะทำให้ลิมิตของค่าเฉลี่ยที่วัดได้เป็นค่าเฉลี่ยเลขคณิต ค่าเฉลี่ยโดยทั่วไปแล้วจะวัดได้โดยใช้ DC โวลท์มิเตอร์ ในทางกายภาพ  $[E(V^2)]$  หรือ  $\bar{V}^2$  จะเป็นค่าแอมพลิจูดกำลัง (Normalized power) วัดที่โหลด 1 โอห์ม

ค่าเฉลี่ยเลขคณิตของฟังก์ชันใดๆ  $g(v)$  คือ

$$E[g(V)] = \int_{-\infty}^{\infty} g(v) p(v) dv \quad (2.11)$$

ค่ากลางของตัวแปรสุ่มหาได้ ณ จุดที่ CPDF :  $F(v) = 0.5$

ค่ากำลังสองเฉลี่ย (mean square) สามารถอธิบายได้จาก (2.11) ถ้าให้  $g(v) = v^2$

จะได้ 
$$E(v^2) = \int_{-\infty}^{\infty} v^2 p(v) dv = \bar{v}^2 \quad (2.12)$$

ถ้าให้  $v$  คือ โวลเตจของนอยซ์หรือสัญญาณสุ่ม (noise or random signal) ที่ตกคร่อมความต้านทาน  $R$  โอห์ม แล้วค่าพาวเวอร์เฉลี่ยที่กระจายไปในความต้านทานนี้เท่ากับ  $E(v^2)/R$  ค่าพาวเวอร์นี้ประกอบด้วย AC และ DC ในการใช้งานถ้าความต้านทานของโหลดเป็นค่าออร์มอลโลซ์  $R = 1$  โอห์มแล้ว  $E(v^2)$  จะเป็นค่าพาวเวอร์เฉลี่ยในโหลดนี้

ค่าความแปรปรวนกำหนดโดย

$$\begin{aligned} \sigma^2 &= \int_{-\infty}^{\infty} (v-\bar{v})^2 p(v) dv \\ &= \int_{-\infty}^{\infty} v^2 p(v) dv - 2\bar{v} \int_{-\infty}^{\infty} v p(v) dv + \bar{v}^2 \int_{-\infty}^{\infty} p(v) dv \\ &= \bar{v}^2 - 2\bar{v}^2 + \bar{v}^2 \end{aligned} \quad (2.13)$$

เพราะว่า  $\int_{-\infty}^{\infty} p(v) dv = 1$  เพราะนอร์มอลไลซ์ทั้งหมด = 1 ดังนั้นจะได้

ความแปรปรวน จะแทนกำลังของเอชี่ที่กระจายใน 1 โอห์มออร์มอลโลซ์โหลด ซึ่งเท่ากับผลต่างระหว่างค่ากำลังสองเฉลี่ย กับค่าแรงดันเฉลี่ยยกกำลังสอง (square of the mean voltage) รากที่สองของความแปรปรวนคือค่า rms ของคลื่น AC ถูกกำหนดโดย

$$\sigma = \sqrt{\bar{v}^2 - \bar{v}^2} \quad (2.14)$$

เมื่อทำการวัดแรงแบบสุ่มหรือสัญญาณแบบสุ่ม จะต้องทำการวัดในรูปของ rms โวลเตจ เพื่อหลีกเลี่ยงข้อผิดพลาดจากการวัดจึงควรใช้เครื่องมือวัดที่มีความเที่ยงตรง

### 2.2.3 pdf และ CPDF ที่นิยมใช้

1. เกาส์เซียน (นอร์มอล) นอยซ์ดิสทริบิวชัน ( Gaussian (normal) Noise Distribution )

เกาส์เซียน pdf เป็นฟังก์ชันที่ใช้กันมากสำหรับการบอกถึงลักษณะของนอยซ์ และแหล่งกำเนิดสัญญาณแบบสุ่ม pdf นี้จะแทนแหล่งกำเนิดนอยซ์ของตัวสร้างเทอร์มอลนอยซ์ต่าง ๆ ที่มีความเที่ยงตรงพอ ๆ กับฟรอนท์-เอ็นนอยซ์ของเครื่องรับวิทยุ

เอกสารนี้เป็นเอกสารเกาส์เซียน pdf เขียนได้ในรูป 
$$p(v) = \frac{1}{\sigma\sqrt{2\pi}} e^{-\frac{(v-m)^2}{2\sigma^2}} \quad (2.15)$$
 ไม่ว่ากรณีใดๆ ทั้งสิ้น  $p(v)$  ทั้งหมด = ให้ตัด 1 แปลงเป็น  $e^{-\frac{(v-m)^2}{2\sigma^2}}$  อ้างอิงถึงเจ้าของเอกสารทุกครั้งที่มีการนำไปใช้

ซึ่ง  $v$  เป็นค่าตัวแปรสุ่มที่เราเลือก องค์ประกอบทาง DC ( $m$ ) และค่า rms ที่ถูกกำหนดไว้แล้ว ในสมการ (2.10) และ (2.14) จะได้ค่าของ CPDF เป็น

$$F(v) \triangleq P(V \leq v) = \frac{1}{\sigma \sqrt{2\pi}} \int_{-\infty}^{\infty} e^{-(u-m)^2/2\sigma^2} \quad (2.16)$$

ถ้าค่าเฉลี่ยของแหล่งกำเนิดนอยซ์เป็น 0 ( $m=0$ ) แล้ว pdf และ CPDF ของเกาส์เซียนนอยซ์ จะเป็น

$$p(v) = \frac{1}{\sigma \sqrt{2\pi}} e^{-v^2/2\sigma^2} \quad (2.17)$$

$$F(v) = P(V \leq v) = \frac{1}{\sigma \sqrt{2\pi}} \int_{-\infty}^{\infty} e^{-u^2/2\sigma^2} du \quad (2.18)$$

ถ้าให้แหล่งกำเนิดเกาส์เซียนนอยซ์ไม่มีองค์ประกอบทาง DC ( $m=0$ ) และมีค่า  $1 V_{rms}$  ( $\sigma = 1 V_{rms}$ ) นอร์มอลไลซ์ pdf นี้รู้จักกันในชื่อเกาส์เซียนเด้นลิตตีฟังก์ชันแบบมาตรฐาน ซึ่งเขียนได้ดังนี้

$$p(v) = \frac{1}{\sqrt{2\pi}} e^{-v^2/2} \quad (m=0, \sigma=1) \quad (2.19)$$

CPDF ของ (2.19) ก็คือ

$$F(v) = P(V \leq v) = \frac{1}{\sqrt{2\pi}} \int_{-\infty}^v e^{-u^2/2} du \quad (2.20)$$

$u$  แทนตัวแปรสมมติของการอินทิเกรต รูปที่ 2.7 แสดง pdf และ CPDF ค่าของ pdf คำนวณได้โดยตรงจากสมการ (2.19)

สมการที่ (2.20) ไม่สามารถเขียนในเทอมของอีลีเมนต์ฟังก์ชันได้ ฟังก์ชันนี้สัมพันธ์กับเออเรอร์ฟังก์ชัน  $\text{erf}(v)$  คือ

$$\text{erf}(v) \triangleq \frac{2}{\sqrt{\pi}} \int_0^v e^{-u^2} du \quad (2.21)$$

คอมพลีเมนต์ารีเออเรอร์ฟังก์ชัน (Complementary Error Function :  $\text{erfc}(v)$ ) คือ

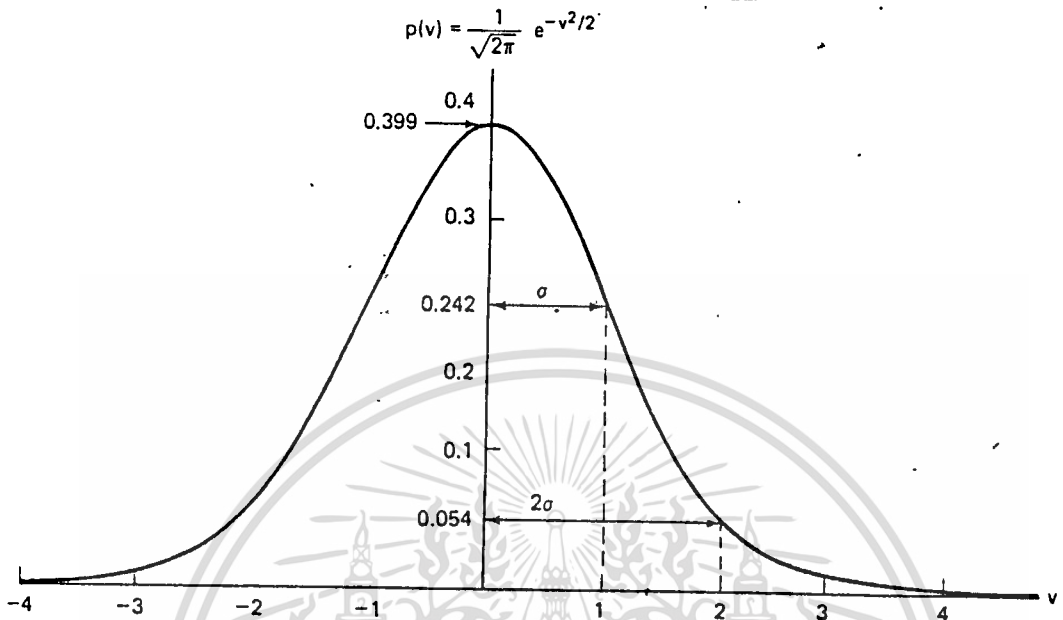
$$\text{erfc}(v) \triangleq 1 - \text{erf}(v) = \frac{2}{\sqrt{\pi}} \int_v^{\infty} e^{-u^2} du \quad (2.22)$$

ลักษณะสำคัญที่สุดของเกาส์เซียนนอยซ์คือ ถ้ามันผ่านลิเนียร์เน็ตเวิร์ค (Linear Network) แล้วเอาท์พุทก็ยังคงเป็นเกาส์เซียนอยู่ ในรูปที่ 2.8 เป็นการทดลองวัดผลของความสัมพันธ์ระหว่าง BPF ที่มีแบนด์กว้างและแคบ แบนด์วิดธ์ของนอยซ์เจเนเรเตอร์ประมาณ 200 kHz และของ BPF ประมาณ 20 kHz ลิเนียร์ BPF มีผลต่อนอยซ์พาวเวอร์สเปกตรอลเด้นลิตตี (Noise Power Spectral Density) และไทม์-โดเมนของนอยซ์เจเนเรเตอร์ แต่รูปร่างของ pdf ยังคงเหมือนเดิม

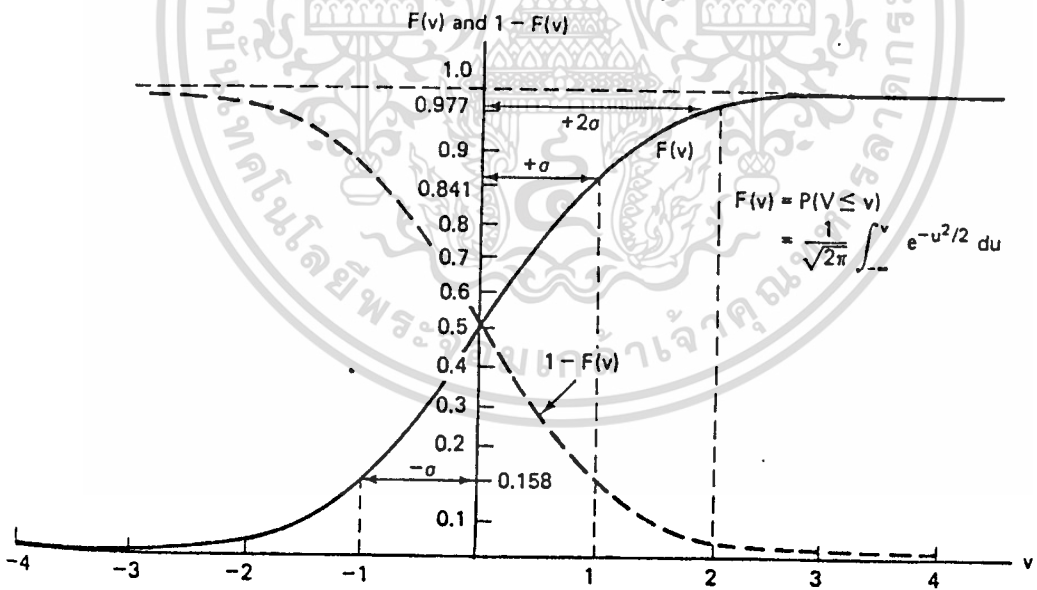
เอกสารนี้เป็นเอกสารสงวนไว้สำหรับการใช้งานเพื่อการศึกษาเท่านั้น ไม่อนุญาตให้นำไปใช้ประโยชน์ด้านการค้า

ไม่ว่าเราจะรู้หรือบอปปิลิตตีเด้นลิตตีฟังก์ชัน (Rayleigh Probability Density Function)

การกระจายของสัญญาณคลื่นวิทยุผ่านตัวกลาง สามารถอธิบายได้โดยเรย์ลีหรือแบบบีลิตี



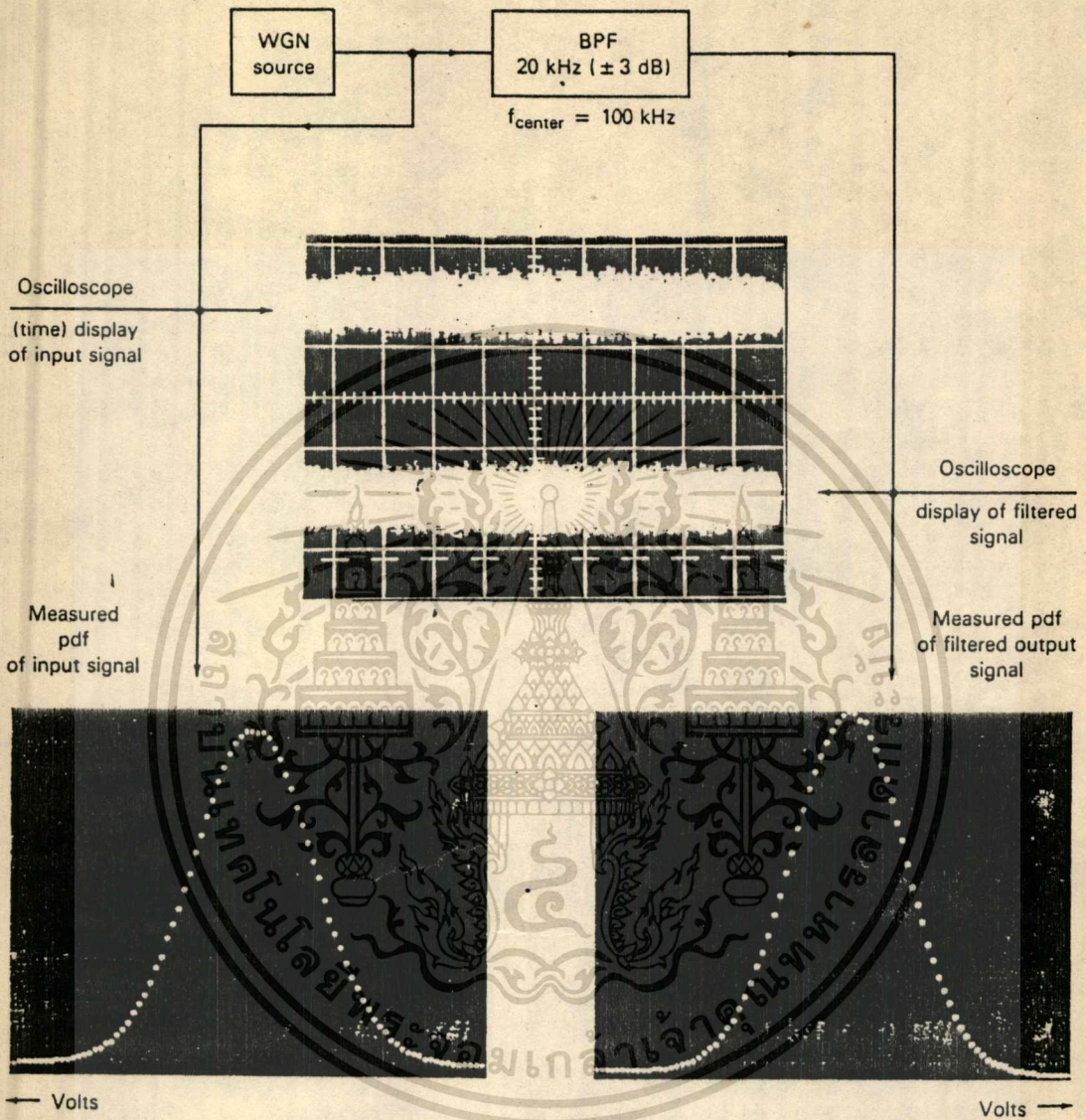
(a) Unit normal (gaussian) pdf



(b) Unit normal cumulative distribution function

รูปที่ 2.7 แสดง pdf และ CPDF แบบเกาส์เซียน

ฟังก์ชัน ถ้าคลื่นวิทยุวิ่งไปในตัวกลางและเกิดการกระจายจากการสะท้อนบางสิ่ง หรือการเปลี่ยนแปลงของชั้นบรรยากาศ เมื่อส่งสัญญาณที่มีขนาดคงที่ก็จะถูกเปลี่ยนเป็นอีกค่าหนึ่งแบบสุ่ม ค่าสุ่มเหล่านี้ปรากฏที่เครื่องรับในลักษณะการคูณกับคลื่นวิทยุ และเรียกลักษณะนี้ว่า ฟังก์ชันคูณเสียงรบกวน (Multiplicative Noise) ให้ pdf ของมันจะได้ตั้งสมการ (2.23) เอกสารทุกครั้งที่มีการนำไปใช้



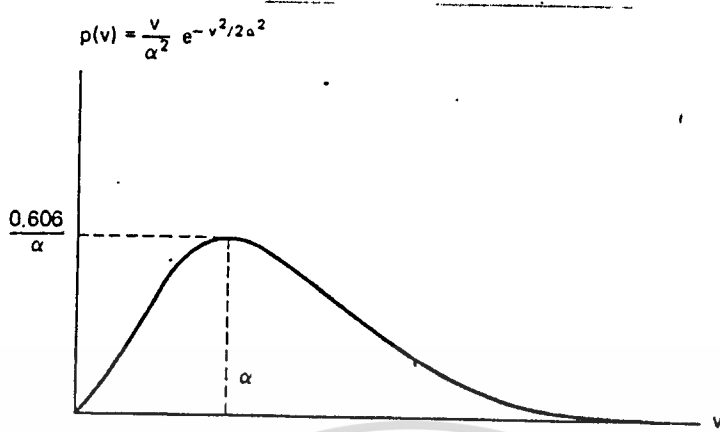
รูปที่ 2.8 แสดง อินพุตที่เป็นเกาส์เซียนและเอาต์พุตจาก BPF ซึ่งเป็นเกาส์เซียนเช่นกัน

$$p(v) = \begin{cases} \frac{1}{\sigma\sqrt{2\pi}} e^{-v^2/2\sigma^2} & ; (0 \leq v < \infty) \\ 0 & ; (v < 0) \end{cases} \quad (2.23)$$

และ CPDF เป็น

$$F(v) = P(V \leq v) = \begin{cases} 1 - e^{-v^2/2\sigma^2} & ; (0 \leq v < \infty) \\ 0 & ; (v < 0) \end{cases} \quad (2.24)$$

เอกสารนี้เป็นลิขสิทธิ์ของสถาบันเทคโนโลยีพระจอมเกล้าเจ้าคุณทหารลาดกระบัง ไม่สามารถนำออกจำหน่ายหรือเผยแพร่โดยไม่ได้รับอนุญาตให้นำไปใช้ประโยชน์ด้านการค้า ไม่ว่ากรณีใดๆทั้งสิ้น อีกทั้งห้ามมิให้ดัดแปลงเนื้อหา และต้องอ้างอิงถึงเจ้าของเอกสารทุกครั้งที่มีการนำไปใช้



รูปที่ 2.9 ค่าของฟังก์ชันในลิเนียร์สเกล

### 2.2.4 ออโตคอร์รีเลชันและพาวเวอร์สเปกตรอลเด้นส์ตีฟังก์ชัน (Autocorrelation and Power Spectral Density Function)

เราได้พบจุดร่วมกันของ CPDF และ ออโตคอร์รีเลชันฟังก์ชัน, ความสัมพันธ์เวียนเนร์-ชินซิน (Wiener-Khinchine Relation) และการหาพาวเวอร์สเปกตรัมของข้อมูลสุ่ม ความสัมพันธ์อันนี้ เป็นสิ่งสำคัญพื้นฐานในการวิเคราะห์สัญญาณข้อมูลสุ่ม เพราะว่าเป็นความสัมพันธ์ระหว่างไทม์-โดเมนของสัญญาณ (ออโตคอร์รีเลชันฟังก์ชัน) กับเฟรควเ้นซี-โดเมน (สเปกตรอลเด้นส์ตี)

ถ้า  $x$  และ  $y$  แทนตัวแปรสุ่ม 2 ตัว ดังนั้นจุดร่วมกันของ CPDF คือ

$$F(x, y) = P(X \leq x, Y \leq y) = \int_{-\infty}^x \int_{-\infty}^y p(u, v) \, dv \, du \quad (2.25)$$

ซึ่ง  $P(u, v)$  เป็นจุดร่วมของ pdf

ออโตคอร์รีเลชัน เขียนได้คือ

$$R_e(t_1, t_2) = E(X_1, X_2) = \int_{-\infty}^{\infty} \int_{-\infty}^{\infty} x_1 x_2 p(x_1, x_2) \, dx_1 \, dx_2 \quad (2.26)$$

เมื่อ  $x(t)$  เป็นแชนเนลฟังก์ชันจากกระบวนการสุ่ม

$$X_1 = X(t_1) \quad \text{และ} \quad X_2 = X(t_2) \quad \text{เป็นตัวแปรสุ่ม}$$

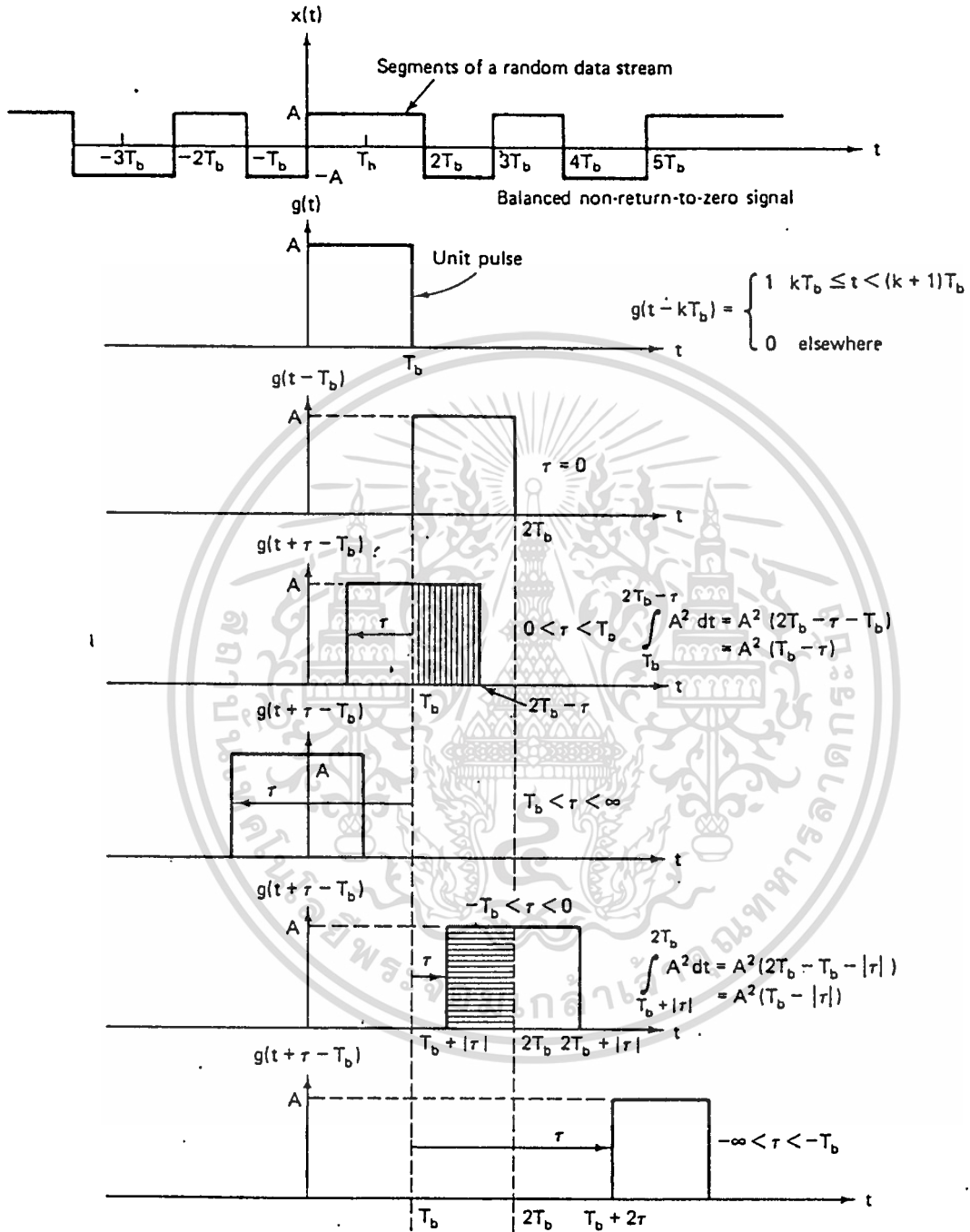
ไทม์ออโตคอร์รีเลชันฟังก์ชัน เขียนได้เป็น

$$R(\tau) = \lim_{T \rightarrow \infty} \frac{1}{2T} \int_{-T}^T x(t) x(t + \tau) \, dt \quad (2.27)$$

ซึ่งก็เหมือนกับในสมการ (2.26)

เอกสารนี้เป็นเอกสารที่สงวนไว้สำหรับใช้งานเพื่อการศึกษาเท่านั้น ไม่อนุญาตให้นำไปใช้ประโยชน์ด้านการค้า  
 พาวเวอร์สเปกตรอลเด้นส์ตี  $S_{xx}(\omega)$  ของกระบวนการสุ่มได้จากฟูเรียร์ทรานส์ฟอร์มของไปใช้

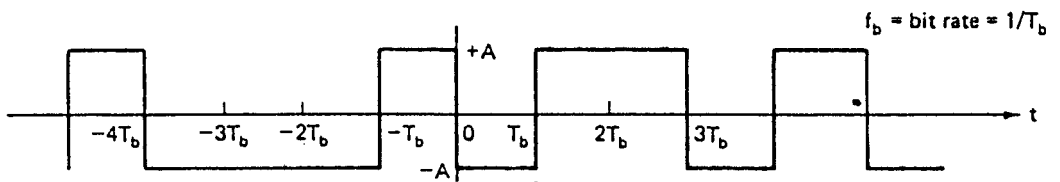
$$S_x(f) = A^2 T_b \left( \frac{\sin \pi T_b f}{\pi T_b f} \right)^2 \quad (2.39)$$



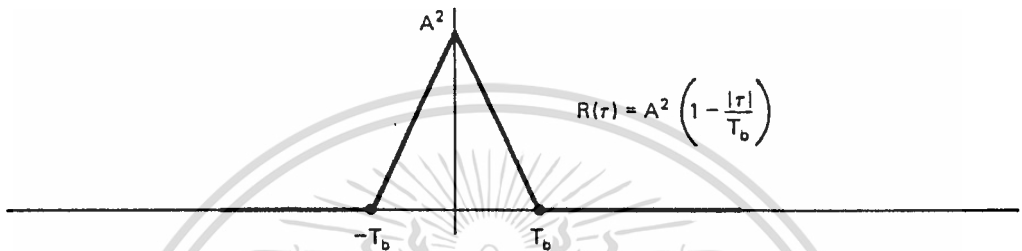
รูปที่ 2.10 พาวเวอร์สเปกตรอลเด้นลิตีของข้อมูลไบนารีแบบสุ่ม

รูป 2.11 แสดงถึงผลการคำนวณแอมพลิจูดสเปกตรัม และพาวเวอร์สเปกตรอลเด้นลิตีฟังก์ชันในแกนลิเนียร์

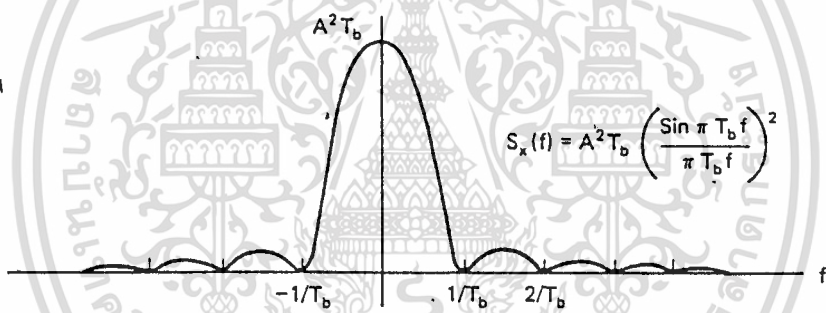
เอกสารนี้เป็นเอกสารที่สงวนไว้สำหรับการใช้งานเพื่อการศึกษาเท่านั้น ไม่อนุญาตให้นำไปใช้ประโยชน์ด้านการค้า ไม่ว่าจะกรณีใดๆทั้งสิ้น อีกทั้งห้ามมิให้ดัดแปลงเนื้อหา และต้องอ้างอิงถึงเจ้าของเอกสารทุกครั้งที่มีการนำไปใช้



(a) Balanced non-return to zero (NRZ) random-data pattern



(b) Autocorrelation function



(c) Power spectral density

รูปที่ 2.11 แสดงผลการคำนวณออโตคอร์รีเลชันและพาวเวอร์สเปกตรอลเด้นส์ตีฟังก์ชัน

เอกสารนี้เป็นเอกสารที่สงวนไว้สำหรับการใช้งานเพื่อการศึกษาเท่านั้น ไม่อนุญาตให้นำไปใช้ประโยชน์ด้านการค้า  
ไม่ว่ากรณีใดๆทั้งสิ้น อีกทั้งห้ามมิให้ดัดแปลงเนื้อหา และต้องอ้างอิงถึงเจ้าของเอกสารทุกครั้งที่มีการนำไปใช้.

### 2.3 ไบนารีเฟสชิฟต์คีย์อิง (BPSK)

สำหรับ BPSK เฟสของเข้าที่พุกที่เป็นไปได้มีอยู่ 2 เฟสสำหรับความถี่พาหะความถี่เดียว เฟสหนึ่งจะแทนลอจิก (LOGIC) "1" อีกเฟสหนึ่งแทนลอจิก "0" เมื่อสัญญาณดิจิทัลทางด้าน อินพุทเปลี่ยนไป เฟสของเข้าที่พุกของมอดดูเลเตอร์ก็จะเปลี่ยนไประหว่าง 2 เฟสซึ่งต่างเฟสกัน 180 องศา

วงจรมอดดูเลเตอร์สำหรับ BPSK เป็นบาลานซ์มอดดูเลเตอร์ (BALANCE MODULATOR) ซึ่งเป็นเสมือนสวิตช์คอยเปลี่ยนเฟสตามสถานะของดิจิทัลอินพุท (DIGITAL INPUT) รูป 2.12a เป็นวงจรบาลานซ์ริงมอดดูเลเตอร์ (BALANCED RING MODULATOR) ซึ่งมีอินพุท 2 ทาง คือ สำหรับสัญญาณพาหะ และสำหรับดิจิทัลอินพุท เพื่อให้บาลานซ์มอดดูเลเตอร์ทำงานได้อย่าง สมบูรณ์ แรงดันของดิจิทัลอินพุทต้องมากกว่าแรงดันสูงสุดของพาหะ (PEAK CARRIER VOLTAGE) ซึ่งจะทำให้ดิจิทัลอินพุทสามารถควบคุมการ ON/OFF ของไดโอด D1-D4 ได้อย่าง ถูกต้อง

ถ้าอินพุทมีลอจิกเป็น "1" (แรงดันเป็น+) ไดโอด D1 และ D2 จะถูกฟอร์เวิร์ดไบแอส (FORWARD BIAS) และอยู่ในสถานะ "ON" ในขณะที่ไดโอด D3 และ D4 ถูกรีเวิร์ดไบแอส (REVERSE BIAS) และอยู่ในสถานะ "OFF" (รูป 2.12b) แรงดันของพาหะที่หม้อแปลง (TRANSFORMER) T2 จะมีเฟสเดียวกัน (IN PHASE) กับแรงดันของพาหะที่หม้อแปลง T1 ดังนั้นสัญญาณที่เข้าที่พุกจึงมีเฟสเดียวกันกับสัญญาณจากตัวกำเนิดความถี่อ้างอิง

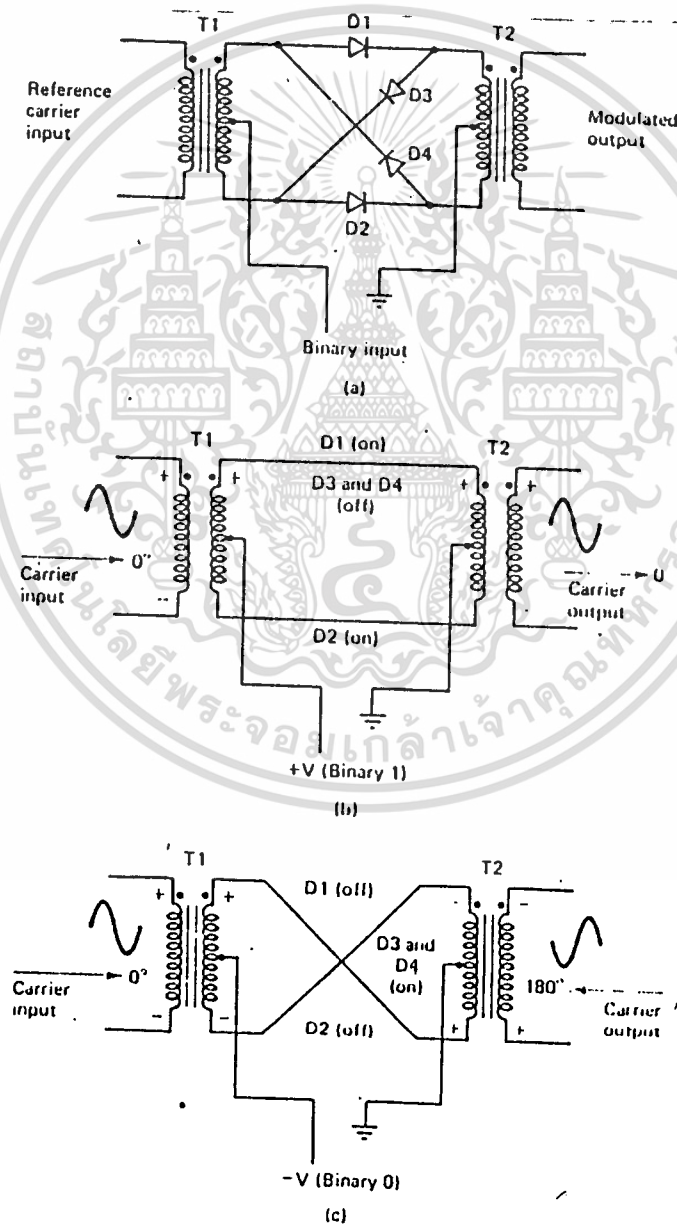
ถ้าลอจิกของอินพุทเป็น "0" (แรงดันเป็น-) ไดโอด D1 และ D2 จะถูกรีเวิร์ดไบแอส และอยู่ในสถานะ "OFF" ในขณะที่ D3 และ D4 ถูกฟอร์เวิร์ดไบแอส และอยู่ในสถานะ "ON" (รูป 2.12c) ผลก็คือแรงดันของพาหะที่หม้อแปลง T2 จะมีเฟสต่างจาก (OUT OF PHASE) แรงดันของพาหะที่หม้อแปลง T1 อยู่ 180 องศา ดังนั้นสัญญาณเข้าที่พุกจะมีเฟสต่างจากสัญญาณ จากตัวกำเนิดความถี่อ้างอิง 180 องศา

รูป 2.13 แสดงตารางความจริง (TRUTH TABLE) เฟสเซอร์ไดอะแกรม (PHASOR DIAGRAM) และคอนสเทลเลชันไดอะแกรม (CONSTELLATION DIAGRAM) ของ BPSK มอดดูเลเตอร์

#### แบบตัววิคซ์ของ BPSK มอดดูเลเตอร์

สำหรับ BPSK แล้ว อัตราการเปลี่ยนแปลงของเข้าที่พุก (BAUD) จะเท่ากับอัตราการ เปลี่ยนแปลงของอินพุท (B/S) ให้ค่าและแบบตัววิคซ์ของเข้าที่พุกที่กว้างที่สุดจะเกิดขึ้นเมื่ออินพุทเป็น

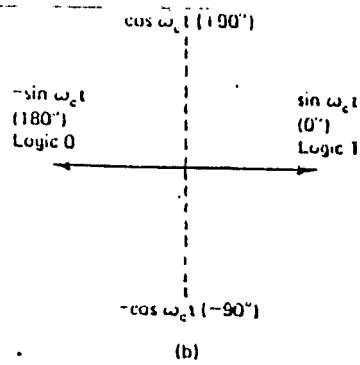
"1" และ "0" สลับกันไปดังรูปที่ 2.14 ความถี่พื้นฐาน (FUNDAMENTAL FREQUENCY) ของอินพุทแบบนี้จะเท่ากับครึ่งหนึ่งของความเร็ว (BIT RATE/2) ซึ่งจะได้เอาที่พหุสเปคตรัม (OUTPUT SPECTRUM) จาก BPSK มีอัตราส่วนเป็นสัญญาณที่มี 2 ไซด์แบนด์และกดพาหะ (DOUBLE-SIDE BAND SUPPRESSED CARRIER SIGNAL) ความถี่ด้านสูง (Upper Freq) และด้านต่ำ (Lower Freq) จะต่างจากความถี่ของพาหะด้วยค่าเท่ากับความถี่พื้นฐาน ดังนั้นแบนวิดท์ที่ต้องการต่ำสุดสำหรับ BPSK จะเท่ากับ ความเร็วของอินพุท



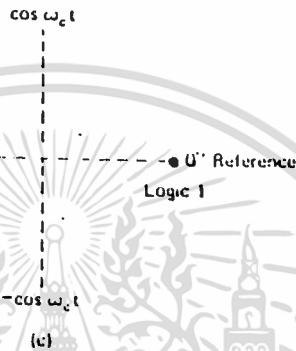
เอกสารนี้เป็นเอกสารรูปที่ 2.12 วงจรบัลลาสต์รีมอดูเลเตอร์และการทำงานนำไปใช้ประโยชน์ด้านการค้า  
ไม่ว่ากรณีใดๆทั้งสิ้น อีกทั้งห้ามมิให้ดัดแปลงเนื้อหา และต้องอ้างอิงถึงเจ้าของเอกสารทุกครั้งที่มีการนำไปใช้

Binary input	Output phase
Logic 0	180°
Logic 1	0°

(a)

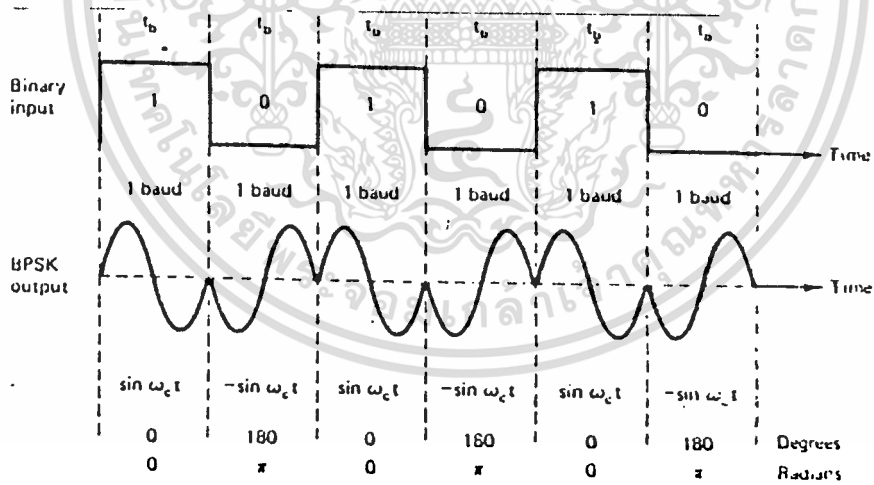


(b)



(c)

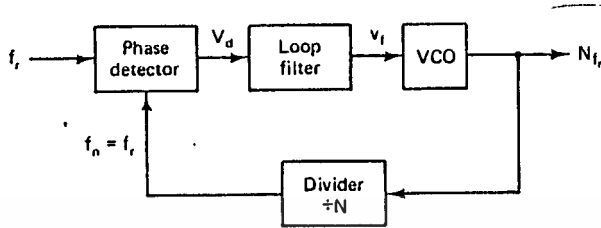
รูปที่ 2.13 ตารางความจริง เฟสเซอร์ โดยแกรมและคอนสเทลเลชัน โดยแกรมของ BPSK



รูปที่ 2.14 ความสัมพันธ์ระหว่างเข้าที่ทุกเฟสกับเวลา ของ BPSK มีอดดูเลเตอร์

เอกสารนี้เป็นเอกสารที่สงวนไว้สำหรับการใช้งานเพื่อการศึกษาเท่านั้น ไม่อนุญาตให้นำไปใช้ประโยชน์ด้านการค้า  
ไม่ว่ากรณีใดๆทั้งสิ้น อีกทั้งห้ามมิให้ดัดแปลงเนื้อหา และต้องอ้างอิงถึงเจ้าของเอกสารทุกครั้งที่มีการนำไปใช้

## 2.4 เฟสล็อกคูล (Phase-locked Loop)



รูปที่ 2.15 บล็อกไดอะแกรมของเฟสล็อกคูล

เฟสล็อกคูลมีความสำคัญมากในการออกแบบระบบสื่อสารทางด้านดิจิทัล การออกแบบเฟสล็อกคูลจะเป็นไปอย่างถูกต้องถ้าเราพิจารณาทุกองค์ประกอบของมัน โดยทั่วไปแล้วเฟสล็อกคูลจะมีหน้าที่หนึ่งในสามหน้าที่ ดังนี้

- ถ้า  $N=1$  PLL จะเป็นแทร็กกิ้งฟิลเตอร์ (tracking filter)
- ถ้า  $N>1$  PLL จะเป็นเฟริควเอนซีมัลติพลายเออร์ (frequency multiplier)
- ถ้า  $N$  เป็นค่าที่สามารถปรับได้ PLL จะทำหน้าที่เป็นเฟริควเอนซีซินธิไซเซอร์ (frequency synthesizer)

### คุณลักษณะของเฟสล็อกคูล (PLL Characteristics)

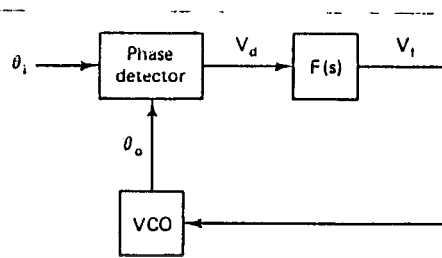
ลูปในเบื้องต้นจะประกอบด้วยเฟสดีเทคเตอร์ (Phase Detector: PD) , โลว์-พาสฟิลเตอร์ (Low-pass filter) และ VCO (Voltage Controlled Oscillator) ดังแสดงในรูปที่ 2.15 และ 2.16 อินพุตมีเฟสเป็น  $\theta_i(t)$  และเฟสของเอาต์พุตจาก VCO เป็น  $\theta_o(t)$  เอาต์พุตของเฟสดีเทคเตอร์สามารถอธิบายได้ดังสมการ

$$V_d = K_d \sin(\theta_i - \theta_o) \approx K_d (\theta_i - \theta_o) \quad (2.40)$$

เมื่อ  $K_d$  เป็นอัตราขยายของ PD มีหน่วยเป็น V/rad เฟสเออเรอร์โวลเตจ (Phase-error voltage :  $V_d$ ) จะถูกรองโดยลูปโลว์-พาสฟิลเตอร์ที่มีทรานสเฟอร์ฟังก์ชันในเฟริควเอนซี-โดเมนเป็น  $F(s)$  เอาต์พุตของฟิลเตอร์จะเป็นเออเรอร์โวลเตจ ( $V_e$ ) ไปควบคุมความถี่ของ VCO

เกิดการเปลี่ยนแปลงของความถี่จากค่ากลาง (center freq) จะอยู่ในรูป  $\Delta \omega$  นำไปใช้ประโยชน์ด้านการค้า ไม่ว่าจะกรณีใดๆทั้งสิ้น  $\Delta \omega$  ห้ามมิให้  $K_o V_e$  นี้อา และต้องอ้างอิงถึงเจ้าของเอกสารทุกครั้ง(2.41)ไปใช้

เมื่อ  $K_o$  เป็นค่าคงที่อัตราขยายของ VCO (VCO gain constant) หน่วยเป็น rad/s-V



รูปที่ 2.16 เบสิคเฟสล็อกคัลูป

ดังนั้น ความถี่จึงเป็นอัตราเวลาของการเปลี่ยนแปลงเฟส สมการ (2.41) อาจเขียนได้เป็น

$$\frac{d\theta_o}{dt} = K_o V_f \quad (2.42)$$

สมการ (2.42) สามารถเปลี่ยนไปยังฟรีควเอนซีโดเมนได้โดยใช้ลาปลาซทรานสฟอร์ม นั่นคือ

$$s \cdot \theta_o(s) = K_o V_f(s) \quad (2.43)$$

ดังนั้น

$$\theta_o(s) = \frac{K_o V_f(s)}{s} \quad (2.44)$$

สมการ (2.44) แสดงให้เห็นว่า เอาท์พุทเฟสของ VCO เป็นสัดส่วนของอินทิกรัลของฟิลเตอร์เกอเรอร์โวลเตจ ( $V_f$ ). เราอาจเขียนทรานสเฟอ์ฟังก์ชันของ PD และลูปฟิลเตอร์ได้เป็น

$$V_d(s) = K_d [\theta_i(s) - \theta_o(s)] \quad (2.45)$$

และ

$$V_f(s) = F(s) V_d(s) \quad (2.46)$$

รวมสมการ (2.44) ถึง (2.46) จะได้ผลลัพธ์เป็นสมการพื้นฐานของ PLL

$$A(s) = \frac{\theta_o(s)}{\theta_i(s)} = \frac{K_o K_d F(s)}{s + K_o K_d F(s)} \quad (2.47)$$

และ

$$\begin{aligned} \frac{\theta_e(s)}{\theta_i(s)} &= \frac{\theta_i(s) - \theta_o(s)}{\theta_i(s)} \\ &= \frac{s}{s + K_o K_d F(s)} \end{aligned} \quad (2.48)$$

เมื่อ

- $K_o K_d F(s)$  = พอร์เวอ์รด์ลูปเกน
- $K_o$  = ค่าคงที่อัตราขยายของ VCO (rad/s-V)
- $K_d$  = ค่าคงที่อัตราขยายของ PD (V/rad)
- $s$  = ลาปลาซโอเปอเรเตอร์
- $F(s)$  = ทรานสเฟอ์ฟังก์ชันของลูปฟิลเตอร์
- $A(s)$  = ทรานสเฟอ์ฟังก์ชันของลูป

เอกสารนี้เป็นเอกสารที่สงวนไว้สำหรับการใช้งานเพื่อการศึกษาเท่านั้น ไม่อนุญาตให้นำไปใช้ประโยชน์ด้านการค้า ไม่ว่ากรณีใดๆทั้งสิ้น อีกทั้งห้ามมิให้ดัดแปลงเนื้อหา และต้องอ้างอิงถึงเจ้าของเอกสารทุกครั้งที่มีการนำไปใช้

เชคคัน-อเดอร์ลูป (Second-Order Loops)

คุณลักษณะพื้นฐานของ PLL เช่น แคปเจอร์เรนจ์ (capture range), แคปเจอร์ไทม์ (capture time) แบนด์วิดท์ของลูป และการตอบสนองในช่วงทรานเซียนท์ (transient response) เหล่านี้ถูกควบคุมโดยลูปฟิลเตอร์ ฟิลเตอร์ที่นิยมใช้กัน 2 แบบ แสดงในรูปที่ 2.17



รูปที่ 2.17 วงจรลูปฟิลเตอร์ที่นิยมใช้กัน

ฟิลเตอร์ 2 แบบนี้เป็นแบบง่าย ๆ และมีคุณสมบัติเป็นที่น่าพอใจสำหรับจุดมุ่งหมายหลาย ๆ อย่าง แต่แอกทีฟฟิลเตอร์ (ดูรูปที่ 2.18) จะมีคุณสมบัติทางด้านแตร็กกิ้งดีกว่า ทรานสเฟอร์ฟังก์ชันของแอกทีฟฟิลเตอร์จะเป็น

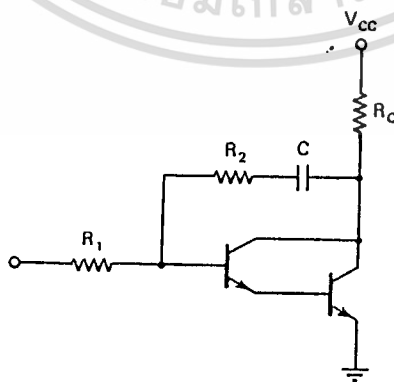
$$F(j\omega) = \frac{R_2 + 1/j\omega C}{R_1} = \frac{1 + j\omega R_2 C}{j\omega R_1 C} = \frac{1 + j\omega \tau_2}{j\omega \tau_1} \quad (2.50)$$

หรือ

$$F(s) = \frac{1 + \tau_2 s}{\tau_1 s} \quad (2.51)$$

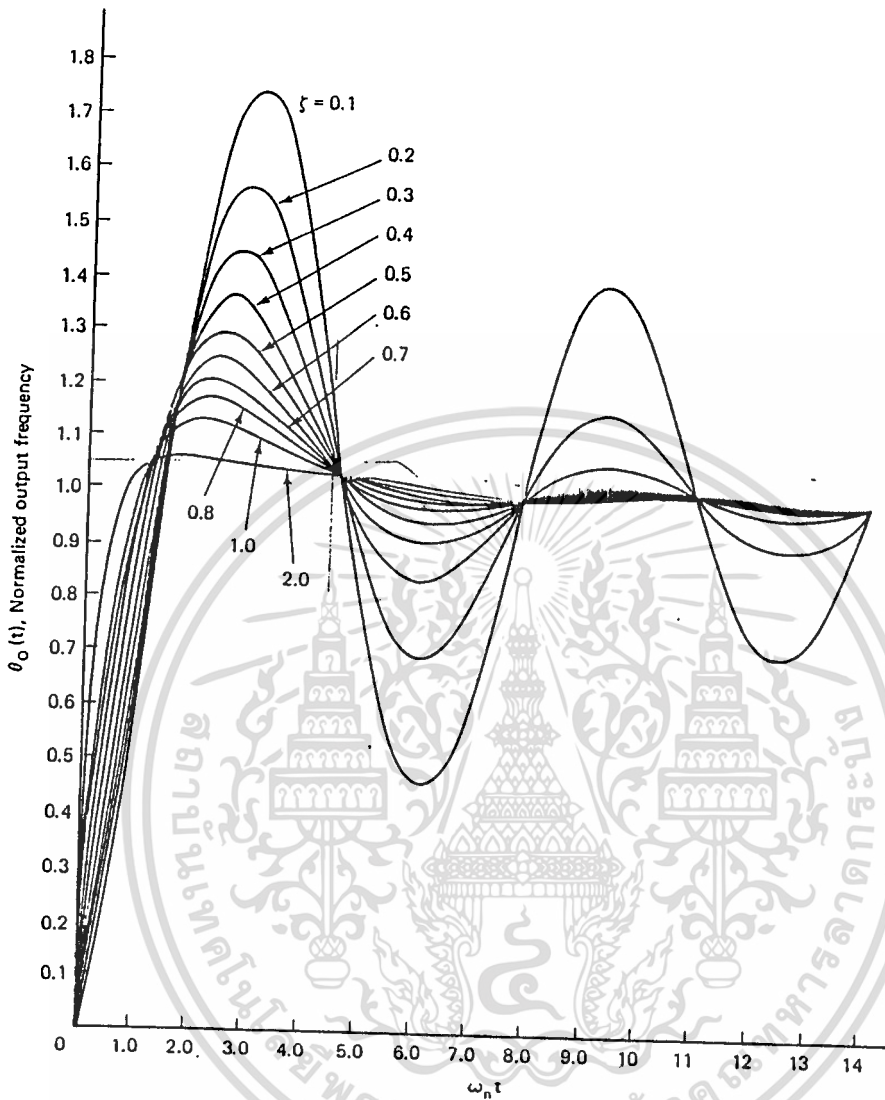
เมื่อ  $\tau_1 = R_1 C$  และ  $\tau_2 = R_2 C$ . แทนสมการ (2.51) ลงใน (2.47) จะได้

$$(2.52)$$



รูปที่ 2.18 แอกทีฟฟิลเตอร์

เอกสารนี้เป็นเอกสารที่สงวนไว้สำหรับการใช้งานเพื่อการศึกษาเท่านั้น ไม่อนุญาตให้นำไปใช้ประโยชน์ด้านการค้า เราสามารถหารายละเอียดที่มีประโยชน์จากสมการนี้ โดยการเปรียบเทียบกับฟอร์มมาตรฐานที่ใช้



รูปที่ 2.19 แสดงการตอบสนองในช่วงทรานเซียนท์

ของระบบเชคค้ำเออเดอร์ ดังนั้น

$$A(s) = \frac{1 + \tau_2 s}{1 + (2\delta/\omega_n)s + s^2/\omega_n^2} \quad (2.53)$$

ในสมการนี้  $\delta$  หมายถึง แดมปีงแฟคเตอร์ (damping factor) และ  $\omega_n$  หมายถึง ความถี่ธรรมชาติ ถ้าเปรียบเทียบสมการ (2.52) กับ (2.53) จะเห็นว่าจำนวนทั้งสองนี้สามารถเขียนได้เป็น

เอกสารนี้เป็นเอกสารที่ลงนามไว้สำหรับการเรียนการสอน การศึกษาเท่านั้น ไม่อนุญาตให้นำไปใช้ (2.54) การค้า และ วิจารณ์ใดๆทั้งสิ้น อีกทั้งห้ามมิให้ตัดแปลงเนื้อหา และต้องอ้างอิงถึงเจ้าของเอกสารทุกครั้งที่มีการนำไปใช้

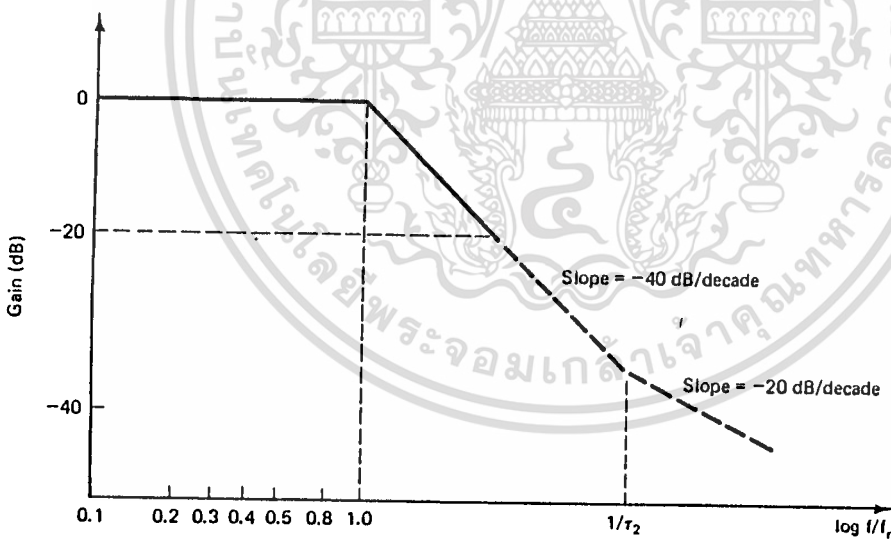
$$\delta = \sqrt{\frac{K_o K_d}{\tau_1}} \cdot \frac{\tau}{2} \quad (2.55)$$

จะเห็นว่าสำหรับฟอร์เวิร์ดลูปเกนที่ให้มา ( $K_o K_d$ ) แล้ว  $w_n$  จะเป็นตัวแปรอิสระ เนื่องจากค่าคงตัวเวลาของฟิลเตอร์ (filter time constant :  $\tau_1$ )

ทั้ง  $w_n$  และ  $\delta$  อาจจะถูกเลือกได้จากการตอบสนองในช่วงทรานเซียนท์ (รูป 2.19) การกำหนดค่าของทั้งสองตัวนี้อย่างถูกต้องก็จะสามารถออกแบบลูปฟิลเตอร์ได้ ค่าของตัวต้านทานสามารถคำนวณได้จากสมการ (2.54) และ (2.55)

### การตอบสนองทางความถี่ของ เซคคันด์-อเดอร์ลูป (Frequency response of a Second-order loop)

จากสมการ (2.53) กราฟการตอบสนองความถี่แบบโบด (Bode Frequency response plot) ของสมการนี้จะเป็นดังรูปที่ 2.20



รูปที่ 2.20 กราฟการตอบสนองความถี่แบบโบดของเซคคันด์-อเดอร์ลูป

เรากำหนดแบนด์วิดท์ของเซคคันด์-อเดอร์ลูป เท่ากับ ความถี่ที่อัตราขยายของลูปตามปกติตกลงไป -3dB ซึ่งเหมือนกับเฟิร์ส-อเดอร์ลูป แบนด์วิดท์สามารถอธิบายอยู่ในรูปแบบง่าย ๆ จากสมการ (2.53) เนื่องจาก เฟิร์ส-อเดอร์ซีโร (First -Order Zero :  $S_z = -1/\tau_2$ ) เกิดขึ้นที่ความถี่สูงกว่าความถี่ที่เกิดเซคคันด์-อเดอร์โพล (Second-order pole) นำไปใช้ประโยชน์ด้านการคำนวณ (Second-order pole) มากมีเราจึงไม่สนใจกับซีโรนี้ เพื่อจุดมุ่งหมายในการคำนวณแบนด์วิดท์นำไปใช้

ดังนั้นในเทอมของความถี่ เราสามารถเขียนสมการ (2.53) ได้เป็น

$$A_\omega = \frac{1}{(1 - \omega^2/\omega_n^2) + j 2\delta(\omega/\omega_n)} \quad (2.56)$$

ความถี่ที่  $-3\text{dB}$  จะมีอัตราขยายแรงดัน (Voltage gain) เป็น 0.707 ดังนั้นถ้าเราให้

$$|A(j\omega)| = 0.707 \text{ ก็จะได้} \quad (2.57)$$

$$\frac{1}{\sqrt{(1 - \omega^2/\omega_n^2)^2 + (2\delta \omega/\omega_n)^2}} = 0.707$$

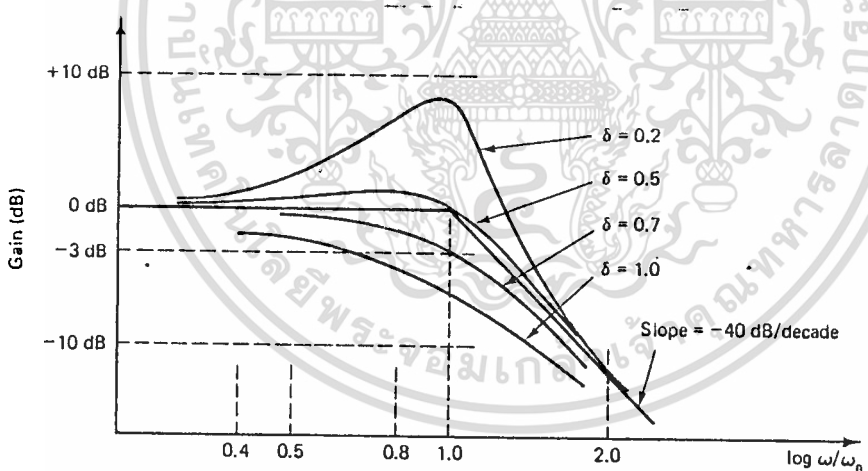
จากสมการ (2.57) ยกกำลังสองทั้งสองข้าง จะได้

$$\left(\frac{\omega}{\omega_n}\right)^4 + (4\delta^2 - 2)\left(\frac{\omega}{\omega_n}\right)^2 - 1 = 0 \quad (2.58)$$

แก้สมการหา  $\omega$  โดยใช้สูตรกำลังสอง เราจะได้ความถี่ที่  $-3\text{dB}$  เป็น

$$\omega = \omega_{-3\text{dB}} = \omega_n \left[ 1 - 2\delta^2 + \sqrt{(2\delta^2 - 1)^2 + 1} \right]^{1/2} \quad (2.59)$$

เมื่อใช้สมการนี้กับแดมปีงแฟคเตอร์ ( $\delta$ ) และความถี่ธรรมชาติ ( $\omega_n$ ) ค่าอื่นๆ ค่าแบนด์วิดท์ของลูบก็สามารถคำนวณหาได้ การตอบสนองทางความถี่ที่แท้จริงจะเป็นฟังก์ชันของ  $\delta$  และ  $\omega_n$  ดังแสดงในรูป 2.21



รูปที่ 2.21 การตอบสนองทางความถี่ที่แท้จริง

จากรูปที่ 2.21 จะเห็นว่าเมื่อ  $\delta = 0.707$  เท่านั้นที่แบนด์วิดท์เท่ากับความถี่ธรรมชาติ เมื่อ  $\delta > 0.707$  แบนด์วิดท์จะมีค่าน้อยกว่า  $\omega_n$  ในทางกลับกันเมื่อ  $\delta < 0.707$  แบนด์วิดท์จะมีค่ามากกว่า

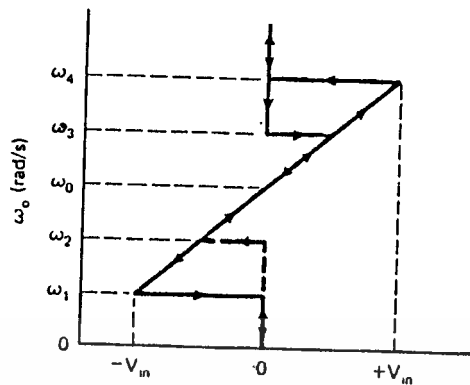
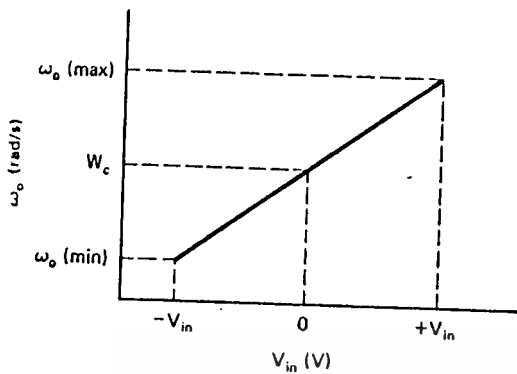
### การแทร็กกิ้ง (Tracking and Acquisition)

อีกสำนวนเป็นอีกสำนวนที่ลงหนังสือเกี่ยวกับเรื่องนี้เพื่อการศึกษาเท่านั้น ไม่นอนุญาตให้นำไปใช้ประโยชน์ด้านการค้า  
ขั้นแรกพิจารณาทรานส์เฟอว์ร์ฟังก์ชัน หรือ คอนเวอร์ชันเกน (conversion gain) ของ

VCO เพียงอย่างเดียว ซึ่งคอนเวิรส์ชันเกนมีหน่วยเป็น rad/s-v ทราเนเฟอร์ฟังก์ชันของ VCO ในทางปฏิบัติแสดงไว้ดังรูป 2.22 รูปนี้แสดงให้เห็นถึงช่วงความถี่ของ VCO ที่รับได้โดยการควบคุมแรงดัน ( $V_c$ ) จากลูปฟิลเตอร์ ช่วงความถี่จาก  $\omega_{\alpha min}$  ถึง  $\omega_{\alpha max}$  นี้เป็นช่วงล็อก (lock range) หรือช่วงที่ปรับได้ของ PLL เมื่อเข้าล็อกแล้ว VCO จะแทรกตามความถี่ที่เข้ามาแทนที่ความถี่ที่เข้ามาอยู่ในช่วงล็อก

อินพุทอาจจะอยู่ที่ความถี่ใด ๆ ก่อนที่จะล็อก การมิกซ์ของเฟสดีเทคเตอร์จะให้ความถี่ผลบวกและความถี่ผลต่าง ( $\omega_i \pm \omega_o$ ) ความถี่ผลบวก ( $\omega_i + \omega_o$ ) จะถูกลูปโลว์พาสฟิลเตอร์กรองทิ้งไป ถ้าความถี่ผลต่าง ( $\omega_i - \omega_o$ ) อยู่นอกแบนด์ของลูปฟิลเตอร์มันก็จะถูกกรองทิ้งด้วย ถ้า PLL ไม่ล็อก ขณะที่ความถี่อินพุท ( $\omega_i$ ) เข้าใกล้ ความถี่ฟรี-รันนิ่ง (free-running frequency :  $\omega_c$ ) ของ VCO ความถี่ผลต่าง  $\omega_i - \omega_o$  จะมีค่าน้อยลงและเข้าสู่ช่วงความถี่ที่ผ่านลูปฟิลเตอร์ได้ ฟิลเตอร์จะให้องค์ประกอบทาง DC ของความถี่ผลต่างบางอย่างกับ VCO ค่า DC นี้ จะไปขับให้ VCO สร้างสัญญาณออกมา ( $\omega_o$ ) ตามความถี่อินพุท ( $\omega_i$ ) ความถี่ผลต่าง  $\omega_i - \omega_o$  จะลดลงและองค์ประกอบทาง DC ที่มากขึ้นจะผ่านออกมา การบ้อนกลับแบบบวกนี้จะดำเนินไปเรื่อย ๆ จนกว่าความถี่ของ VCO จะเท่ากับความถี่อินพุท ในตอนนี้ลูปจะล็อกและแทรกตามความถี่อินพุทภายในช่วงล็อกของ VCO ช่วงความถี่อินพุท ( $\omega_i$ ) ที่มีจุดกึ่งกลางอยู่ที่ความถี่ฟรี-รันนิ่ง ( $\omega_c$ ) ของ VCO จนถึงความถี่ผลต่าง  $\omega_i - \omega_o$  ที่ทำให้ล็อก เรียกว่า แคปเจอร์เรนจ์ (Capture range) ของลูป คุณลักษณะเหล่านี้แสดงให้เห็นในรูปที่ 2.23 จากรูปช่วงล็อกคือช่วงความถี่จาก  $\omega_1$  ถึง  $\omega_4$  แคปเจอร์เรนจ์คือช่วงความถี่จาก  $\omega_2$  ถึง  $\omega_3$  สำหรับ VCO ที่ไม่อยู่ในล็อกและ  $\omega_i < \omega_1$  เข้าที่พุทของ VCO ( $\omega_o$ ) จะเท่ากับความถี่กลางของมัน (center frequency :  $\omega_c$ ) เมื่อความถี่อินพุท  $\omega_i$  ถึงความถี่  $\omega_2$  แรงดันควบคุม (input control voltage :  $V_c$ ) จะล็อก VCO ที่ความถี่นี้  $\omega_4$  ตอนนี้ VCO จะแทรกไปที่ความถี่ต่าง ๆ ในช่วง  $\omega_1$  ถึง  $\omega_4$  สำหรับความถี่ที่มากกว่า  $\omega_4$  หรือน้อยกว่า  $\omega_1$  PLL จะไม่สามารถล็อกได้และ VCO จะกลับไปความถี่กลาง พฤติกรรมที่เหมือนกันนี้จะเกิดขึ้นถ้า  $\omega_i$  มากกว่า  $\omega_4$  แคปเจอร์ฟรีควานซี (capture frequency) จะเป็น  $\omega_3$  และช่วงล็อกจะอยู่ช่วง  $\omega_1$  ถึง  $\omega_4$  อีกครั้งหนึ่ง เพื่อให้ลูปสามารถที่จะแทรกได้ตลอดช่วงล็อก แรงดันจากลูปฟิลเตอร์  $V_c$  ต้องมีค่าสัมบูรณ์ของมันมากที่สุดที่ปลายของช่วง

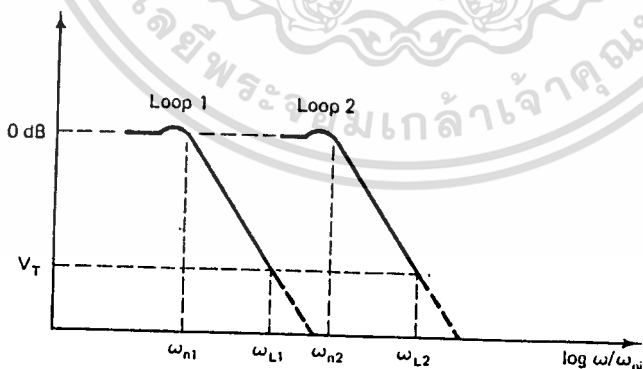
DC หรือ แรงดันเฉลี่ย (average voltage) ที่ป้อนให้กับ VCO จะเป็นตัวกำหนดช่วงการล็อกครณี อย่างไรก็ตามแคปเจอร์เรนจ์ก็เป็นฟังก์ชันขององค์ประกอบทาง DC ของไซด์แบนด์ของ



รูปที่ 2.22 ช่วงความถี่ของ VCO ที่ปรับได้โดยการควบคุมแรงดันจากลูปฟิลเตอร์

รูปที่ 2.23 แสดงช่วงล็อก แคปเจอร์เรนจ์ และการทำงานของ VCO

ความถี่ผลต่างที่ผ่านจากลูปฟิลเตอร์ ดังนั้นแคปเจอร์เรนจ์จึงเป็นฟังก์ชันของการตอบสนองทางความถี่ AC (AC frequency response) ของ PLL ฟรีควานซ์พล็อต (frequency plot) ของลูป 2 ลูปที่มีคุณสมบัติของการตอบสนองทางความถี่ AC ต่างกัน แสดงไว้ในรูปที่ 2.24 แคปเจอร์เรนจ์ของแต่ละลูปเท่ากับ  $\omega_c \pm \omega_{L1}$  ,  $\omega_c \pm \omega_{L2}$  ตามลำดับ ซึ่ง เป็นความถี่กลางของ VCO



รูปที่ 2.24 ฟรีควานซ์พล็อตของลูป 2 ลูปที่มีการตอบสนองทางความถี่ AC ต่างกัน

การตอบสนองทางความถี่ AC ยังมีผลต่อเข้าที่พหุของ PLL ด้วย การพิจารณาหลายๆ อย่างจะช่วยชี้ให้เห็นถึงคุณสมบัติอันนี้ เมื่อพิจารณาถึงธรรมชาติของสัญญาณเข้าที่พหุจาก VCO ผ่านการคำนวณการนำเอาสัญญาณที่เปลี่ยนแปลงตามฟังก์ชันของสัญญาณที่มาควบคุมก็คือ ความถี่ของ VCO อดั้ง  $\omega_o$  นำไปใช้

การเปลี่ยนแปลงที่เกิดขึ้นมีดังนี้

- อัตราการเปลี่ยนความถี่ของ VCO

- ช่วงความถี่ที่เอาท์พุทเปลี่ยนไป เมื่อป้อนอินพุทค่าหนึ่ง

ต่อไปเราจะดูว่า AC ทรานสเฟอร์ฟังก์ชัน (AC Transfer function) สัมพันธ์กับคุณลักษณะ 2 อย่างนี้อย่างไร

พิจารณาความถี่พาหะ (Carrier frequency) ที่ป้อนให้กับ PLL และลูปที่อยู่ในลูปค้ำพาดหะในตอนนี้มีอัตราเลขกับสัญญาณ  $\omega_s$  ความถี่ของสัญญาณจาก VCO จะเปลี่ยนแปลงด้วยอัตรา  $\omega_s$  ด้วย สำหรับสัญญาณ  $\omega_s$  VCO จะเปลี่ยนแปลงความถี่อยู่ในช่วงความถี่ที่กำหนดโดยขนาดของสัญญาณ AC อินพุท ปัจจัยจำกัดในการกำหนด  $\Delta f_{max}$  คือช่วงลูปของ PLL สำหรับขนาด (amplitude) ของสัญญาณมีอัตราเลขตั้ง ทางด้านอินพุทค่าหนึ่ง ความแตกต่างของเฟสที่เปลี่ยนแปลงระหว่างเอาท์พุทของ VCO และ  $\omega_i$  จะเกิดขึ้นด้วยอัตรา  $\omega_s$  ทำให้เกิดการเปลี่ยนแปลงของแรงดันที่ไปควบคุม VCO ในเวลาเดียวกันนั้น ค่า DC เฉลี่ยของแรงดันที่ไปควบคุม VCO ก็ยังคงที่ ในขณะที่การตอบสนองของลูปปิด (closed-loop response) ของ PLL สามารถตอบสนองได้ที่อัตรา  $\omega_s$  ค่าสูงสุดของแรงดันที่ไปควบคุม VCO จะเป็นสัดส่วนกับขนาดของสัญญาณอินพุท  $\omega_s$  สิ่งนี้จะมีผลในการเปลี่ยนแปลงของความถี่ที่ออกจาก VCO ซึ่งคงที่และสัมพันธ์กับช่วงของความถี่อินพุท  $\omega_s$

เมื่อความถี่ของสัญญาณอินพุท  $\omega_s$  เพิ่มขึ้น PLL จะสามารถแทรกซึมตามเปลี่ยนแปลงของสัญญาณ  $\omega_i$  ได้น้อยลง ดังนั้น PLL จะสามารถแทรกซึมตามการเปลี่ยนแปลงของความถี่ได้น้อยลง ผลลัพธ์ก็คือการเปลี่ยนแปลงของแรงดันที่ไปควบคุม VCO จะลดลงและจะมีการเปลี่ยนแปลงของความถี่เอาท์พุทจาก VCO น้อยลง การตอบสนองทางความถี่จะเขียนได้ในเทอมของมุมเฟสที่สัมพันธ์กัน (relative phase angles) ระหว่างเอาท์พุทจาก VCO และสัญญาณอินพุท  $\omega_i$  (ดูสมการที่ 2.47) เมื่อความสัมพันธ์ของมุมเฟสเป็นตัวกำหนดแรงดันที่ไปควบคุม VCO การตอบสนองทางความถี่ AC ของ PLL จะสามารถกำหนดได้โดยการวัดค่า rms ของแรงดันควบคุม VCO ซึ่งเป็นฟังก์ชันของสัญญาณมีอัตราเลขตั้ง  $\omega_s$

เมื่อลูปอยู่ในลูปค้ำ มันจะต้องแทรกซึมตามสัญญาณอินพุท ในการอธิบายถึงการแทรกซึมเป็นพิจารณาถึงความผิดพลาดของเฟส (Phase error :  $\theta_e$ ) ซึ่งเป็นผลมาจากสัญญาณอินพุท  $\omega_i$  หลังจากลูปเข้าลูปแล้วจะต้องมีสัญญาณเอาท์พุทที่สอดคล้องกันออกมาสำหรับแต่ละอินพุท ถ้ากล่าวโดยทั่วไป ๆ ไปแล้ว ความผิดพลาดของเฟสควรจะน้อย ช้อยกเว้นจะมีเมื่อ PLL นั้นใช้เป็นการ

ดีสคริมิเนเตอร์ (discriminator) ในสถานการณ์เจาะจงนี้ ความผิดพลาดของเฟสเป็นข้อมูลที่ต้องการและการแทรกแบบปิด (close tracking) ก็ไม่จำเป็น

ความผิดพลาดของเฟสในเฟรีควเอนซีโดเมน เขียนได้เป็นสมการที่ (2.48) นั่นคือ

$$\theta_e(s) = \frac{1}{s + K_o K_d F(s)} = \frac{1}{\frac{1 + K_o K_d F(s)}{s}} \theta_i(s) \quad (2.60)$$

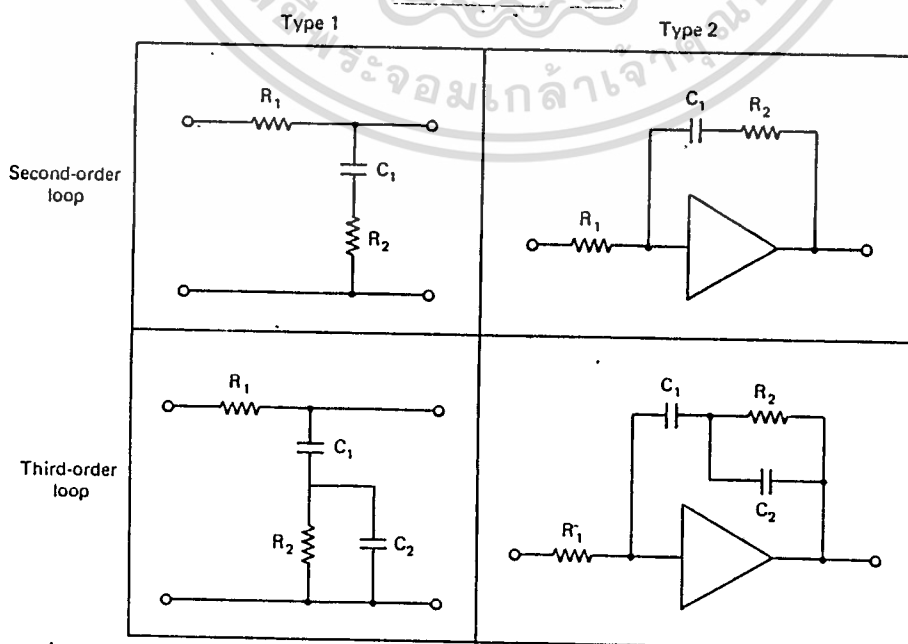
เราสามารถนำทฤษฎีแอสแตนด์เซิร์ฟโว (Standard servo theory) เขียนสมการนี้ใหม่ได้เป็น

$$\theta_e(s) = \frac{1}{1 + G(s)H(s)} \theta_i(s) \quad (2.61)$$

เมื่อ  $G(s) = 1/s$  และ  $H(s) = K_o K_d F(s)$  ในตอนนี้  $G(s)H(s)$  เป็นทรานสเฟอริงฟังก์ชันของลูปเปิด (Open-loop transfer function) และสำหรับ PLL ใดๆ อาจเขียนได้เป็น

$$G(s)H(s) = \frac{K_o K_d F(s)}{s} \quad (2.62)$$

วงจรถูฟิลเตอร์สำหรับเซคคันและเชิร์ตอเดออร์ PLL แสดงไว้ในรูปที่ 2.25 ในเทอมของทฤษฎีแอสแตนด์เซิร์ฟโว สัญญลักษณ์  $1 + G(s)H(s)$  จะหมายถึงสมการแสดงคุณลักษณะ (Characteristic Equation)



เอกสารนี้เป็นเอกสารที่สงวนไว้สำหรับการใช้งานเพื่อการศึกษาเท่านั้น ไม่อนุญาตให้นำไปใช้ประโยชน์ด้านการค้า  
 ไม่ว่ากรณีใดๆ รูปที่ 2.25 วงจรถูฟิลเตอร์สำหรับเซคคันและเชิร์ตอเดออร์ PLL

## 2.5 วงจรซิงโครไนเซชันทางดิจิทัล (Digital Synchronization Circuits)

การซิงโครไนเซชัน (Synchronization) เป็นปัญหาพื้นฐานในระบบสื่อสารแบบดิจิทัล ในระบบสื่อสารข้อมูลดิจิทัลจะมีลำดับของปัญหาการซิงโครไนเซชันที่ต้องพิจารณา ตัวอย่างเช่น ถ้าเป็นระบบที่ต้องใช้ความถี่พาหะ เราก็จะต้องคิดถึงเรื่องการซิงโครไนเซชันของพาหะ (Carrier Synchronization) ก่อน เครื่องรับจะต้องสร้างพาหะอ้างอิง (Reference Carrier) ที่มีเฟสเดียวกับกับเฟสของสัญญาณที่ได้รับได้ สัญญาณอ้างอิงนี้ถูกใช้ในเครื่องรับข้อมูล เพื่อประกอบเป็นการดีมอดูเลชันแบบโคฮีเรนต์ (Coherent Demodulation) เพื่อให้ได้ข้อมูลออกมา ปัญหาต่อมาก็คือ บิทซิงโครไนเซชัน (Bit Synchronization) ซึ่งเป็นการซิงโครไนซ์ของซิมโบลคล็อกทางด้านรับ (Receiver Symbol Clock) กับเบสแบนด์ดาต้า-ซิมโบลซีควเอนซ์ (Baseband Data-Symbol Sequence)

นอกจากบิทซิงโครไนเซชันแล้ว ปัญหาการซิงโครไนเซชันอื่นๆ ก็มีเกิดขึ้น เราอาจจะต้องพบกับปัญหาการซิงค์ เช่น เวิร์ด, เฟรม และ แพคเกจซิงโครไนเซชัน (Word, Frame and Packet Synchronization) ซึ่ง 2 อย่างแรกจะมีในระบบ PCM และ อย่างหลังนั้นจะมีในระบบสื่อสารข้อมูลซึ่งข้อมูลจะถูกส่งไปเป็นกลุ่ม ๆ

ต่อไปจะพิจารณาการซิงโครไนเซชันของพาหะ  
การซิงโครไนเซชัน (Carrier Synchronization)

ในระบบสื่อสารดิจิทัลซึ่งพาหะที่ถูกมอดูเลตถูกใช้เพื่อส่งข้อมูล ดังนั้นทางด้านรับจึงต้องทำสัญญาณพาหะอ้างอิงที่มีเฟสเดียวกับกับด้านส่ง (phase-coherent reference carrier) เพื่อทำการดีมอดูเลตสัญญาณออกมา ระบบ DSB-SC กำหนดไว้โดยการคูณสัญญาณพาหะ ( $\cos \omega_c t$ ) กับสัญญาณข้อมูลดิจิทัล ( $d(t)$ ) โดยให้บาลานซ์มอดูเลเตอร์ (Balanced Modulation) เราสามารถเขียนการกระทำอันนี้เป็นสมการทางคณิตศาสตร์ได้เป็น

$$e_{\text{DSB-SC}} = d(t) \cdot \cos \omega_c t \quad (2.63)$$

ชนิดของการมอดูเลตอีกแบบ คือ PSK ซึ่งเป็นกรณีพิเศษของ แองเกิ้ลมอดูเลชัน (Angle Modulation) ที่เฟสจะถูกชิฟท์ (Shift) ไปตามข้อมูล นั่นคือ

$$\begin{aligned} e_{\text{PSK}} &= A \cos[\omega_c t + M_p d(t)] \\ &= A \cos[M_p d(t)] \cos \omega_c t - A \sin[M_p d(t)] \sin \omega_c t \end{aligned} \quad (2.64)$$

เมื่อ  $M_p$  เป็น เฟสมอดูเลชันอินเด็กซ์ (Phase Modulation Index) PSK จะคล้ายกับ DSB-SC ซึ่งในความเป็นจริงแล้ว ถ้าข้อมูลเป็นไบนารี (Binary),  $d(t) = \pm 1$ , ซึ่งมีและนำไปใช้

$\mu_p = 91/2$  เรเดียน แล้ว PSK จะเหมือนกับ DSB-SC ดังนั้นเทคนิคการซินโครไนเซชันของพาหะที่ใช้กับระบบหนึ่งสามารถประยุกต์ใช้กับอีกระบบหนึ่งได้

การนำสัญญาณพาหะมาใช้จากระบบกดสัญญาณพาหะ

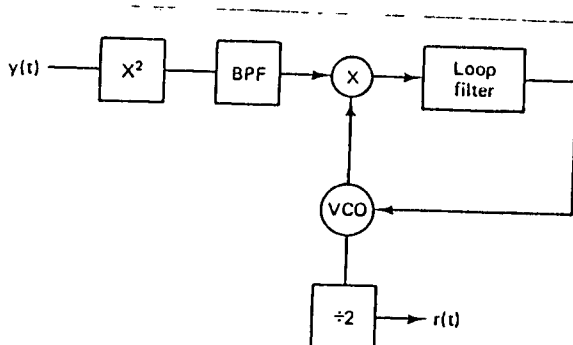
(Carrier Extraction in Suppressed Carrier System)

ทั้ง DSB-SC และ PSK มีมอดูเลเตอร์ จะเป็นระบบที่ไม่ส่งพาหะมาด้วย (Suppressed Carrier System) ดูได้จากสมการ(2.63) และ(2.64) ถ้าด้านส่งไม่ส่งพาหะมาทางด้านรับ จะต้องสร้างพาหะขึ้นมาเองจากสเปคตรัมที่สามารถรับมาได้เมื่อมอดูเลตติ้งดาต้า (Modulating Data) ,  $d(t)$  , สเปคตรัมของสัญญาณที่รับได้ จะไม่มีองค์ประกอบที่เป็นดิสครีต (Discrete Spectral Components) วิธีเริ่มเพื่อให้ได้สัญญาณการซินโครไนเซชันของพาหะอย่างหนึ่ง คือ การนำสัญญาณไปผ่านแอนาไลเนียร์อีลีเมนต์ (nonlinear element) เพื่อสร้างส่วนประกอบของพาหะ

เทคนิคอย่างหนึ่งสำหรับสร้างพาหะคือ การนำสัญญาณมายกกำลังสอง (to square the signal) ถ้าใช้สมการ (2.63) เราจะได้

$$\begin{aligned} r(t) &= d^2 \cdot \cos^2 \omega_c t \\ &= d^2 [ 1 + \cos 2 \omega_c t ] \end{aligned} \tag{2.65}$$

แม้ว่า  $d(t)$  จะเป็นค่าสุ่ม จำนวน  $d^2(t)$  ก็จะมีค่าคงที่  $\bar{r}$  รอบค่าเฉลี่ยเลขคณิตที่คงที่ (Constant Mean Value) ซึ่งจะได้ค่าของดิสครีตสเปคตรัม (discrete spectral) เป็น  $2 \omega_c$  แบนด์พาสฟิลเตอร์ที่มีแบนด์แคป หรือ PLL สามารถจะใช้สร้างสัญญาณพาหะอ้างอิงที่มีเสถียรภาพได้ (ดูรูป 2.26) เทคนิคอันนี้มีผลต่อปัญหาความคลุมเครือทางเฟส  $180^\circ$  องศา ( $180^\circ$  Phase Ambiguity Problem)



เอกสารนี้เป็นเอกสารที่สงวนไว้สำหรับการใช้งานเพื่อการศึกษาเท่านั้น ไม่อนุญาตให้นำไปใช้ประโยชน์ด้านการค้า ไม่ว่าจะกรณีใดๆทั้งสิ้น อีกที่รูปที่ 2.26 การนำสัญญาณมายกกำลังสอง จากของเอกสารทุกครั้งที่มีการนำไปใช้

วิธีสองที่จะสร้างพาหะขึ้นมาใหม่สำหรับ PSK และ DSB-SC คือการใช้ คอสเทสลูป (Costas Loop) เทคนิคอันนี้จะกล่าวโดยละเอียดในหัวข้อถัดไป เทคนิคพิเศษอันนี้จะคูณสัญญาณที่รับเข้ามา กับพาหะอ้างอิงที่มีเฟสเดียวกัน และมีเฟสขีฟไป  $90^\circ$  เข้าที่พุกจากตัวคูณ (Multiplier) จะถูกนำไปผ่านโลว์พาสฟิลเตอร์กรององค์ประกอบที่ความถี่ที่วิคูนออก สัญญาณที่ถูกฟิลเตอร์แล้วจะถูกนำมาคูณกันอีกครั้ง และ ผลที่ได้จะถูกนำไปผ่านโลว์พาสฟิลเตอร์ หรือลูปฟิลเตอร์เพื่อสร้างสัญญาณผิดพลาด (Error Signal) สำหรับ VCO ของลูป

แบบที่ 3 ของการซินโครไนเซชันของพาหะ คือดิซีสซัน-โดเร็กเต็ดลูป (รูป 2.27) การทำงานของลูปจะอธิบายได้ง่าย ๆ ถ้าเราสมมติให้ลูปอยู่ในลอคแล้ว นั่นคือ VCO ทำงานที่ความถี่ที่ถูกต้องแล้วด้วยมุมเฟสเล็กๆ (Small Phase Angle :  $\theta$ ) ในรูปเข้าที่พุกของสัญญาณเข้าที่พุกของสัญญาณอ้างอิงจาก VCO ที่มีเฟสเดียวกัน (Inphase VCO Reference) อาจเขียนได้เป็น

$$r_1 = \cos(\omega_c t + \theta) \quad (2.66)$$

สำหรับค่า  $\theta$  น้อย ๆ  $r_1 \approx \cos \omega_c t$  สัญญาณอ้างอิงที่เฟสขีฟไป  $90^\circ$  (Quadrature Reference) ก็เขียนได้เป็น

$$r_2 = \sin(\omega_c t + \theta) \quad (2.67)$$

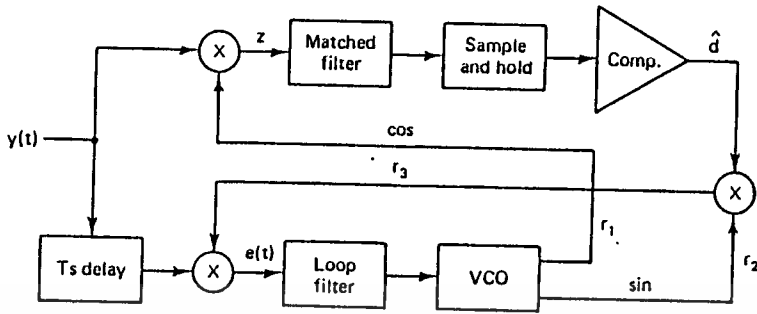
สัญญาณอ้างอิงที่มีเฟสเดียวกัน  $r_1$  จะดีมี้ออดดูเลขกับสัญญาณที่รับมา และ แม็ทซ์ฟิลเตอร์ (Matched-Filter) จะให้ค่าประมาณที่เหมาะสมของข้อมูล (d) ออกมา นั่นคือเข้าที่พุกของตัวคูณเป็น

$$\begin{aligned} Z(t) &= y(t) \cdot r_1(t) \\ &= d(t) \cos \omega_c t \cdot \cos \omega_c t \\ &= d(t) [1 + \cos 2 \omega_c t] \end{aligned} \quad (2.68)$$

เทอมของความถี่ที่วิคูน จะถูกแม็ทซ์ฟิลเตอร์กรองออกไป เข้าที่พุกจากฟิลเตอร์จะถูกแซมเปิ้ล (Sample) และตัวคอมพาราเตอร์ (Comparator) จะทำการประมาณค่าของข้อมูลให้เรียบร้อย ( $\hat{d}$ ) ค่าประมาณอันนี้จะไปรีมี้ออดดูเลข (Remodulate) กับพาหะเพื่อสร้าง  $r_3$  นั่นคือ

$$r_3 = \hat{d}(t) \cdot \sin \omega_c t \quad (2.69)$$

เอกสารนี้เป็นเอกสารที่สงวนไว้สำหรับการใช้งานเพื่อการศึกษาเท่านั้น ไม่อนุญาตให้นำไปใช้ประโยชน์ด้านการค้า ไม่ว่ากรณีใดๆทั้งสิ้น อีกทั้งห้ามมิให้ดัดแปลงเนื้อหา และต้องอ้างอิงถึงเจ้าของเอกสารทุกครั้งที่มีการนำไปใช้



รูปที่ 2.27 ดีซีลชั่น-ไดเร็กต์เด็คคูป

ค่าประมาณของข้อมูล  $\hat{d}$  จะถูกหน่วงไป 1 คาบของบิต (Delayed by 1 Bit Period) จากข้อมูลอินพุท โดยการรวมการกระทำของแม็ทช์ฟิลเตอร์ การหน่วงเวลาซดเซไป T วินาที นั้นจะแทนในเส้นทางที่เฟสขยับไป  $90^\circ$  (Quadrature Path) เอ้าท์พุท  $e(t)$  ที่ป้อนเข้าลูปฟิลเตอร์จะเป็น

$$\begin{aligned}
 e(t) &= r_2 \cdot \hat{d} \cdot \cos \omega_c t \\
 &= \hat{d} \cdot \hat{d} \sin \omega_c t \cos \omega_c t \cos \theta + \hat{d} \cdot \hat{d} \cos^2 \omega_c t \sin \theta \quad (2.70)
 \end{aligned}$$

ลูปฟิลเตอร์จะกำจัดเทอมความถี่วีคูล์ออก และ เฉลี่ยค่าผลคูณของข้อมูล กับค่าประมาณของมัน ซึ่งจะให้เทอมของความเพี้ยนเฟสที่ถูกต้อง (Proportional Phase-Error Term :  $f(t)$ ) กับ VCO

$$\begin{aligned}
 f(t) &= K_1 \sin 2\theta \\
 &\approx K_2 \theta \quad \text{เมื่อ } \theta \text{ มีค่าน้อย ๆ} \quad (2.71)
 \end{aligned}$$

เทอมของความเพี้ยนเฟสนี้จะไปขับให้ลูปเข้าล็อก

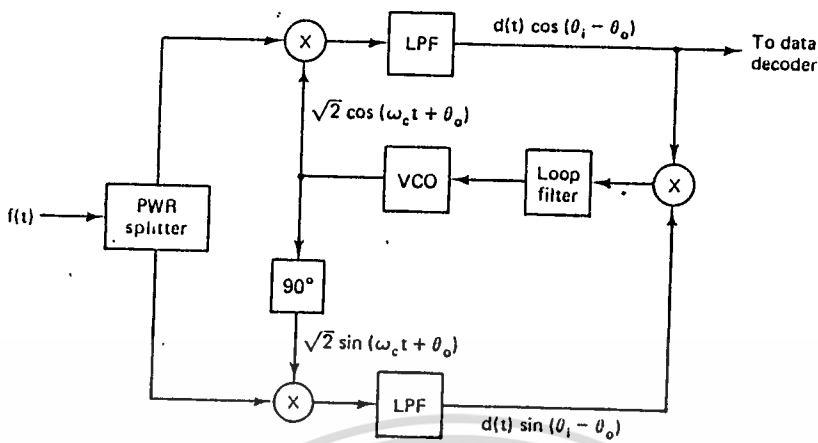
### การออกแบบคอสแทสลูป (Costas Loop Design)

ในที่นี้พิจารณาถึงการออกแบบคอสแทสลูปสำหรับสัญญาณ BPSK ลูปแสดงดังรูป 2.28 อินพุทของลูปฟิลเตอร์เป็น

$$e_r = K_m \frac{A^2}{4} \sin[2(\theta_1 - \theta_0)] \quad (2.72)$$

เอกสารนี้เป็นเอกสารที่สงวนไว้สำหรับการใช้งานเพื่อการศึกษาเท่านั้น ไม่อนุญาตให้นำไปใช้ประโยชน์ด้านการค้า

ไม่ว่ากรณีใดๆทั้งสิ้น อีกทั้งห้ามมิให้ดัดแปลงเนื้อหา และต้องอ้างอิงถึงเจ้าของเอกสารทุกครั้งที่มีการนำไปใช้



รูปที่ 2.28 คอสแทสลับ

เมื่อ

$A$  = ค่า rms ของสัญญาณ BPSK

$K_m$  = มัลติพลายเออร์เกน (Multiplier Gain)

$\theta_i$  = เฟสของสัญญาณอินพุต

$\theta_o$  = เฟสของสัญญาณจาก VCO

เข้าที่พหุคูณของลูปีฟิลเตอร์  $f(t)$  จะเป็น

$$f(t) = H(p) \left[ K_m \frac{A^2}{4} \sin 2(\theta_i - \theta_o) \right] \quad (2.73)$$

เมื่อ  $H(p)$  เป็นโอเปอเรเตอร์ (Operator) ที่อธิบายถึงผลของลูปีฟิลเตอร์ เฟสของสัญญาณจาก VCO

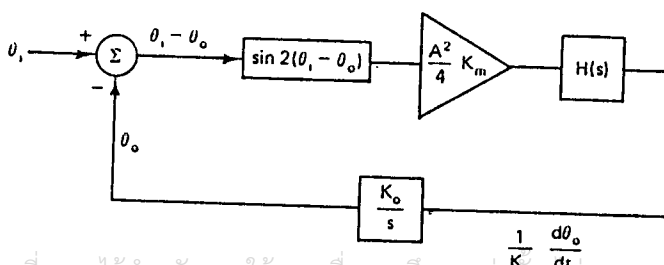
จะเท่ากับ  $\theta_o = K_o \int f(t) dt$

เมื่อ  $K_o$  เป็น เซนซิวิตีตี้ของ VCO ในหน่วย rad/s-v อัตราเปลี่ยนแปลงของเฟสจะเป็น

$$\begin{aligned} \frac{d\theta_o}{dt} &= K_o f(t) \\ &= K_o H(p) \left[ K_m \frac{A^2}{4} \sin 2(\theta_i - \theta_o) \right] \end{aligned} \quad (2.74)$$

ที่จุดนี้แทนที่จะพยายามแก้สมการนี้ เราสามารถพัฒนาบล็อกไดอะแกรม ให้เหมือนกับสมการ

(ดูรูป 2.29 )



เอกสารนี้เป็นเอกสารที่สงวนไว้สำหรับการใช้งานเพื่อการศึกษาเท่านั้น มิอนุญาตให้นำไปใช้ประโยชน์ด้านการค้า

ไม่ว่ากรณีใดๆ รูปที่ 2.29 บล็อกไดอะแกรมของลูปีฟิลเตอร์ที่พัฒนาจากสมการ (2.74)

เมื่อความถี่เฟสมีค่าน้อย ๆ  $\sin 2(\theta_1 - \theta_0) \approx 2(\theta_1 - \theta_0)$  ดังนั้นอีกชื่อว่าเร้นท์เกน (Equivalent Gain) ของเฟลดีเทคเตอร์,  $K_d$ , จะเป็น

$$K_d = \frac{A^2 K_m}{4} \quad (2.75)$$

ถ้าสมมติให้ลูปฟิลเตอร์มีทรานสเฟอร์ฟังก์ชัน  $H(s) = (1 + \tau_2 s) / \tau_1 s$  แล้วลูปทรานสเฟอร์ฟังก์ชันเป็น

$$A(s) = \frac{1 + \tau_2 s}{1 + (2\delta/\omega_n)s + s^2/\omega_n^2} \quad (2.76)$$

ความถี่ธรรมชาติของลูป (Loop Natural Frequency :  $\omega_n$ ) และ แด้มบิ่งแฟคเตอร์ (Damping Factor :  $\delta$ )

จะมีค่าเป็น

$$\omega_n = \sqrt{\frac{K_c K_d}{\tau_1}} \quad (2.77)$$

และ

$$\delta = \frac{K_c K_d}{\tau_1} \cdot \frac{\tau_2}{2} = \frac{K_c K_d}{4\tau_1} \quad (2.78)$$

จากสมการ (2.75) จะเห็นว่าลูปฟารามิเตอร์  $\omega_n$  และ  $\delta$  อยู่ในฟังก์ชันของระดับสัญญาณอินพุต A, โดยมาจาก อีกชื่อว่าเร้นท์คอมพาราเตอร์เกน (Equivalent Comparator Gain) ตัวอย่างการออกแบบแสดงในตัวอย่าง

ตัวอย่าง จงออกแบบคอสแทสลูปเพื่อสร้างพาหะขึ้นใหม่ทางด้านรับ จากสัญญาณ 1800 Hz-PSK ที่มีอัตราเลขกับข้อมูลไบนารี 1200 b/s การซิงโครไนเซชันของพาหะนี้ต้องสำเร็จใน 10 คาบของบิต และระดับของสัญญาณอินพุตเป็น 100 mV (rms)

จากรูป 2.19 ลูบจะเข้าที่ใน 5% เมื่อ  $\omega_n = 4.5$  10 คาบของบิตจะเท่ากับ 15 คาบของพาหะ ดังนั้น

$$t = (15) \left(\frac{1}{7800}\right) = 8.33 \text{ ms}$$

และ

$$\omega_n = \frac{4.5}{t} = 540 \text{ rad}$$

หรือ

$$f_n = 85.94 \approx 86 \text{ Hz}$$

เพื่อจุดมุ่งหมายในการออกแบบ เลือก VCO ที่มีเซนซิวิตีเป็น 1000 Hz/V ดังนั้น

เอกสารนี้เป็นเอกสารที่สงวนไว้สำหรับการใช้เพื่อการศึกษาเท่านั้น ไม่อนุญาตให้นำไปใช้ประโยชน์ด้านการค้าไม่ว่ากรณีใดๆทั้งสิ้น อีกทั้งห้ามมิให้ดัดแปลงเนื้อหา และต้องอ้างอิงถึงเจ้าของเอกสารทุกครั้งที่มีการนำไปใช้

$$\text{และ } K_u = \frac{A^2 K_m}{4} = \frac{(0.1)^2 K_m}{4} = 0.0025 K_m$$

จากสมการ (2.78)

$$\delta = \omega_n \frac{\tau_2}{2}$$

หรือ

$$\tau_2 = \frac{2\delta}{\omega_n}$$

จากรูปที่ 2.19 ค่าของ  $\delta = 0.8$  จะทำให้ลูปเข้าที่ใน 5% สำหรับ  $\omega_n = 4.5$  ดังนั้น

$$\tau_2 = 2(0.8)/540 = 0.002963 \text{ s}$$

ถ้าเลือกใช้  $C = 1 \mu\text{F}$  ดังนั้น

$$R_2 = 0.002963/10^{-6} = 2963 \Omega$$

จากสมการ (2.77) จะได้

$$\tau_1 = K_u K_m / C$$

และจาก

$$K_u = 0.0025 K_m$$

เลือกใช้  $K_m = 50$  ดังนั้น

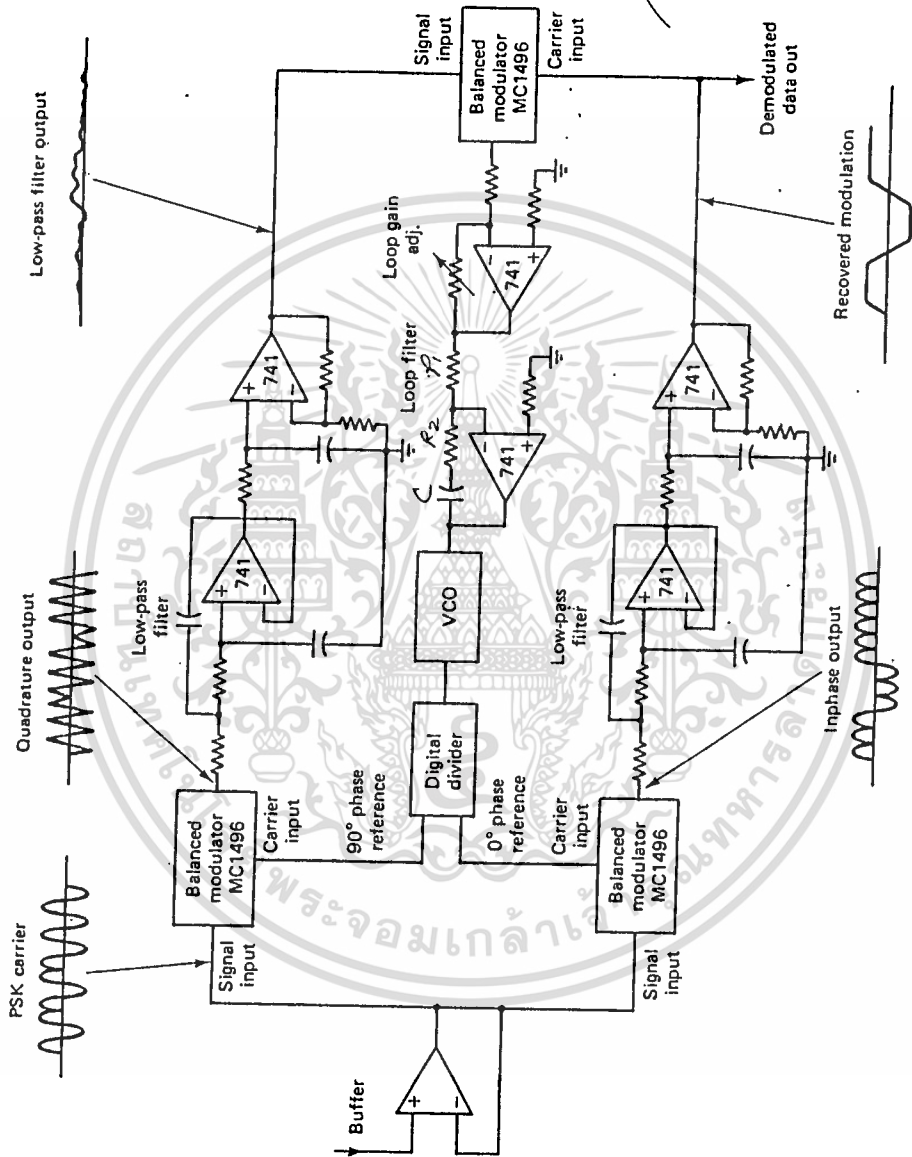
$$\tau_1 = (6280)(0.125)/540^2 = 0.002692 \text{ s}$$

และได้

$$R_1 = 0.002692/10^{-6} = 2692 \Omega$$

รูป 2.30 เป็นวงจรของคอสแทสลับโดยใช้ MC1496 เป็นมัลติพลายเออร์ ลูปมัลติพลายเออร์เกนเท่ากับเกนของมัลติพลายเออร์จริงๆ กับเกนของแอมพลิฟายเออร์ที่ต่อกันอยู่ โลว์พาสฟิลเตอร์ที่ต่อกับมัลติพลายเออร์ทั้ง 2 ตัวนั้น ควรจะมีแบนด์กว้างพอที่จะให้ข้อมูลไปได้ แต่ต้องกรององค์ประกอบของฮาร์โมนิคที่ 2 ออกไป

เอกสารนี้เป็นเอกสารที่สงวนไว้สำหรับการใช้งานเพื่อการศึกษาเท่านั้น ไม่อนุญาตให้นำไปใช้ประโยชน์ด้านการค้า  
ไม่ว่ากรณีใดๆทั้งสิ้น อีกทั้งห้ามมิให้ดัดแปลงเนื้อหา และต้องอ้างอิงถึงเจ้าของเอกสารทุกครั้งที่มีการนำไปใช้



รูปที่ 2.30 แสดงวงจรคอสเทสลับ

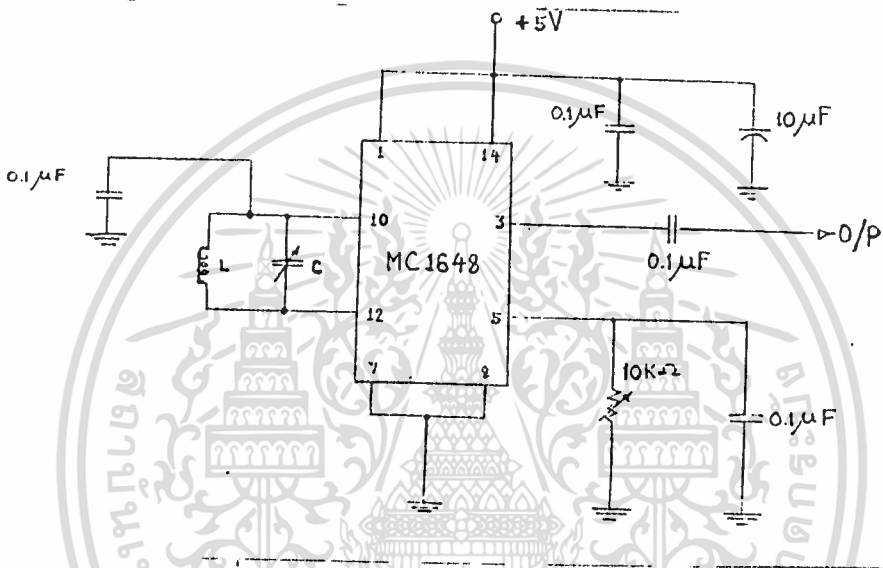
เอกสารนี้เป็นเอกสารที่สงวนไว้สำหรับการใช้งานเพื่อการศึกษาเท่านั้น ไม่อนุญาตให้นำไปใช้ประโยชน์ด้านการค้า  
ไม่ว่ากรณีใดๆทั้งสิ้น อีกทั้งห้ามมิให้ดัดแปลงเนื้อหา และต้องอ้างอิงถึงเจ้าของเอกสารทุกครั้งที่มีการนำไปใช้

### บทที่ 3

#### การคำนวณและการสร้าง

#### 3.1 วงจรกำเนิดสัญญาณไซน์เวฟ

ใช้ IC เบอร์ MC 1648 ซึ่งมีวงจรกำเนิดไซน์เวฟ ดังรูป 3.1



รูปที่ 3.1 วงจรกำเนิดสัญญาณไซน์เวฟ

Osc. 122.854 MHz

จาก  $f = 1/(2\pi\sqrt{LC})$

กำหนด  $C = 5 \text{ pF}$

ดังนั้น  $L = \frac{1}{(2\pi f)^2 C} = \frac{1}{(2\pi \times 122.854 \times 10^6)^2 \times 5 \times 10^{-12}}$   
 $= 159.456 \text{ nH}$

Osc. 122.6868 MHz

กำหนด  $C = 10 \text{ pF}$

ดังนั้น  $L = 168.295 \text{ nH}$

เอกสารนี้เป็นเอกสารที่สงวนไว้สำหรับการใช้งานเพื่อการศึกษาเท่านั้น ไม่อนุญาตให้นำไปใช้ประโยชน์ด้านการค้า  
ไม่ว่ากรณีใดๆทั้งสิ้น อีกทั้งห้ามมิให้ดัดแปลงเนื้อหา และต้องอ้างอิงถึงเจ้าของเอกสารทุกครั้งที่มีการนำไปใช้

### 3.2 การออกแบบวงจรขยายสัญญาณย่านความถี่วิทยุ (SMALL-SIGNAL RF AMPLIFIER)

การออกแบบ RF AMP นั้นก่อนอื่นต้องเลือกทรานซิสเตอร์ (TR) ที่จะนำมาใช้ก่อน และถ้าจะออกแบบโดยใช้วาย-พารามิเตอร์ (Y-PARAMETER) ก็ต้องเลือก TR. ที่มีวาย-พารามิเตอร์ที่เหมาะสม เมื่อเลือก TR. ได้แล้วต่อไปจึงคำนวณการไบแอสให้ TR. ทำงาน ณ. จุดที่เราต้องการ สำหรับขั้นตอนในการออกแบบต่อไป จะแยกเป็นข้อ ๆ ดังนี้

1. อ่านค่า ยาย-พารามิเตอร์ของ TR. ( $Y_1, Y_r, Y_f$  และ  $Y_o$ ) ที่ความถี่ที่เราต้องการ โดยค่ามันจะอยู่ในรูปของ  $Y = G + jB$

2. คำนวณค่า C (LINVILL STABILITY FACTOR) จากสูตร

$$C = \frac{|Y_r Y_f|}{2g_i g_o - \text{Re}(Y_r Y_f)}$$

ถ้า  $C < 1$  แสดงว่า TR. จะเสถียร (STABLE) อย่างไม่มีเงื่อนไข ณ. จุดไบแอสที่เราเลือก ถ้า  $C > 1$  แสดงว่า TR. อาจจะไม่เสถียร (UNSTABLE) หรือ ออสซิลเลท (OSCILLATE) สำหรับค่าของซอร์สและโหลดอิมพีแดนซ์ (SOURCE AND LOAD IMPEDANCE) ที่แน่นอนค่าหนึ่ง

3. ในที่นี้จะทำการออกแบบเมื่อ  $C > 1$  (POTENTIALLY UNSTABLE)

จากดาต้าชีท (DATA SHEET) ของ TR. เลือกค่า  $R_s$  (SOURCE RESISTANCE) ที่ให้น้อยที่สุด (NOISE FIGURE) ดีที่สุด และได้  $G_s = 1/R_s$

4. กำหนดค่า K (STERN STABILITY FACTOR) เท่ากับ 3 หาค่าของ  $G_L$  จากสูตร

$$K = \frac{2(g_i + G_s)(g_o + G_L)}{|Y_r Y_f| + \text{Re}(Y_r Y_f)}$$

5. กำหนดให้  $B_L = -B_o$

ดังนั้น โหลดแอดมิตแตนซ์  $Y_L = G_L + jB_L$

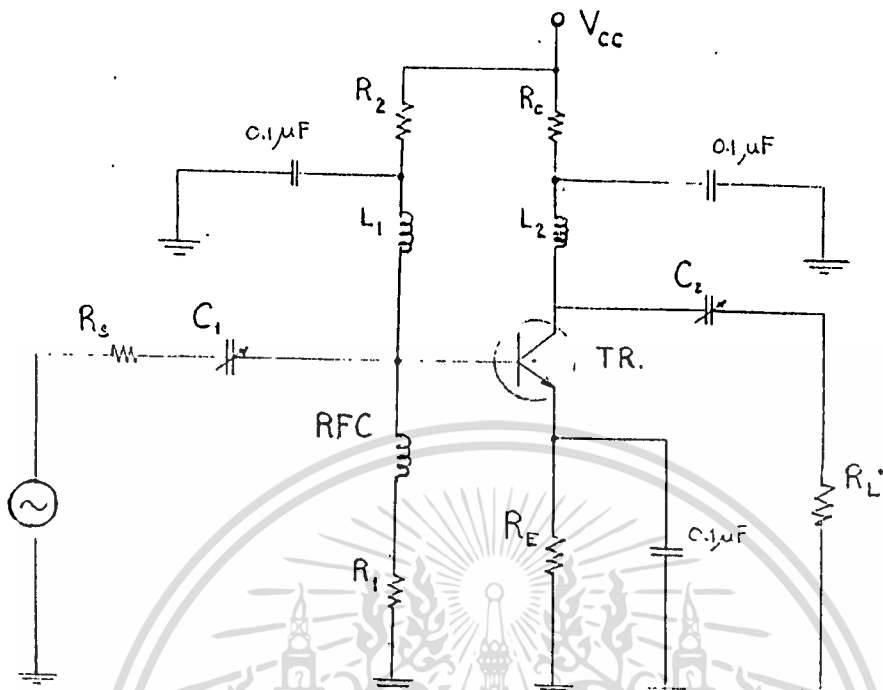
6. หาค่าอินพุทแอดมิตแตนซ์  $Y_{in}$  จากสูตร  $Y_{in} = Y_1 - Y_r Y_f / (Y_o + Y_L)$

กำหนดให้  $B_{in} = -B_{in}$

ดังนั้นซอร์สแอดมิตแตนซ์  $Y_s = G_s + jB_{in}$

7. คำนวณอิมพีแดนซ์แมตชิ่ง (IMPEDANCE MATCHING) ในสมิทชาร์ท (SMITH CHART)

จะได้ค่าของ  $C_1, L_1, C_2$  และ  $L_2$  การใช้งานเพื่อการศึกษาเท่านั้น ไม่อนุญาตให้นำไปใช้ประโยชน์ด้านการค้า  
ไม่ว่ากรณีใดๆ RF Amp. จะเป็นดังรูป 3.2 นี้ขอ และต้องอ้างอิงถึงเจ้าของเอกสารทุกครั้งที่มีการนำไปใช้



รูปที่ 3.2 วงจร RF Amp

เมื่อทำการออกแบบตามขั้นตอนต่างๆแล้ว จะได้

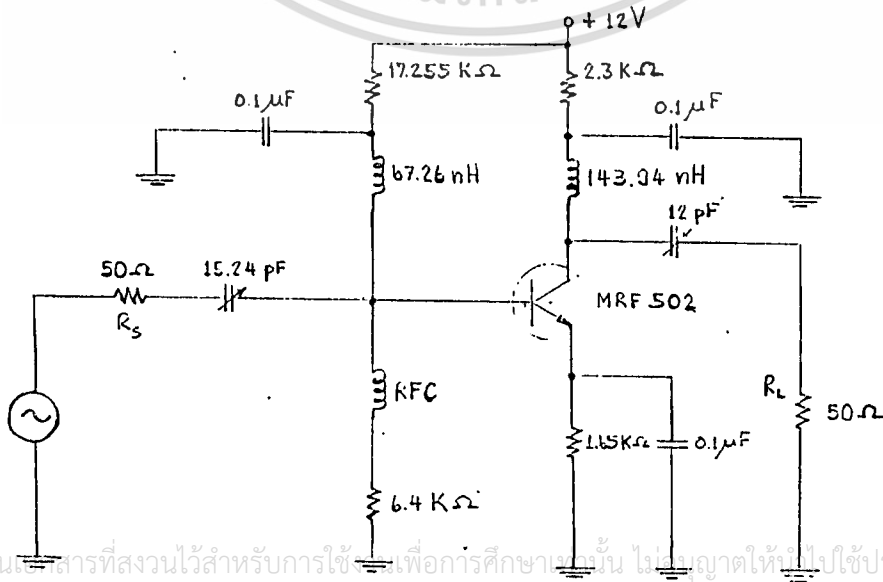
$$C_1 = 15.24 \text{ pF}$$

$$L_1 = 67.26 \text{ nH}$$

$$C_2 = 11.78 \text{ pF}$$

$$L_2 = 143.94 \text{ nH}$$

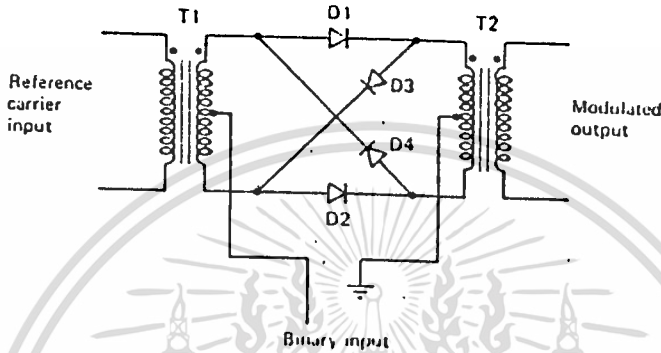
และวงจรที่สมบูรณ์เป็นดังรูปที่ 3.3



เอกสารนี้เป็นเอกสารที่สงวนไว้สำหรับการใช้เพื่อการศึกษาเท่านั้น ไม่อนุญาตให้ไปใช้ประโยชน์ด้านการค้า  
ไม่ว่ากรณีใดๆทั้งสิ้น อีกทั้งรูปที่ 3.3 วงจร RF Amp ที่สร้างขึ้นมาจากเอกสารทุกครั้งที่มีการนำไปใช้

### 3.3 การออกแบบและการสร้างมอดูเลเตอร์

ทางภาคส่งใช้รีจิมมอดูเลเตอร์เป็นตัวมอดูเลเตอร์แบบ PSK ต่อเป็นวงจรดังรูปที่ 3.4



รูปที่ 3.4 บาลานซ์รีจิมมอดูเลเตอร์

อัตราส่วนระหว่างจำนวนรอบของขดปฐมภูมิต่อขดทุติยภูมิเป็น 1:2

$T_1, T_2$  ใช้แกนทอรอยด์ ขนาด 1/4 นิ้ว

กำหนด  $X_L$  ของทางด้านปฐมภูมิเท่ากับ 50 โอห์ม ที่ความถี่ 123 MHz

ดังนั้น L จะมีค่าเท่ากับ 0.064 ไมโครเฮนรี่

### 3.4 การออกแบบและสร้างมัลติพลายเออร์ทางด้านเครื่องรับ

ทางภาครับใช้ IC เบอร์ MC1496 เป็นตัวมัลติพลายเออร์ ต่อวงจรตามรูปที่ 3.5

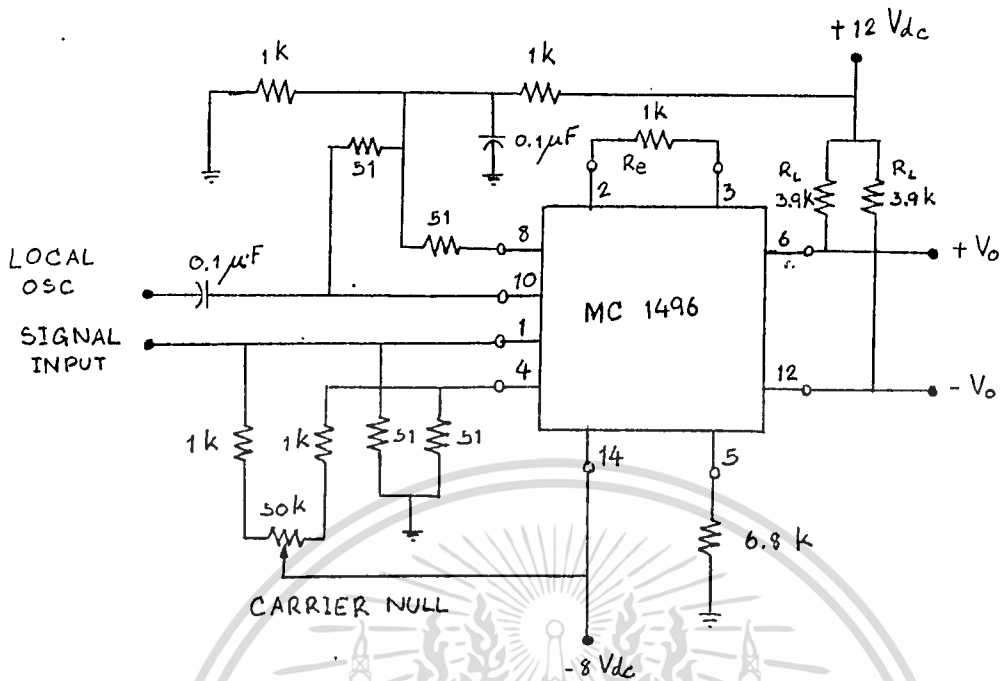
### 3.5 การออกแบบและการสร้างโลว์พาสฟิลเตอร์

ทางภาครับ กำหนดโลว์พาสฟิลเตอร์คัท-ออฟที่ 3 MHz ใช้ฟิลเตอร์แบบบัทเตอร์เวิร์ทอเดอร์ที่ 4

จากตารางที่ 3.1 เราให้  $R_{in} = 50$  โอห์ม  $R_L = 50$  โอห์ม

จะได้  $R_1/R_2 = 1$  ได้ค่าประมาณจากตารางดังนี้ศึกษาเท่านั้น ไม่นอนุญาตให้นำไปใช้ประโยชน์ด้านการค้า

ไม่ว่ากรณีใดๆที่ 0.466 ห้ามมิให้ดัดแปลงเนื้อหา และต้องอ้างอิงถึงเจ้าของเอกสารทุกครั้งที่มีการนำไปใช้



รูปที่ 3.5 วงจรมัลติพลายเออร์ทางด้านเครื่องรับ

$$C_2 = 1.592$$

$$L_3 = 1.744$$

$$C_4 = 1.469$$

จากนั้นนำ  $C_2$ ,  $C_4$  มาหาค่า  $C$

ตามสมการ

$$C = C_n / 2\pi f_c R_L$$

นำ  $L_1$ ,  $L_3$  มาหาค่า  $L$

ตามสมการ

$$L = R_L L_n / 2\pi f_c$$

จะได้  $L_{(1,1)} = 1.24$  ไมโครเฮนรี่

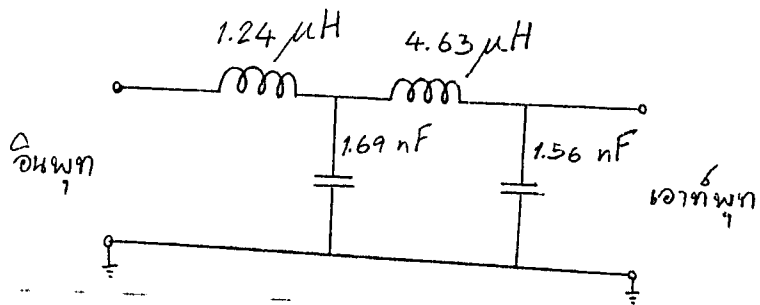
$C_{(2,2)} = 1.69$  นาโนฟารัด

$L_{(3,3)} = 4.63$  ไมโครเฮนรี่

$C_{(4,4)} = 1.56$  นาโนฟารัด

นำมาต่อเป็นวงจรดังนี้

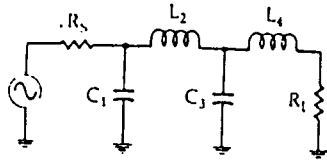
เอกสารนี้เป็นเอกสารที่สงวนไว้สำหรับการใช้งานเพื่อการศึกษาเท่านั้น ไม่อนุญาตให้นำไปใช้ประโยชน์ด้านการค้า  
ไม่ว่ากรณีใดๆทั้งสิ้น อีกทั้งห้ามมิให้ดัดแปลงเนื้อหา และต้องอ้างอิงถึงเจ้าของเอกสารทุกครั้งที่มีการนำไปใช้



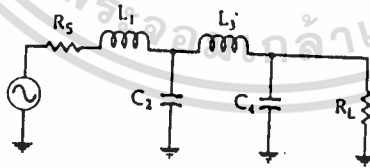
รูปที่ 3.6 โลว์พาสฟิลเตอร์



เอกสารนี้เป็นเอกสารที่สงวนไว้สำหรับการใช้งานเพื่อการศึกษาเท่านั้น ไม่อนุญาตให้นำไปใช้ประโยชน์ด้านการค้า  
ไม่ว่ากรณีใดๆทั้งสิ้น อีกทั้งห้ามมิให้ดัดแปลงเนื้อหา และต้องอ้างอิงถึงเจ้าของเอกสารทุกครั้งที่มีการนำไปใช้



n	$R_s/R_L$	$C_1$	$L_2$	$C_3$	$L_4$
2	1.111	1.035	1.835		
	1.250	0.849	2.121		
	1.429	0.697	2.439		
	1.667	0.566	2.828		
	2.000	0.448	3.316		
	2.500	0.342	4.095		
	3.333	0.245	5.313		
	5.000	0.156	7.707		
	10.000	0.074	14.814		
	$\infty$	1.114	0.707		
3	0.900	0.808	1.633	1.599	
	0.800	0.844	1.384	1.928	
	0.700	0.915	1.165	2.277	
	0.600	1.023	0.965	2.702	
	0.500	1.181	0.779	3.261	
	0.400	1.425	0.604	4.064	
	0.300	1.838	0.440	5.363	
	0.200	2.669	0.284	7.910	
	0.100	5.167	0.138	15.455	
	$\infty$	1.500	1.333	0.500	
4	1.111	0.466	1.592	1.744	1.469
	1.250	0.388	1.695	1.511	1.811
	1.429	0.325	1.862	1.291	2.175
	1.667	0.269	2.103	1.082	2.613
	2.000	0.218	2.452	0.883	3.187
	2.500	0.169	2.986	0.691	4.009
	3.333	0.124	3.883	0.507	5.338
	5.000	0.080	5.684	0.331	7.940
	10.000	0.039	11.094	0.162	15.842
	$\infty$	1.531	1.577	1.082	0.383
n	$R_L/R_s$	$L_1$	$C_2$	$L_3$	$C_4$



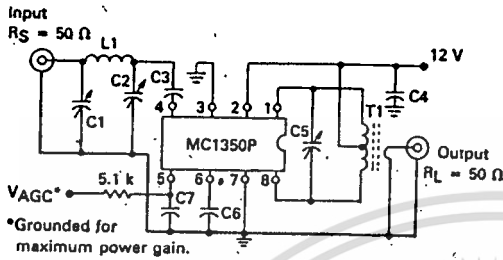
ตารางที่ 3.1 ตารางสำหรับออกแบบโลว์พาสฟิลเตอร์

เอกสารนี้เป็นเอกสารที่สงวนไว้สำหรับการใช้งานเพื่อการศึกษาเท่านั้น ไม่อนุญาตให้นำไปใช้ประโยชน์ด้านการค้า  
ไม่ว่ากรณีใดๆทั้งสิ้น อีกทั้งห้ามมิให้ตัดแปลงเนื้อหา และต้องอ้างอิงถึงเจ้าของเอกสารทุกครั้งที่มีการนำไปใช้

### 3.6 วงจรขยายสัญญาณย่าน IF 10.7 MHz

#### GENERAL OPERATING INFORMATION (continued)

FIGURE 7 — POWER GAIN AND AGC TEST CIRCUIT  
(455 kHz and 10.7 MHz)



Component	Frequency	
	455 kHz	10.7 MHz
C1	—	80–450 pF
C2	—	5.0–80 pF
C3	0.05 $\mu$ F	0.001 $\mu$ F
C4	0.05 $\mu$ F	0.05 $\mu$ F
C5	0.001 $\mu$ F	36 pF
C6	0.05 $\mu$ F	0.05 $\mu$ F
C7	0.05 $\mu$ F	0.05 $\mu$ F
L1	—	4.6 $\mu$ H
T1	Note 1	Note 2

Note 1. Primary: 120  $\mu$ H (center-tapped)

$Q_u = 140$  at 455 kHz

Primary: Secondary turns ratio  $\approx 13$

Note 2. Primary: 6.0  $\mu$ H

Primary winding = 24 turns #36 AWG

(close-wound on 1/4" dia. form)

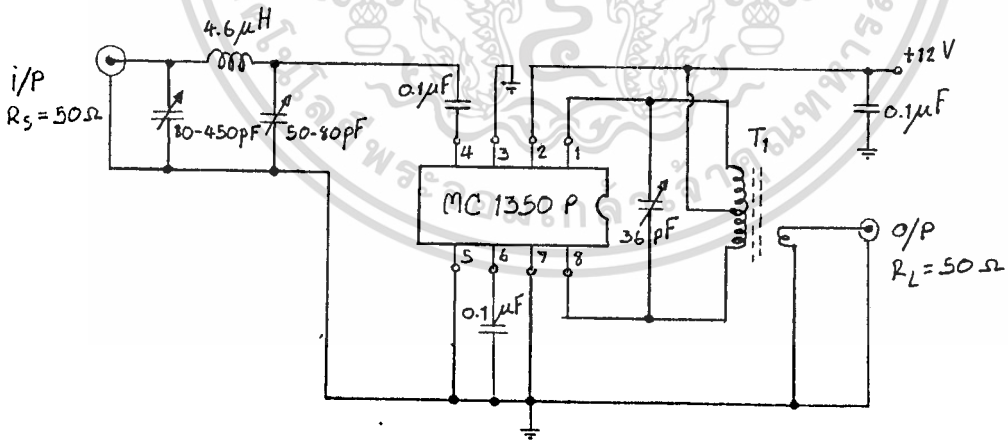
Core = Carbonyl E or J

Secondary winding = 1-1/2 turns #36 AWG, 1.4" dia.

(wound over center-tap)

รูปที่ 3.7 วงจร IF Amp จากตาต้าของไอซี

วงจรที่ได้จะเป็นดังรูปที่ 3.8

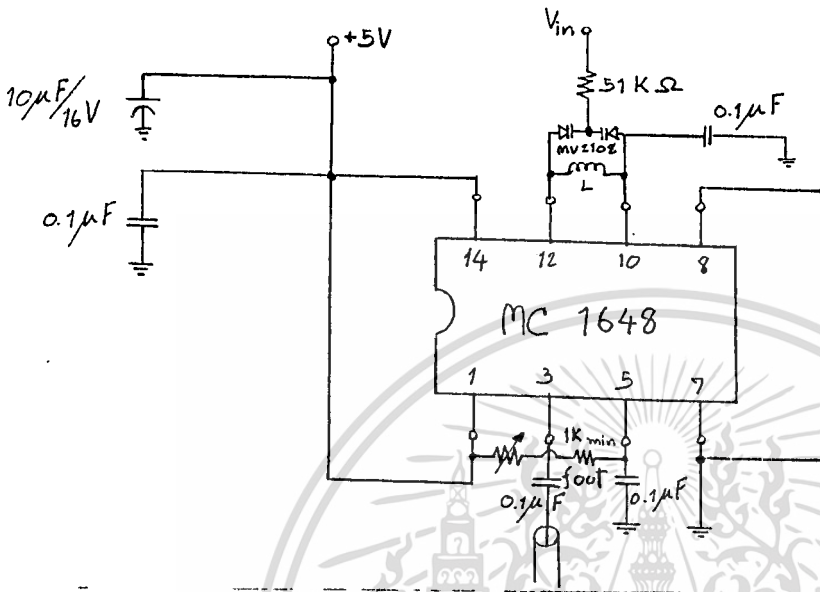


รูปที่ 3.8 แสดงวงจร IF Amp ที่สร้างขึ้น

เอกสารนี้เป็นเอกสารที่สงวนไว้สำหรับการใช้งานเพื่อการศึกษาเท่านั้น ไม่อนุญาตให้นำไปใช้ประโยชน์ด้านการค้า  
ไม่ว่ากรณีใดๆทั้งสิ้น อีกทั้งห้ามมิให้ดัดแปลงเนื้อหา และต้องอ้างอิงถึงเจ้าของเอกสารทุกครั้งที่มีการนำไปใช้

3.7 วงจร VCO กำเนิดสัญญาณรูปคลื่นสี่เหลี่ยม 21.4 MHz

วงจรเป็นดังรูปที่ 3.9



รูปที่ 3.9 วงจร VCO กำเนิดสัญญาณรูปคลื่นสี่เหลี่ยม

ตัววาริแคป MV2108 มีค่า C ที่อินพุทโวลเตจต่างๆเมื่อทำการรีเวิร์สไบแอส ดังนี้

$V_{in}$ (V)	ค่า C ของ MV2108 ตัวที่ 1 (pF)	ค่า C ของ MV2108 ตัวที่ 2 (pF)	ค่า C รวม (pF)
1	49.6	44.3	23.51
2	36.8	34.7	17.86
3	31.8	29.0	15.17
4	28.3	26.2	13.60
5	25.9	23.9	12.43
6	24.1	22.0	11.50
7	22.5	20.8	10.81
8	21.3	19.7	10.23
9	20.4	18.7	9.76
10	19.3	17.9	9.29

ดังนั้นในวงจรของ VCO จึงเลือกใช้วาริแคป MV2108 ทั้ง 2 ตัวที่  $V_{in} = 3V$  ซึ่งมีค่า C รวมเป็น 15.17 pF ใดๆทั้งสิ้น อีกทั้งห้ามมิให้ดัดแปลงเนื้อหา และต้องอ้างอิงถึงเจ้าของเอกสารทุกครั้งที่มีการนำไปใช้

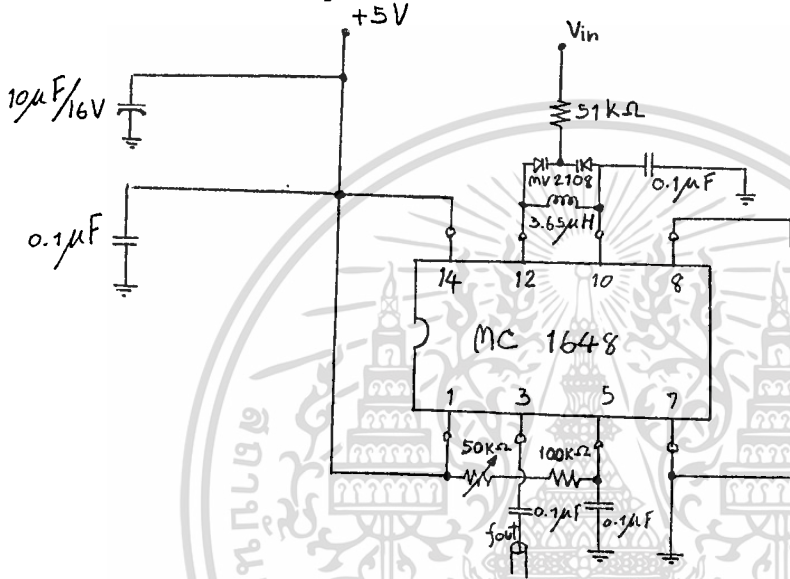
จาก  $F = 1/2\pi\sqrt{LC}$

$L = 1/(2\pi f)^2 C$

กำหนด  $f_{osc} = 21.4 \text{ MHz}$

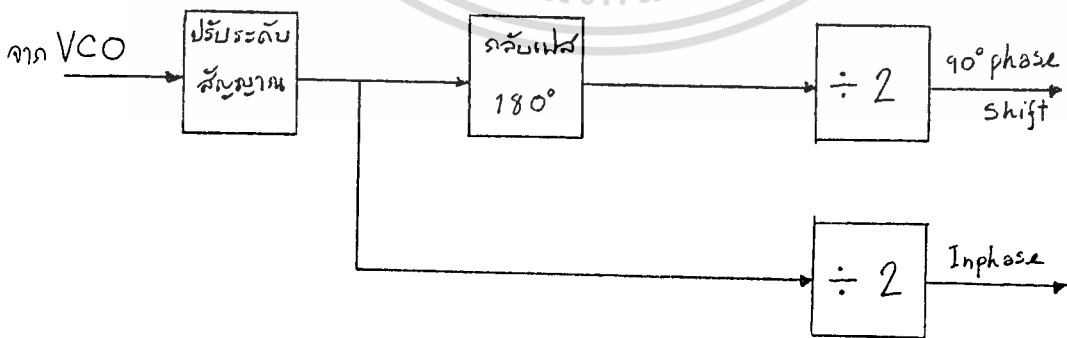
ดังนั้น  $L = 3.65 \text{ ไมโครเฮนรี่}$

จะได้ VCO เป็นวงจรดังรูปที่ 3.10



รูปที่ 3.10 วงจร VCO กำเนิดสัญญาณรูปคลื่นสี่เหลี่ยม 21.4 MHz ที่สร้างขึ้นมา

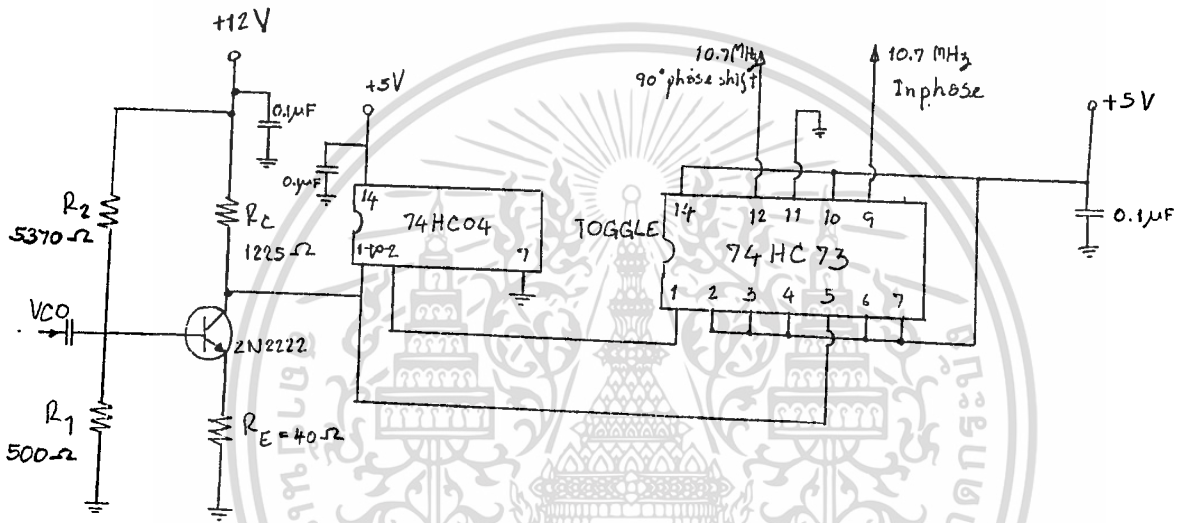
3.8 วงจรชิฟท์เฟสของสัญญาณไป 90°



รูปที่ 3.11 แสดงขั้นตอนการชิฟท์เฟสของสัญญาณไป 90°

เอกสารนี้เป็นเอกสารที่สงวนไว้สำหรับการใช้งานเพื่อการศึกษาเท่านั้น ไม่อนุญาตให้นำไปใช้ประโยชน์ด้านการค้า  
ไม่ว่าการรีผลิตสัญญาณรูปคลื่นสี่เหลี่ยม (Square Wave) ความถี่ 21.4MHz จาก VCO จะถูกนำมาไบแอส

ใหม่โดยใช้ทรานซิสเตอร์ เพื่อให้สัญญาณมีระดับ "High" และ "Low" ที่เหมาะสมกับไอซี CMOS (74HC04 และ 74HC73) นำสัญญาณที่ไบแอสใหม่แล้วนี้ไปเข้าวงจรหารสอง ซึ่งใช้ J-K ฟลิปฟลอปในโหมดทอกเกิ้ล (TOGGLE) จะได้เอาท์พุทเป็นสัญญาณความถี่ 10.7 MHz ในขณะที่เดียวกันนั้นนำสัญญาณที่ไบแอสใหม่แล้วนี้ไปเข้าวงจรกลับเฟส (inverter) โดยใช้ไอซี 74HC04 จากนั้นนำสัญญาณที่ได้นี้ไปเข้าวงจรหารสอง เอาท์พุทก็จะเป็นสัญญาณความถี่ 10.7 MHz ที่มีเฟสต่างจากสัญญาณที่ได้ในตอนแรกอยู่  $90^\circ$  ดังนั้นวงจรที่จะสร้างจึงเป็นดังรูปที่ 3.12



รูปที่ 3.12 วงจรเฟสชิฟเตอร์  $90^\circ$

### 3.9 วงจรลูบแอมป์และลูบฟิลเตอร์

กำหนดสัญญาณ BPSK 10.7 MHz มีระดับสัญญาณเข้าเป็น 100 mV (rms) อัตราเร็วของการส่งข้อมูลเป็น 1.544 Mb/s และการซิงค์ต้องสำเร็จในเวลา 10 คาบของบิต

จากรูปที่ 2.19 ลูปจะเข้าที่ใน 5% ที่  $w_n t = 4.5$

10 คาบของบิต เท่ากับ 69.3 แคนเรียร์ไซเคิล

$$w_n = 4.5/t$$

$$t = 69.3 / (1/10.7 * 10^{-6}) = 6.4767 \mu s$$

$$w_n = 4.5 / (6.4767 * 10^{-6}) = 694798.27$$

$$f_n = w_n / 2\pi$$

เอกสารนี้เป็นเอกสารที่สงวนไว้สำหรับการใช้งานเพื่อการศึกษาเท่านั้น ไม่อนุญาตให้นำไปใช้ประโยชน์ด้านการค้า

ไม่ว่ากรณีใดๆทั้งสิ้น อีกทั้งห้ามมิให้ดัดแปลงเนื้อหา และต้องอ้างอิงถึงเจ้าของเอกสารทุกครั้งที่มีการนำไปใช้

จาก VCO  $K_o = 9.30 * 10^{-6} \text{ rad/s-V}$

$$K_u = A^2 K_m / 4 = (0.1)^2 K_m / 4 = 0.0025 K_m$$

จาก  $\delta = \frac{\omega_n \tau}{2}$

$$\tau = \frac{2\delta}{\omega_n}$$

$$R_2 = \frac{\tau_2}{C} = \frac{2\delta}{\omega_n C}$$

กำหนด  $C = 3300 \text{ pF}$

$$R_2 = 2 * 0.8 / (694798.27 * 3300 * 10^{-12}) = 6.978 \text{ กิโลโอห์ม}$$

จาก  $\tau_1 = \frac{K_o K_d}{\omega_n^2}$

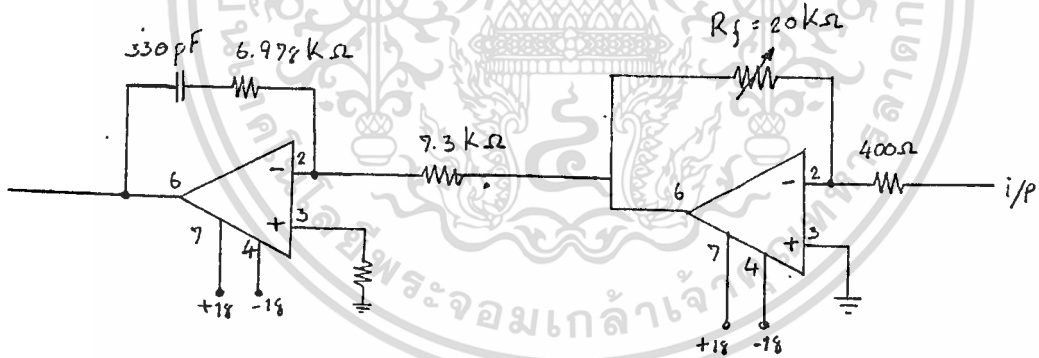
กำหนด  $K_m = 50$

$$\tau = 2.41 * 10^{-6}$$

ดังนั้น  $R_1 = \frac{\tau_1}{C} = 7.30 \text{ กิโลโอห์ม}$

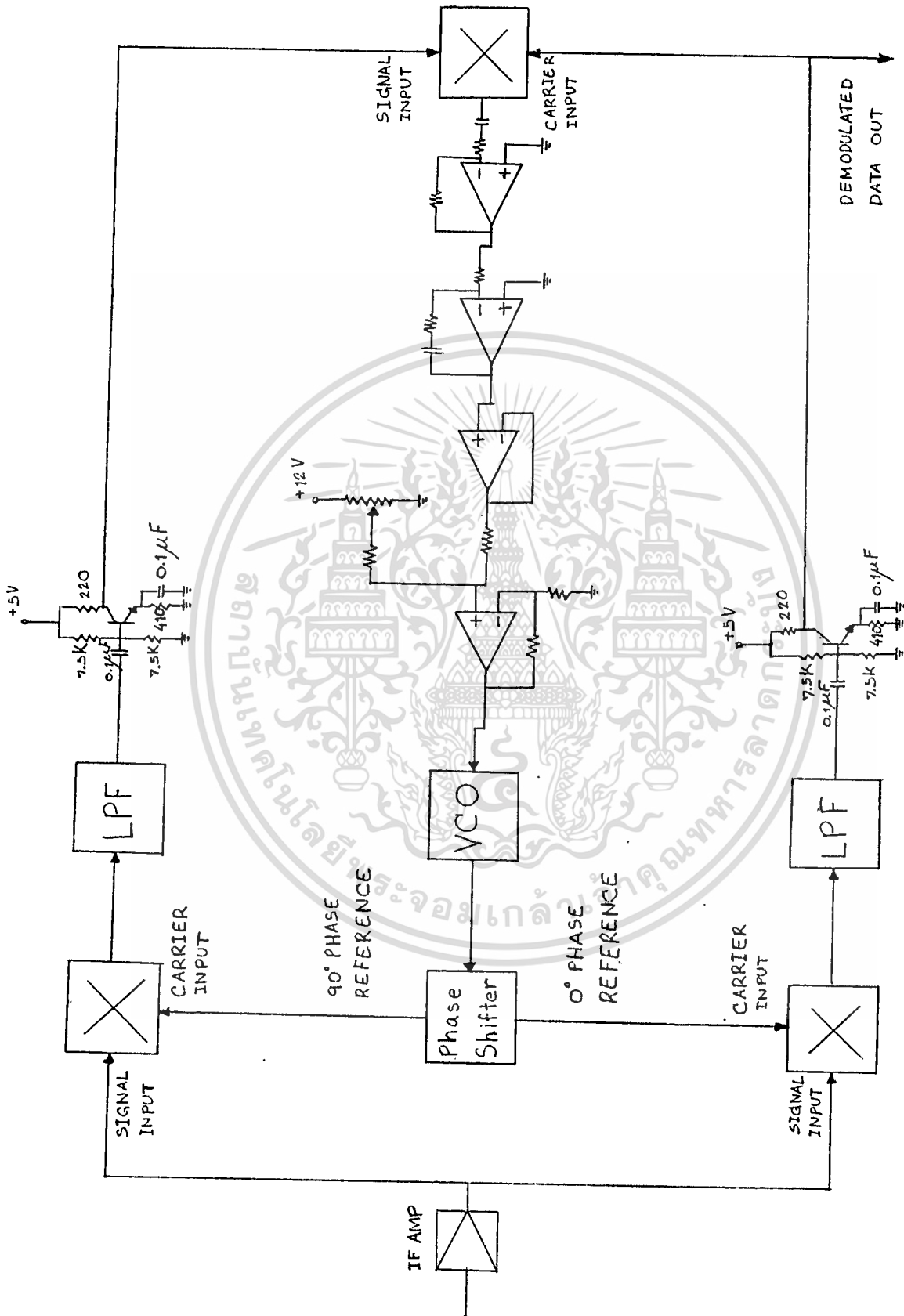
สำหรับวงจรถูบแอมป์ ให้มี  $R_1 / R_{1n} = 50$  ก็จะได้วงจรถูบแอมป์กับลูบฟิลเตอร์ เป็นดังรูปที่

3.13



รูปที่ 3.13 วงจรถูบฟิลเตอร์และลูบแอมป์

เอกสารนี้เป็นเอกสารที่สงวนไว้สำหรับการใช้งานเพื่อการศึกษาเท่านั้น ไม่อนุญาตให้นำไปใช้ประโยชน์ด้านการค้า  
ไม่ว่ากรณีใดๆทั้งสิ้น อีกทั้งห้ามมิให้ดัดแปลงเนื้อหา และต้องอ้างอิงถึงเจ้าของเอกสารทุกครั้งที่มีการนำไปใช้



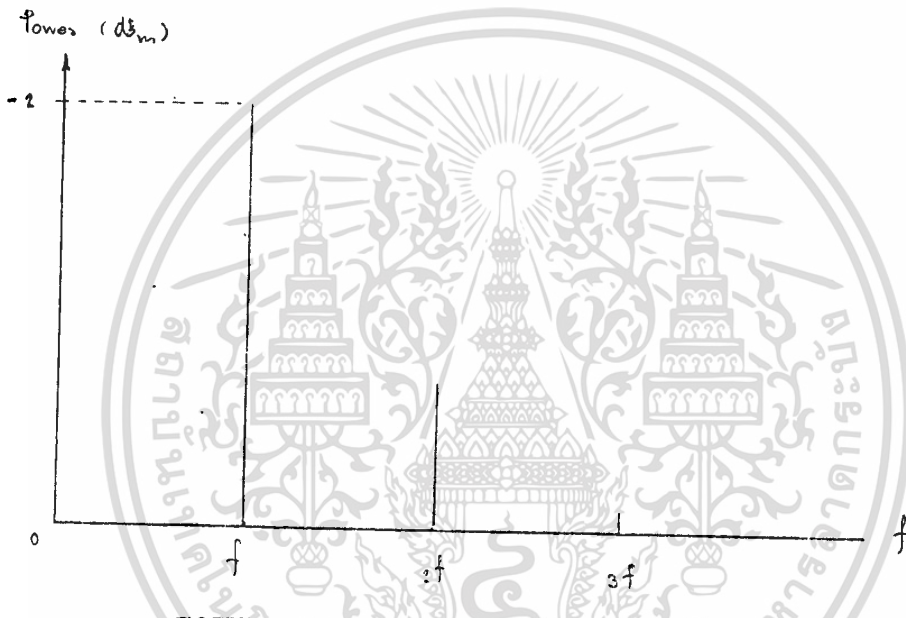
เอกสารนี้เป็นเอกสารที่สงวนไว้สำหรับการใช้งานเพื่อการศึกษาเท่านั้น ไม่อนุญาตให้นำไปใช้ประโยชน์ด้านการค้า  
 ไม่ว่าจะกรณีใดๆ <sup>รูปที่ 3.14</sup> วงจรคอสตแอสคูป ทางด้านเครื่องรับ ถึงเจ้าของเอกสารทุกครั้งที่มีการนำไปใช้

## บทที่ 4

### การทดลองและผลการทดลอง

#### 4.1 วงจรกำเนิดสัญญาณไซน์เวฟ

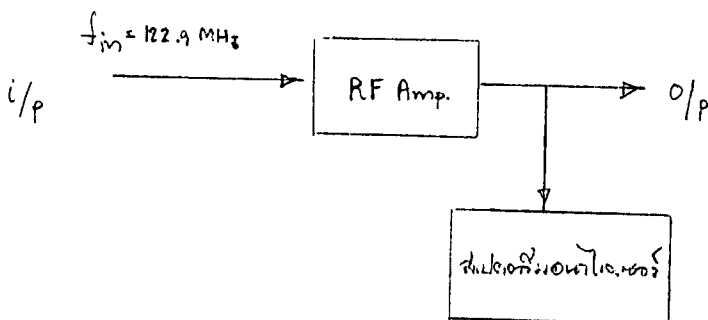
เมื่อทดลองบ่อนไฟเลี้ยงให้กับวงจรในรูปที่ 3.1 แล้วใช้สเปคตรัมอนาไลเซอร์จับที่  
เข้าที่พุก จะได้ผลการทดลองเป็นดังรูปที่ 4.1



รูปที่ 4.1 สเปคตรัมของ Osc.

#### 4.2 วงจรขยายสัญญาณย่าน RF

เมื่อทำการทดลองโดยบ่อนสัญญาณความถี่ 122.9 MHz ที่ระดับต่าง ๆ กัน และวัดระดับของ  
สัญญาณเข้าที่พุกจาก RF Amp. โดยใช้สเปคตรัมอนาไลเซอร์ ดังรูปที่ 4.2

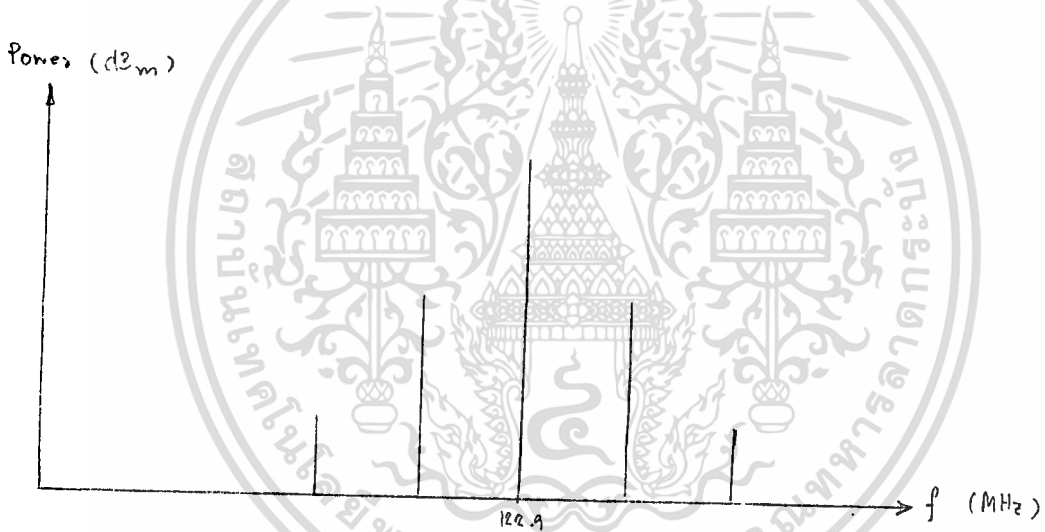


เอกสารนี้เป็นเอกสารที่สงวนไว้สำหรับการใช้งานเพื่อการศึกษาเท่านั้น ไม่อนุญาตให้นำไปใช้ประโยชน์ด้านการค้า  
รูปที่ 4.2 การทดลองหาเกนของ RF Amp

ผลการทดลอง

ระดับสัญญาณอินพุท (dB <sub>m</sub> )	ระดับสัญญาณเอาต์พุท (dB <sub>m</sub> )
-60	-49
-50	-39
-40	-29
-30	-19.5
-20	-9.5
-10	-9.5

สเปกตรัมของสัญญาณเอาต์พุทเป็นดังรูปที่ 4.3

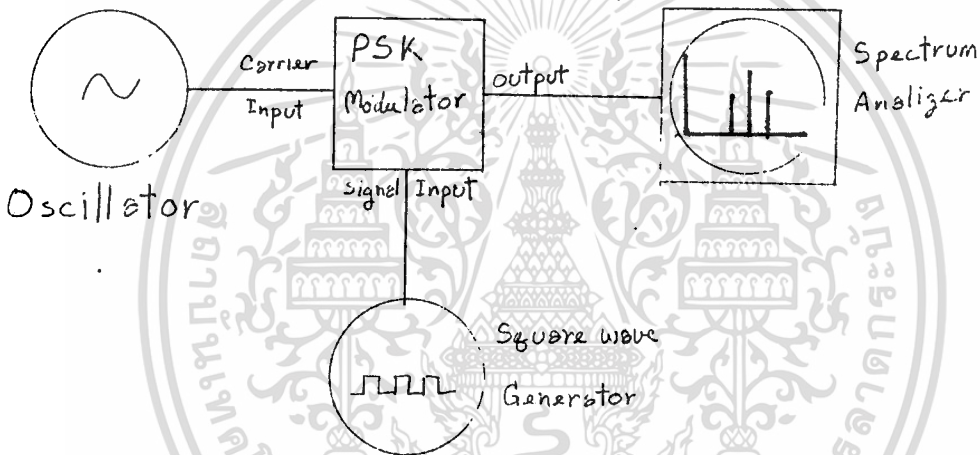


รูปที่ 4.3 สเปกตรัมของเอาต์พุทจาก RF Amp

เอกสารนี้เป็นเอกสารที่สงวนไว้สำหรับการใช้งานเพื่อการศึกษาเท่านั้น ไม่อนุญาตให้นำไปใช้ประโยชน์ด้านการค้า  
ไม่ว่ากรณีใดๆทั้งสิ้น อีกทั้งห้ามมิให้ดัดแปลงเนื้อหา และต้องอ้างอิงถึงเจ้าของเอกสารทุกครั้งที่มีการนำไปใช้

#### 4.3 การทดลองหาค่าความสูญเสียพลังงานของวงจรเฟสซิงค์ด้วยมอดูเลเตอร์

ป้อนสัญญาณคลื่นพาหะเข้าทางพอร์ทแคร์ เรียกรับเข้าทางพอร์ท ซิงแนลและสัญญาณ เอาท์พุทออกทางพอร์ทเอาท์พุท นำสัญญาณเอาท์พุทเข้า สเปคตรัม แอนาไลเซอร์ (spectrum analyzer) โดยกำหนดให้ สัญญาณคลื่นสี่เหลี่ยม มีความถี่คงที่ ที่ 1.5 MHz แล้วให้ค่าความถี่ของคลื่นพาหะเปลี่ยนแปลงจาก 98 MHz ถึง 148 MHz โดย เพิ่มทีละ 5 MHz จดบันทึกค่าระดับสัญญาณที่ได้ ของแต่ละความถี่ โดยให้สัญญาณคลื่นพาหะมี ระดับสัญญาณเท่ากับ ๒ dB<sub>m</sub>

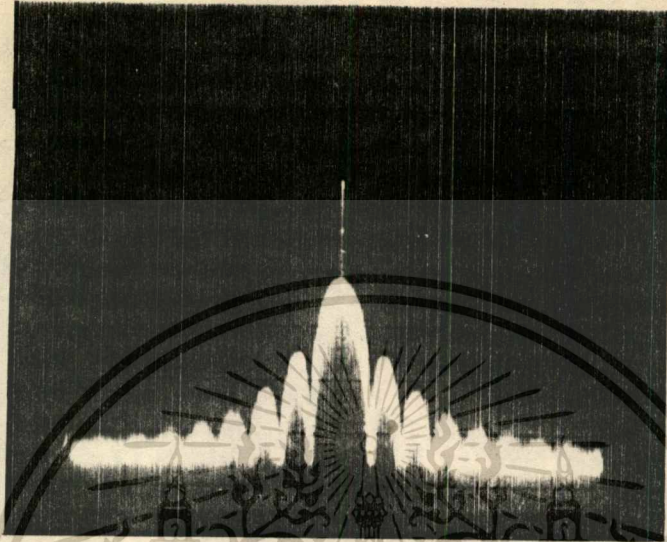


รูปที่ 4.4 การต่ออุปกรณ์ในการทดลอง

#### ผลการทดลอง

ความถี่ (MHz)	98	103	108	113	118	123	128	133	138	143	148
ระดับสัญญาณ (dB <sub>m</sub> )	-8	-8	-8	-7	-7	-7	-7	-8	-8	-8	-8

เอกสารนี้เป็นเอกสารที่สงวนไว้สำหรับการใช้งานเพื่อการศึกษาเท่านั้น ไม่อนุญาตให้นำไปใช้ประโยชน์ด้านการค้า ไม่ว่าจะกรณีใดๆทั้งสิ้น อีกทั้งห้ามมิให้ดัดแปลงเนื้อหา และต้องอ้างอิงถึงเจ้าของเอกสารทุกครั้งที่มีการนำไปใช้



รูปที่ 4.5 พาวเวอร์สเปกตรัม (Power Spectrum) ของสัญญาณ BPSK

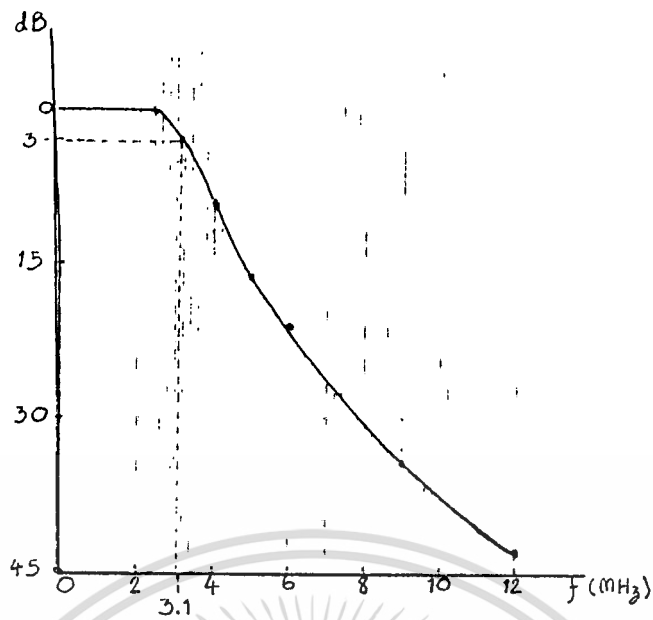
#### 4.4 การทดลองหาค่าสัมบัติของวงจรโวลท์ฟิลเตอร์

ป้อนสัญญาณโดยใช้สวิตช์ป้อนจูนเนอร์ (Sweeping Generator) เข้าวงจรฟิลเตอร์ แล้วนำสัญญาณจากเอาต์พุตไปเข้าเครื่องสเปกตรัมแอนาไลเซอร์ สังเกตพาวเวอร์สเปกตรัมของสัญญาณ บันทึกผล

ผลการทดลอง

ความถี่ (MHz)	การลดทอน (dB)
0-2.38	0
3.1	3
4	9
5	16
6	21

เอกสารนี้เป็นเอกสารที่สงวนไว้สำหรับการใช้งานเพื่อการศึกษาเท่านั้น ใน 34 สัญชาติให้เข้าไปใช้ประโยชน์ด้านการค้า  
ไม่ว่ากรณีใดๆทั้งสิ้น อี 12 ห้ามมิให้ตัดแปลงเนื้อหา และต้องอ้างอิงถึง 43 ของเอกสารทุกครั้งที่มีการนำไปใช้



รูปที่ 4.6 คุณสมบัติของวงจรโลว์พาสฟิลเตอร์

#### 4.5 การทดลองหาอัตราขยายของ IF Amp.

ก่อนสัญญาณ BPSK ที่ความถี่ 10.7 MHz เข้า IF Amp. ด้วยระดับของอินพุตต่างกัน จากน้อยไปมาก แล้วทำการบันทึกผลของระดับสัญญาณเอาต์พุต โดยใช้สเปคโตรมอเนไลเซอร์

ผลการทดลอง

ระดับของสัญญาณอินพุต (dB <sub>m</sub> )	ระดับของสัญญาณเอาต์พุต (dB <sub>m</sub> )
-90	-54
-80	-44
-70	-34
-60	-24
-50	-14
-40	-4
-37	-2
-36	-2
-35	-2

จะเห็นว่า IF Amp. นี้มีเกน 36 dB<sub>m</sub> ที่ระดับอินพุต -90 ถึง -37 dB<sub>m</sub> เมื่อระดับอินพุตมาก เอกสารนี้เป็นเอกสารที่สงวนไว้สำหรับการใช้งานเพื่อการศึกษาเท่านั้น มิอนุญาตให้นำไปใช้ประโยชน์ทางการค้า  
 ภาควิชาวิศวกรรมโทรคมนาคม วิทยาลัยเทคนิคสุพรรณบุรี

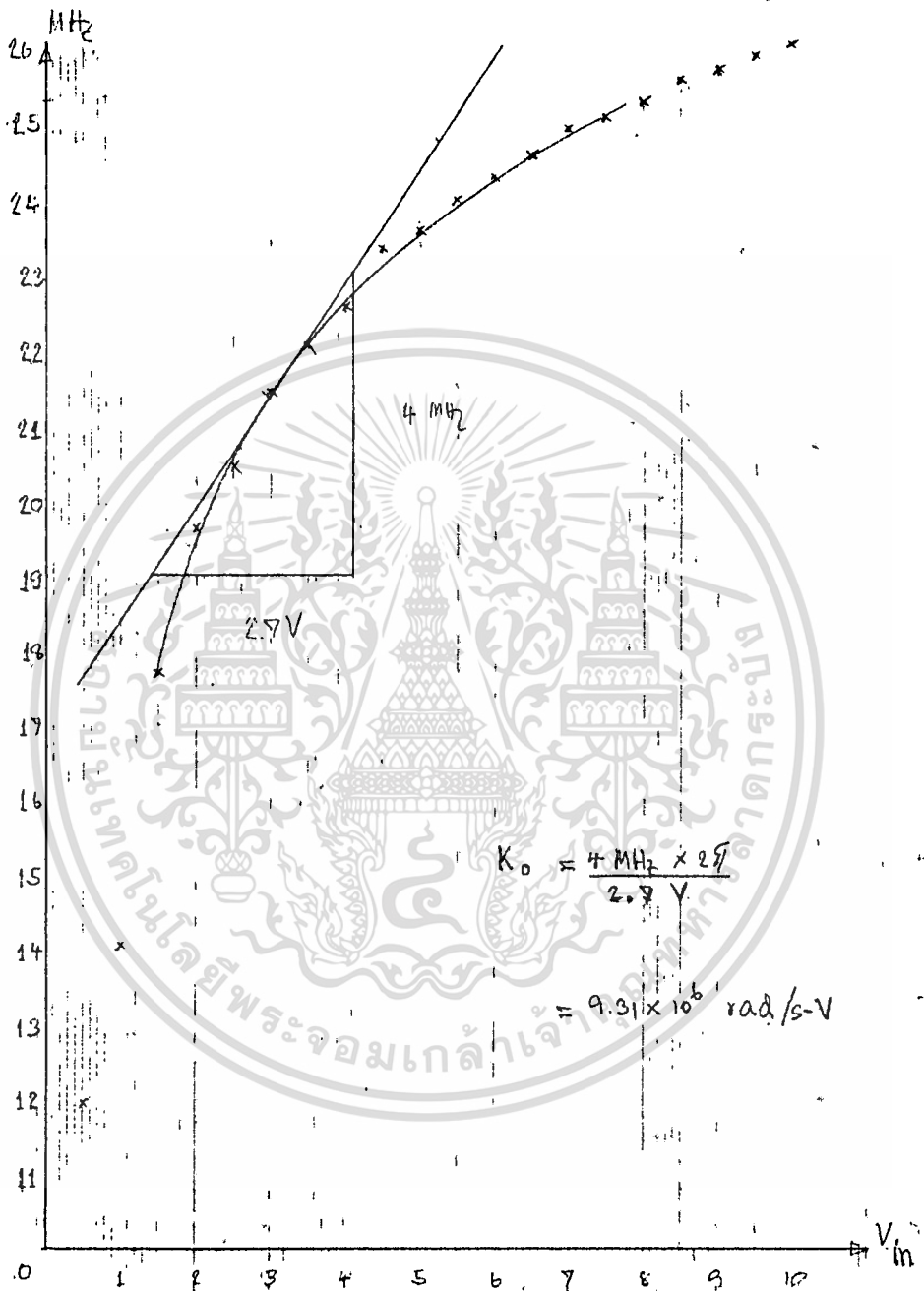
#### 4.6 การทดลองวงจร VCO

ทดลองป้อน  $V_{in}$  ค่าต่างๆ แล้วบันทึกความถี่เอาต์พุต  $f_{out}$  ที่ค่า  $V_{in}$  นั้นๆ จากนั้นนำผลไปเขียนกราฟความสัมพันธ์ระหว่าง  $V_{in}$  กับ  $f_{out}$

#### ผลการทดลอง

$V_{in}$ (V)	$f_{out}$ (MHz)
1.0	14.09
1.5	17.70
2.0	19.60
2.5	20.4143
3.0	21.414
3.5	22.009
4.0	22.66
4.5	23.33
5.0	23.5287
5.5	23.9575
6.0	24.2708
6.5	24.5706
7.0	24.9
7.5	25.06
8.0	25.2338
8.5	25.5160
9.0	25.8792
9.5	25.89
10.0	26.0

เอกสารนี้เป็นเอกสารที่สงวนไว้สำหรับการใช้งานเพื่อการศึกษาเท่านั้น ไม่อนุญาตให้นำไปใช้ประโยชน์ด้านการค้า  
 ไม่เขียนกราฟได้ดังรูปที่ 4.7 มิฉะนั้นให้ตัดแปลงเนื้อหา และต้องอ้างอิงถึงเจ้าของเอกสารทุกครั้งที่มีการนำไปใช้

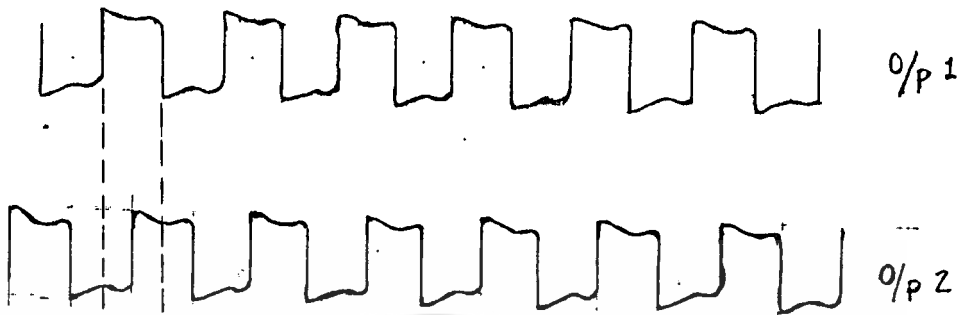


รูปที่ 4.7 กราฟแสดงความสัมพันธ์ระหว่าง  $f_{osc}$  กับ  $V_{in}$

#### 4.7 การทดลองเฟสล็อกที่ $90^\circ$

เมื่อป้อนสัญญาณรูปคลื่นสี่เหลี่ยม ความถี่ 21.4 MHz จาก VCO ให้กับวงจรในรูปที่

3.11 จะ ได้ผลดังรูปที่ 4.8  
 เอกลักษณ์นี้เป็นลิขสิทธิ์ของสถาบันพระจอมเกล้าเจ้าพระยาเพื่อการใช้งานเพื่อการศึกษาเท่านั้น ไม่นุญาตให้นำไปใช้ประโยชน์ด้านการค้า  
 ไม่ว่ากรณีใดๆทั้งสิ้น อีกทั้งห้ามมิให้ดัดแปลงเนื้อหา และต้องอ้างอิงถึงเจ้าของเอกสารทุกครั้งที่มีการนำไปใช้



รูปที่ 4.8 แสดงการเปรียบเทียบเฟสของสัญญาณเอ้าท์พุท 2 ตัว



เอกสารนี้เป็นเอกสารที่สงวนไว้สำหรับการใช้งานเพื่อการศึกษาเท่านั้น ไม่อนุญาตให้นำไปใช้ประโยชน์ด้านการค้า  
ไม่ว่ากรณีใดๆทั้งสิ้น อีกทั้งห้ามมิให้ดัดแปลงเนื้อหา และต้องอ้างอิงถึงเจ้าของเอกสารทุกครั้งที่มีการนำไปใช้

## บทที่ 5

### บทวิจารณ์และสรุป

จากการศึกษา ออกแบบ และทดลองสร้างส่วนต่างๆ ของระบบดิจิทัลไมโครเวฟขึ้นมา เพื่อทดสอบระบบตามแนวความคิดที่ได้ออกแบบไว้ พอจะสรุปได้ดังนี้

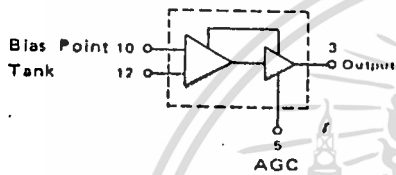
ทางด้านเครื่องส่ง วงจรต่างๆ ทางด้านเครื่องส่งของระบบสามารถที่จะออกแบบ สร้าง ทำการทดลอง และปรับปรุงจนให้ผลเป็นที่น่าพอใจ สำหรับปัญหาและอุปสรรคต่างๆ ที่พบในการสร้างเครื่องส่ง ได้แก่ วงจรกำเนิดสัญญาณไซน์เวฟที่ในตอนแรกใช้ทรานซิสเตอร์ แต่พบกับปัญหาเรื่องเสถียรภาพของความถี่ และเอาท์พุทพาวเวอร์ต่ำ จึงได้เปลี่ยนมาใช้ ไอซี MC 1648 ซึ่งเป็นอุปกรณ์ที่มีความแน่นอนสูง และให้เอาท์พุทพาวเวอร์มากกว่า ก็สามารถแก้ปัญหานี้ไปได้ ในส่วนของการสร้าง BPSK มีมอดูเลเตอร์ จะมีอุปสรรคเกี่ยวกับการทำให้มอดูเลเตอร์สมมาตรกันทั้งสองซีกและการสูญเสียของตัวมอดูเลเตอร์มีมาก จึงได้เปลี่ยนมาใช้ ไดโอดที่มีคุณภาพดี และพันขดลวดบนแกนทอรอยด์ให้สมมาตรกันโดยการให้ขดลวดตีเกลียวกันไป ทำให้การสูญเสียน้อยลงไปมาก สำหรับวงจรขยายสัญญาณย่าน RF นั้นตอนแรกมีเกนต่ำ จึงทำการปรับอิมพีแดนซ์แม็ทซ์ซึ่งทางด้านอินพุทและเอาท์พุท ทำให้มีเกนเพิ่มขึ้น แต่ผลอันนี้ยังไม่ดีนัก เมื่อประกอบทุก ๆ ส่วนของเครื่องส่งและทำการทดลองส่งที่ความถี่ไมโครเวฟได้ผลดีพอสมควร

ทางด้านเครื่องรับ วงจรขยายสัญญาณย่าน IF ยังมีเกนไม่มากนัก วงจรด้านเครื่องรับมีปัญหาเกี่ยวกับสัญญาณรบกวนมาก จะต้องกำจัดสัญญาณรบกวนนี้ออกไปให้มากที่สุดเพื่อให้ระบบดีขึ้น การซินโครไนเซชันของพาหะเป็นปัญหาใหญ่ของเครื่องรับ เนื่องจากเป็นลูปใหญ่มีวงจรหลายวงจรประกอบกันอยู่ การที่จะทำให้ลูปเข้าล็อกจึงเป็นเรื่องไม่่ง่ายนักเพราะ วงจรทุกวงจรในลูปจะต้องทำงานสอดคล้องกัน มิกซ์เซอร์ที่อยู่ในลูปทั้งสามตัวจะต้องมีระดับสัญญาณของอินพุททั้งสองตัวพอเหมาะจึงจะทำงานได้ดี VCO ที่ทดลองสร้างขึ้นมานั้นมีค่า  $K_o$  ค่อนข้างสูงและเสถียรภาพของความถี่พอใช้ได้ วงจรซิฟท์เฟส  $90^\circ$  ที่ออกแบบสามารถทำงานได้ดีเห็นที่ที่น่าพอใจ สำหรับลูปีลเตอร์ยังทำงานได้ไม่ดีนัก ทำให้เครื่องรับทำงานได้ไม่ดีเท่าที่ควร คือยังมีความผิดพลาดเกิดขึ้นมาก

ผู้จัดทำหวังว่าปริญญาบัตรนี้คงเป็นประโยชน์ไม่มากนักน้อยสำหรับการพัฒนาโครงการเรื่องดิจิทัลไมโครเวฟต่อไป ไว้สำหรับแนวทางในการพัฒนาผู้จัดทำเห็นว่าควรจะต้องทดลองกับข้อมูลที่มีความเร็วของการส่งต่ำๆ ให้ได้ผลดีก่อนแล้วจึงค่อยพัฒนาต่อไป

# MC1648/MC1648M

## VOLTAGE CONTROLLED OSCILLATOR



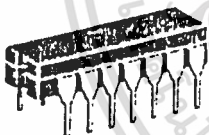
- Input Capacitance = 6 pF typ
- Maximum Series Resistance for L (External Inductance) = 50 Ω typ
- Power Dissipation = 150 mW typ/pin (+5.0 Vdc Supply)
- Maximum Output Frequency = 225 MHz typ

The MC1648 requires an external parallel tank circuit consisting of the inductor (L) and capacitor (C).

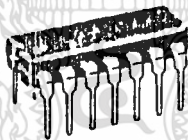
A varactor diode may be incorporated into the tank circuit to provide a voltage variable input for the oscillator (VCO). The MC1648 was designed for use in the Motorola Phase Locked Loop shown in Figure 9. This device may also be used in many other applications requiring a fixed or variable frequency clock source of high spectral purity. (See Figure 2.)

The MC1648 may be operated from a +5.0 Vdc supply or a -5.2 Vdc supply, depending upon system requirements.

Supply Voltage	Gnd Pins	Supply Pins
+5.0 Vdc	7, 8	1, 14
-5.2 Vdc	1, 14	7, 8



L SUFFIX  
CERAMIC PACKAGE  
CASE 632

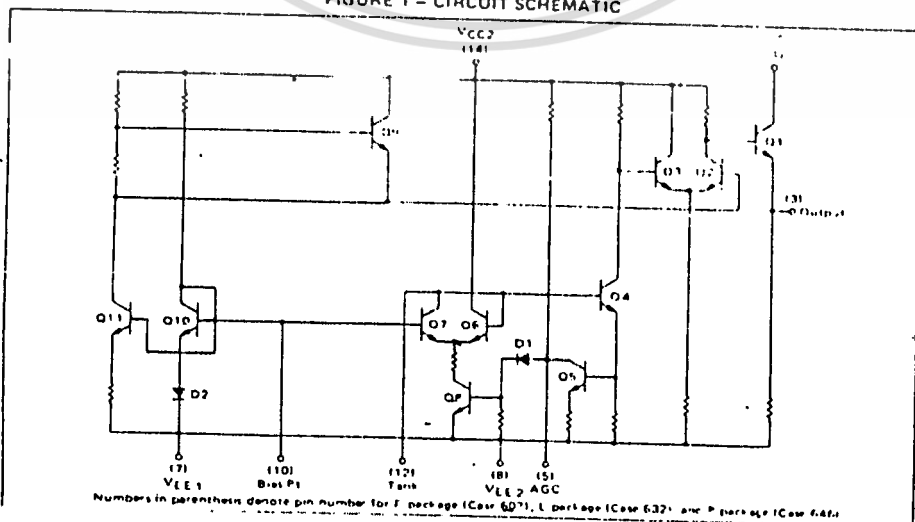


P SUFFIX  
PLASTIC PACKAGE  
CASE 646



F SUFFIX  
CERAMIC PACKAGE  
CASE 607

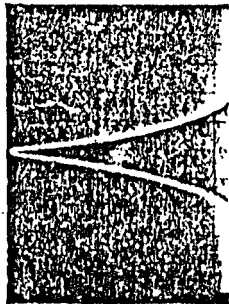
FIGURE 1 - CIRCUIT SCHEMATIC



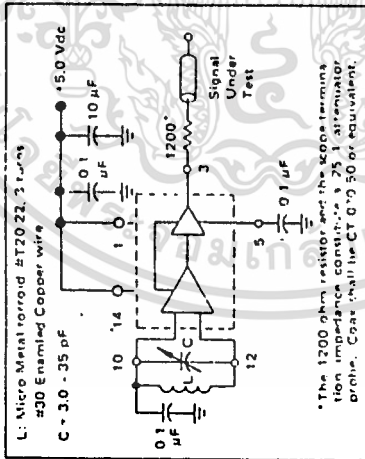
Numbers in parenthesis denote pin number for L package (Case 632), F package (Case 607), and P package (Case 646).

เอกสารนี้เป็นเอกสารที่สงวนไว้สำหรับการใช้งานเพื่อการศึกษาเท่านั้น ไม่นุญาตให้นำไปใช้ประโยชน์ด้านการค้า  
ไม่ว่ากรณีใดๆทั้งสิ้น อีกทั้งห้ามมิให้ดัดแปลงเนื้อหา และต้องอ้างอิงถึงเจ้าของเอกสารทุกครั้งที่มีการนำไปใช้

FIGURE 2 - SPECTRAL PURITY OF SIGNAL AT OUTPUT



B.W. - 10 kHz  
 Center Frequency - 100 MHz  
 Scan Width - 50 kHz/div  
 Vertical Scale - 10 dB/div



TEST VOLTAGE/CURRENT VALUES			
	(Volts)		
	V <sub>IHmax</sub>	V <sub>ILmin</sub>	V <sub>CC</sub>
MC1648	+2.00	+1.50	5.0
	+1.85	+1.35	5.0
	+1.70	+1.20	5.0
MC1648M	+2.07	+1.57	5.0
	+1.85	+1.35	5.0
	+1.60	+1.10	5.0

ELECTRICAL CHARACTERISTICS

Supply Voltage  $V_{CC}$  +5.0 Volts

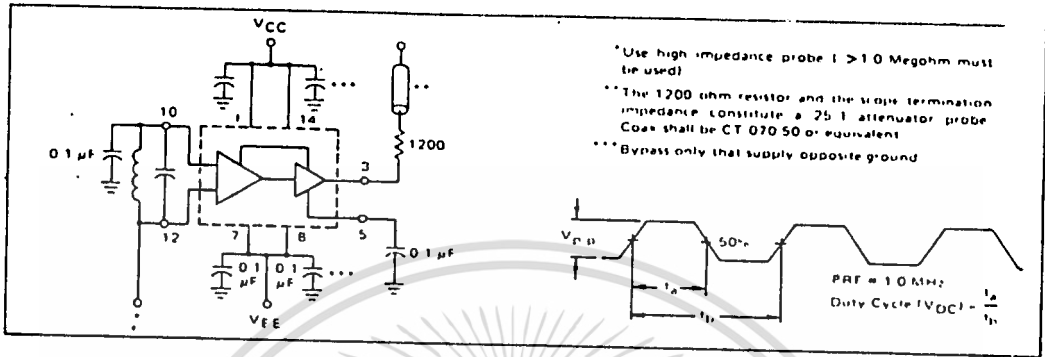
Characteristic	Symbol	-55°C		-30°C		+25°C		+85°C		+125°C		Unit	Conditions
		Min	Max	Min	Max	Min	Max	Min	Max	Min	Max		
Power Supply Drain Current	I <sub>q</sub>	-	-	-	-	4.1	-	-	-	-	-	mAdc	Inputs and outputs open.
Logic "1" Output Voltage	V <sub>OH</sub>	3.92	4.13	3.255	4.185	4.04	4.25	4.11	4.36	4.16	4.40	Vdc	V <sub>ILmin</sub> to Pin 12, I <sub>L</sub> @ Pin 3.
Logic "0" Output Voltage	V <sub>OL</sub>	3.13	3.38	3.10	3.40	3.20	3.43	3.22	3.475	3.23	3.51	Vdc	V <sub>IHmax</sub> to Pin 12, I <sub>L</sub> @ Pin 3.
Bias Voltage	V <sub>Bias</sub> *	1.67	1.97	1.65	1.90	1.45	1.75	1.30	1.60	1.20	1.50	Vdc	V <sub>ILmin</sub> to Pin 12.
Prog.-to-Prob. Tank Voltage	V <sub>TP</sub>	-	-	-	-	-	-	-	-	-	-	mV	
Output Duty Cycle	V <sub>DC</sub>	-	-	-	-	50	-	-	-	-	-	%	See Figure 3.
Oscillation Frequency	f <sub>max</sub> **	225	-	225	-	200	225	-	225	-	225	MHz	

\* This measurement guarantees the dc potential at the bias point - regardless of incorporating a varactor tuning diode at this point.

\*\* Frequency variation over temperature is a direct function of the  $\Delta T/\Delta$  Temperature and  $\Delta L/\Delta$  Temperature.

MC1648/MC1648M

FIGURE 3 - TEST CIRCUIT AND WAVEFORMS



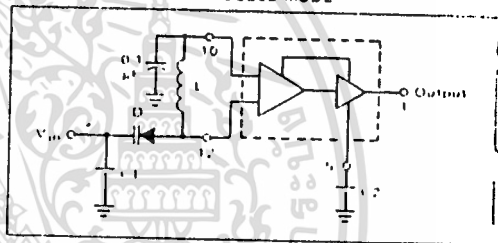
OPERATING CHARACTERISTICS

Figure 1 illustrates the circuit schematic for the MC1648. The oscillator incorporates positive feedback by coupling the base of transistor Q6 to the collector of Q7. An automatic gain control (AGC) is incorporated to limit the current through the emitter-coupled pair of transistors (Q7 and Q6) and allow optimum frequency response of the oscillator.

In order to maintain the high Q of the oscillator, and provide high spectral purity at the output, transistor Q4 is used to translate the oscillator signal to the output differential pair Q2 and Q3. Q2 and Q3, in conjunction with output transistor Q1, provides a highly buffered output which produces a square wave. Transistors Q9 and Q11 provide the bias drive for the oscillator and output buffer. Figure 2 indicates the high spectral purity of the oscillator output (pin 3).

When operating the oscillator in the voltage controlled mode (Figure 4), it should be noted that

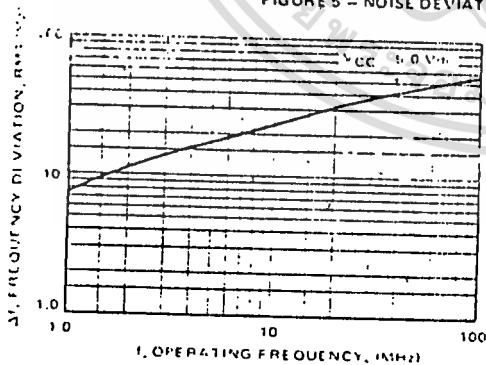
FIGURE 4 - THE MC1648 OPERATING IN THE VOLTAGE CONTROLLED MODE



the cathode of the varactor diode (D) should be biased at least 2 V<sub>BE</sub> above V<sub>EE</sub> (≈ 1.4 V for positive supply operation).

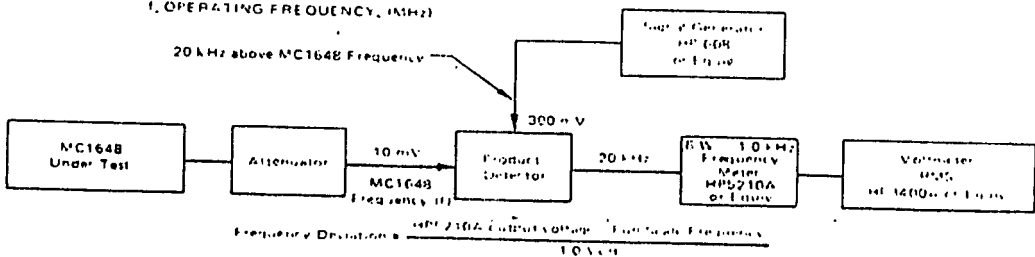
When the MC1648 is used with a constant dc voltage to the varactor diode, the output frequency will vary slightly because of internal noise. This variation is plotted versus operating frequency in Figure 5.

FIGURE 5 - NOISE DEVIATION TEST CIRCUIT AND WAVEFORM



Oscillator Test Circuit Data (Circuit of Figure 4)

f	D	L
MHz	nV	μH
10.60	2.2115	100
10.60	2.2115	2.4
60.100	2.2106	0.15



NOTE: Any frequency deviation caused by the signal generator and MC1648 power supply should be determined and minimized prior to testing.

เอกสารนี้เป็นเอกสารที่สงวนไว้สำหรับการใช้งานเพื่อการศึกษาเท่านั้น ไม่นับญาติให้นำไปใช้ประโยชน์ด้านการค้า  
ไม่ว่ากรณีใดๆทั้งสิ้น อีกทั้งห้ามมิให้ดัดแปลงเนื้อหา และต้องอ้างอิงถึงเจ้าของเอกสารทุกครั้งที่มีการนำไปใช้

TRANSFER CHARACTERISTICS IN THE VOLTAGE CONTROLLED MODE  
USING EXTERNAL VARACTOR DIODE AND COIL.  $T_A = 25^\circ\text{C}$

FIGURE 6

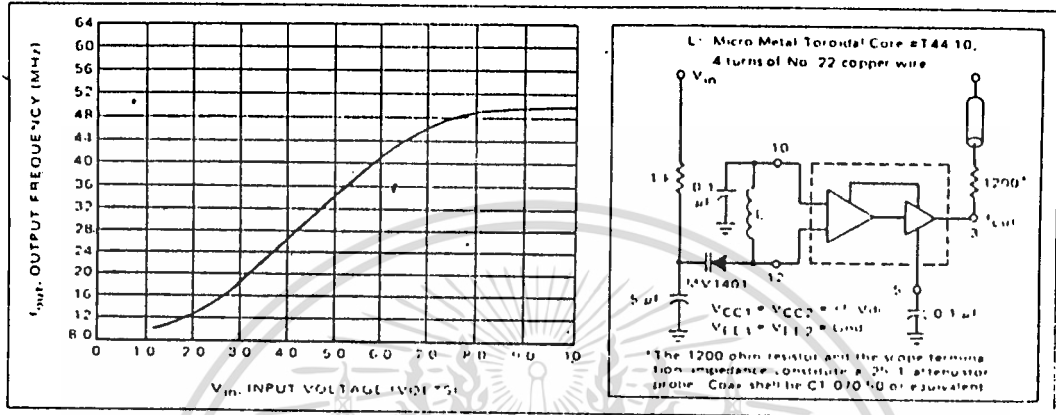


FIGURE 7

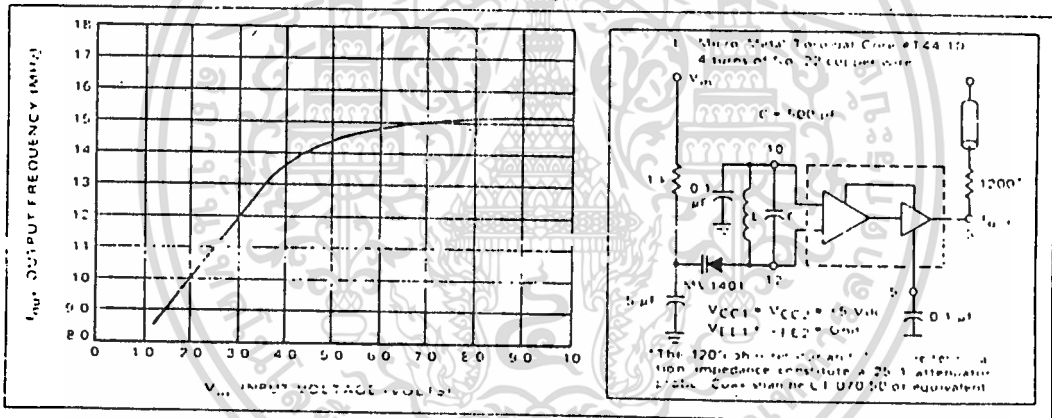
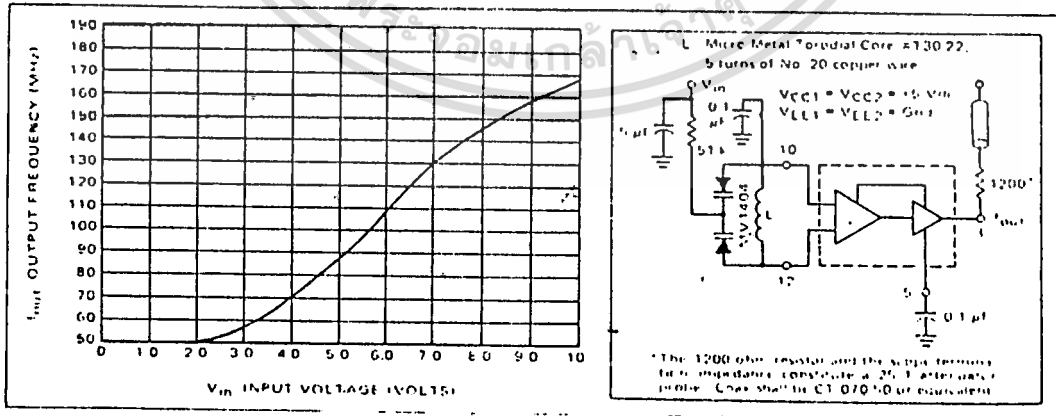


FIGURE 8



Typical transfer characteristics for the oscillator in the voltage controlled mode are shown in Figures 6, 7, and 8. Figures 6 and 8 show transfer characteristics employing only the capacitance of the varactor diode (plus the input capacitance of the oscillator, 6 pF typical). Figure 7 illustrates the oscillator operating in a voltage controlled mode with the output frequency range limited. This is achieved by adding a capacitor in parallel with the tank circuit as shown. The 1 k $\Omega$  resistor in Figures 6 and 7 is used to protect the varactor diode during testing. It is not necessary as long as the dc input voltage does not cause the diode to become forward biased. The larger-valued resistor (51 k $\Omega$ ) in Figure 8 is required to provide isolation for the high-impedance junctions of the two varactor diodes.

The tuning range of the oscillator in the voltage controlled mode may be calculated as:

$$\frac{f_{\max}}{f_{\min}} = \frac{\sqrt{C_D(\max) + C_S}}{\sqrt{C_D(\min) + C_S}}$$

$$\text{where } f_{\min} = \frac{1}{2\pi\sqrt{L(C_D(\max) + C_S)}}$$

$C_S$  = shunt capacitance (input plus external capacitance),

$C_D$  = varactor capacitance at a function of bias voltage.

Good RF and low-frequency bypassing is necessary on the power supply pins. (See Figure 2.)

Capacitors (C1 and C2 of Figure 4) should be used to bypass the AGC point and the VCO input (varactor diode), guaranteeing only dc levels at these points.

For output frequency operation between 1 MHz and 50 MHz a 0.1  $\mu$ F capacitor is sufficient for C1 and C2. At higher frequencies, smaller values of capacitance should be used; at lower frequencies, larger values of capacitance. At high frequencies the value of bypass capacitors depends directly upon the physical layout of the system. All bypassing should be as close to the package pins as possible to minimize unwanted lead inductance.

The peak-to-peak swing of the tank circuit is set internally by the AGC circuitry. Since voltage swing of the tank circuit provides the drive for the output buffer, the AGC potential directly affects the output waveform. If it is desired to have a sine wave at the output of the MC1648, a series resistor is tied from the AGC point to the most negative power potential (ground if +5.0 volt supply is used, -5.2 volts if a negative supply is used) as shown in Figure 10.

At frequencies above 100 MHz typ, it may be desirable to increase the tank circuit peak-to-peak voltage in order to shape the signal at the output of the MC1648. This is accomplished by tying a series resistor (1 k $\Omega$  minimum) from the AGC to the most positive power potential (+5.0 volts if a +5.0 volt supply is used, ground if a -5.2 volt supply is used). Figure 11 illustrates this technique.

## APPLICATIONS INFORMATION

The phase locked loop shown in Figure 9 illustrates the use of the MC1648 as a voltage controlled oscillator. The figure illustrates a frequency synthesizer useful in tuners for FM broadcast, general aviation, maritime and landmobile communications, amateur and CB receivers. The system operates from a single +5.0 Vdc supply, and requires no internal translations, since all components are compatible.

Frequency generation of this type offers the advantages of single crystal operation, simple channel selection, and elimination of special circuitry to prevent harmonic lockup. Additional features include dc digital switching

(preferable over RF switching with a multiple crystal system), and a broad range of tuning (up to 150 MHz, the range being set by the varactor diode).

The output frequency of the synthesizer loop is determined by the reference frequency and the number programmed at the programmable counter;  $f_{\text{out}} = Nf_{\text{ref}}$ . The channel spacing is equal to frequency ( $f_{\text{ref}}$ ).

For additional information on applications and designs for phase locked loops and digital frequency synthesizers, see Motorola Application Notes AN 532A, AN 535, AN 553, AN 564 or AN594.

FIGURE 9 - TYPICAL FREQUENCY SYNTHESIZER APPLICATION

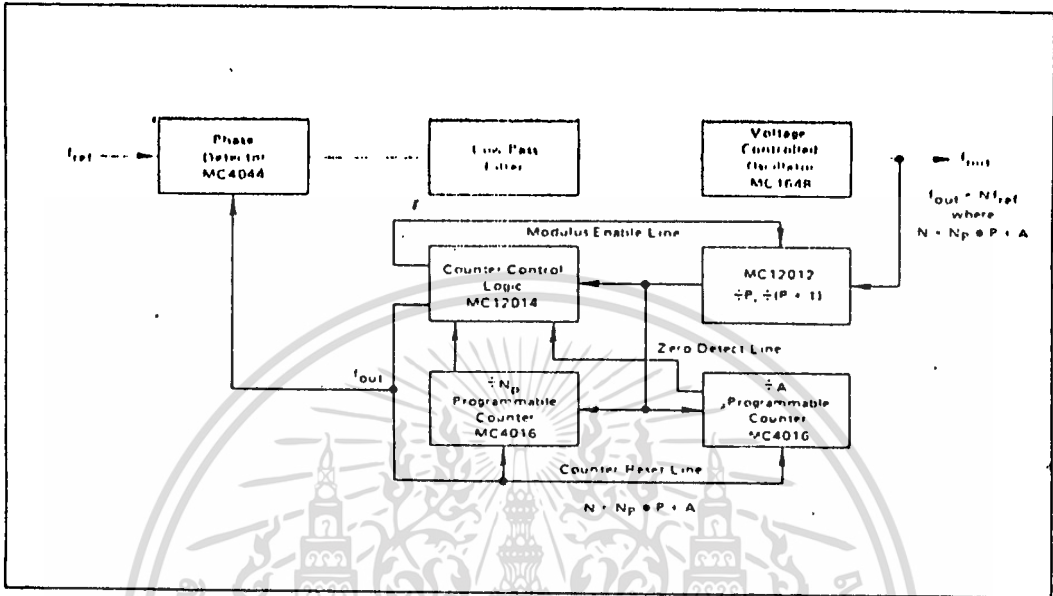


Figure 10 shows the MC1648 in the variable frequency mode operating from a +5.0 Vdc supply. To obtain a sine wave at the output, a resistor is added from the AGC circuit (pin 5) to VEE.

Figure 11 shows the MC1648 in the variable frequency mode operating from a +5.0 Vdc supply. To extend this useful range of the device (maintain a square wave output above 175 MHz), a resistor is added to the AGC circuit at pin 5 (1 k-ohm minimum).

Figure 12 shows the MC1648 operating from +5.0 Vdc and +9.0 Vdc power supplies. This permits a higher voltage swing and higher output power than is possible from the MECL output (pin 3). Plots of output power versus total collector load resistance at pin 1 are given in Figures 13 and 14 for 100 MHz and 10 MHz operation. The total collector load includes R in parallel with Rp of L1 and C1 at resonance. The maximum value for R at 100 MHz is approximately 850 ohms.

FIGURE 10 - METHOD OF OBTAINING A SINE-WAVE OUTPUT

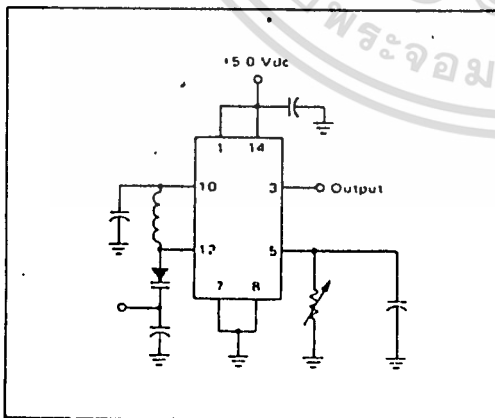
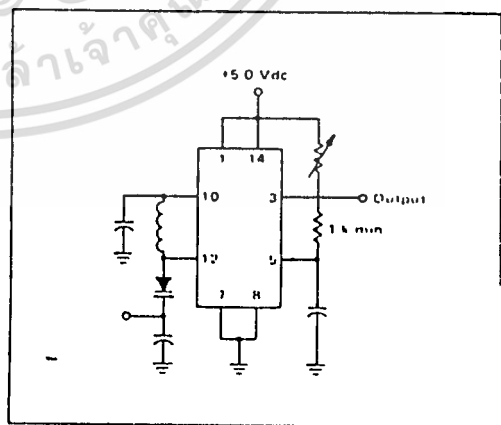


FIGURE 11 - METHOD OF EXTENDING THE USEFUL RANGE OF THE MC1648 (SQUARE WAVE OUTPUT)





**MOTOROLA**

**MC1350P**

**IF AMPLIFIER**  
SILICON MONOLITHIC  
INTEGRATED CIRCUIT

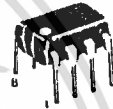
**MONOLITHIC IF AMPLIFIER**

... an integrated circuit featuring wide range AGC for use as an IF amplifier in radio and TV over the temperature range 0 to +75°C. The MC1352 is similar in design but has a keyed-AGC amplifier as an integral part of the same chip.

- Power Gain — 50 dB Typ at 45 MHz  
— 48 dB Typ at 58 MHz
- AGC Range — 60 dB Min, dc to 45 MHz
- Nearly Constant Input and Output Admittance Over the Entire AGC Range
- $\gamma_{21}$  Constant (-3.0 dB) to 90 MHz
- Low Reverse Transfer Admittance —  $\ll 1.0 \mu\text{mho Typ}$
- 12-Volt Operation, Single-Polarity Power Supply

**MAXIMUM RATINGS** ( $T_A = +25^\circ\text{C}$  unless otherwise noted)

Rating	Symbol	Value	Unit
Power Supply Voltage	V <sup>+</sup>	+18	Vdc
Output Supply Voltage	V <sub>i</sub> , V <sub>o</sub>	+18	Vdc
AGC Supply Voltage	V <sub>AGC</sub>	V <sup>+</sup>	Vdc
Differential Input Voltage	V <sub>in</sub>	5.0	Vdc
Power Dissipation (Package Limitation) Plastic Package Derate above 25°C	P <sub>D</sub>	625	mW
		5.0	mW/°C
Operating Temperature Range	T <sub>A</sub>	0 to +75	°C

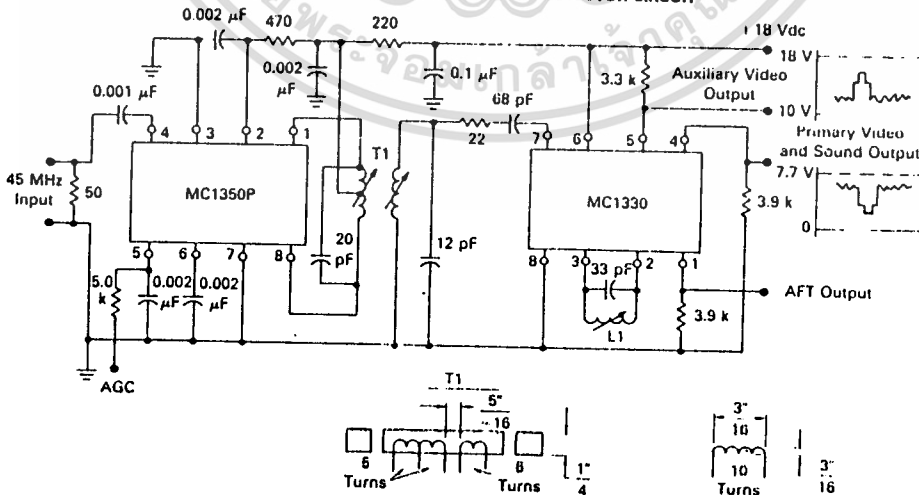


P1 SUFFIX  
PLASTIC PACKAGE  
CASE 626-04



D SUFFIX  
PLASTIC PACKAGE  
CASE 751-01  
SO-8

**FIGURE 1 — TYPICAL MC1350 VIDEO IF AMPLIFIER AND MC1330 LOW-LEVEL VIDEO DETECTOR CIRCUIT**



All windings #30 AWG tinned nylon acetate wire tuned with Carbonyl E or J slugs.

L1 wound with #26 AWG tinned nylon acetate wire tuned by distorting winding.

เอกสารนี้เป็นเอกสารที่สงวนไว้สำหรับการใช้งานเพื่อการศึกษาเท่านั้น ไม่นอนุญาตให้นำไปใช้ประโยชน์ด้านการค้า  
ไม่ว่ากรณีใดๆทั้งสิ้น อีกทั้งห้ามมิให้ดัดแปลงเนื้อหา และต้องอ้างอิงถึงเจ้าของเอกสารทุกครั้งที่มีการนำไปใช้

# MC1350P

## ELECTRICAL CHARACTERISTICS (V<sub>I</sub> = +12 Vdc; T<sub>A</sub> = +25 C unless otherwise noted)

Characteristic	Symbol	Min	Typ	Max	Unit
AGC Range, 45 MHz (5.0 V to 7.0 V) (Figure 1)		60	68	—	dB
Power Gain (Pin 5 grounded via a 5.1 k $\Omega$ resistor)	A <sub>p</sub>	—	48	—	dB
f = 58 MHz, BW = 4.5 MHz See Figure 6(a)		46	50	—	
f = 45 MHz, BW = 4.5 MHz See Figure 6(a),(b)		—	58	—	
f = 10.7 MHz, BW = 350 kHz See Figure 7		—	62	—	
Maximum Differential Voltage Swing 0 dB AGC	V <sub>o</sub>	—	20	—	V <sub>p-p</sub>
-30 dB AGC		—	8.0	—	
Output Stage Current (Pins 1 and 8)	I <sub>1</sub> + I <sub>8</sub>	—	5.6	—	mA
Total Supply Current (Pins 1, 2 and 8)	I <sub>S</sub>	—	14	17	mAdc
Power Dissipation	P <sub>D</sub>	—	168	204	mW

## DESIGN PARAMETERS, Typical Values (V<sub>I</sub> = +12 Vdc; T<sub>A</sub> = +25 C unless otherwise noted)

Parameter	Symbol	Frequency				Unit
		455 kHz	10.7 MHz	45 MHz	58 MHz	
Single-Ended Input Admittance	g <sub>11</sub> b <sub>11</sub>	0.31 0.022	0.36 0.50	0.39 2.30	0.5 2.75	mmhos
Input Admittance Variations with AGC (0 to 60 dB)	$\Delta$ g <sub>11</sub> $\Delta$ b <sub>11</sub>	—	—	60 0	—	$\mu$ mmhos
Differential Output Admittance	g <sub>22</sub> b <sub>22</sub>	4.0 3.0	4.4 110	30 390	60 510	$\mu$ mmhos
Output Admittance Variations with AGC (0 to 60 dB)	$\Delta$ g <sub>22</sub> $\Delta$ b <sub>22</sub>	—	—	4.0 90	—	$\mu$ mmhos
Reverse Transfer Admittance (Magnitude)	y <sub>12</sub>	<< 1.0	<< 1.0	< 1.0	<< 1.0	$\mu$ mho
Forward Transfer Admittance Magnitude	y <sub>21</sub>	160	160	200	180	mmhos
Angle (0 dB AGC)	$\angle$ Y <sub>21</sub>	5.0	-20	-80	-105	degrees
Angle (-30 dB AGC)	$\angle$ Y <sub>21</sub>	-3.0	-18	-69	-90	degrees
Single-Ended Input Capacitance	C <sub>in</sub>	7.2	7.2	7.4	7.6	pF
Differential Output Capacitance	C <sub>o</sub>	1.2	1.2	1.3	1.6	pF

FIGURE 2 — TYPICAL GAIN REDUCTION  
(Figures 6 and 7)

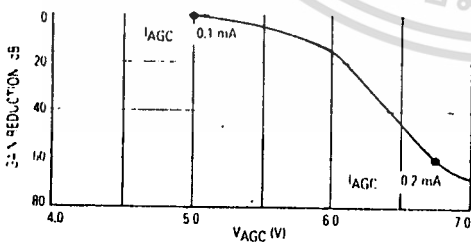
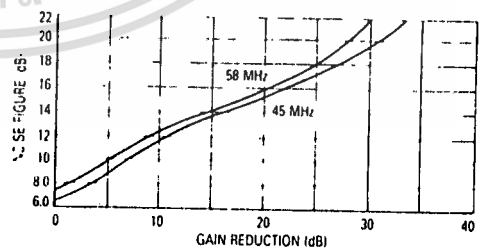


FIGURE 3 — NOISE FIGURE  
(Figure 6)

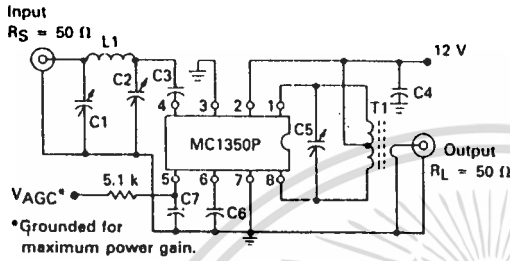


เอกสารนี้เป็นเอกสารที่สงวนไว้สำหรับการใช้งานเพื่อการศึกษาเท่านั้น ไม่อนุญาตให้นำไปใช้ประโยชน์ด้านการค้า  
ไม่ว่ากรณีใดๆทั้งสิ้น อีกทั้งห้ามมิให้ดัดแปลงเนื้อหา และต้องอ้างอิงถึงเจ้าของเอกสารทุกครั้งที่มีการนำไปใช้

# MC1350P

## GENERAL OPERATING INFORMATION (continued)

FIGURE 7 — POWER GAIN AND AGC TEST CIRCUIT  
(455 kHz and 10.7 MHz)



Component	Frequency	
	455 kHz	10.7 MHz
C1	—	80–450 pF
C2	—	5.0–80 pF
C3	0.05 $\mu$ F	0.001 $\mu$ F
C4	0.05 $\mu$ F	0.05 $\mu$ F
C5	0.001 $\mu$ F	36 pF
C6	0.05 $\mu$ F	0.05 $\mu$ F
C7	0.05 $\mu$ F	0.05 $\mu$ F
L1	—	4.6 $\mu$ H
T1	Note 1	Note 2

Note 1. Primary: 120  $\mu$ H (center-tapped)

$Q_U \approx 140$  at 455 kHz

Primary: Secondary turns ratio  $\approx 13$

Note 2. Primary: 6.0  $\mu$ H

Primary winding = 24 turns #36 AWG

(close-wound on 1/4" dia. form)

Core - Carbonyl E or J

Secondary winding = 1-1/2 turns #36 AWG, 1/4" dia.

(wound over center-tap)

## TYPICAL CHARACTERISTICS ( $V^+ = 12$ V, $T_A = +25^\circ$ C)

FIGURE 8 — SINGLE-ENDED INPUT ADMITTANCE

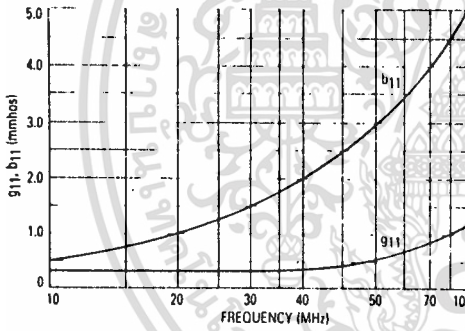


FIGURE 9 — FORWARD TRANSFER ADMITTANCE

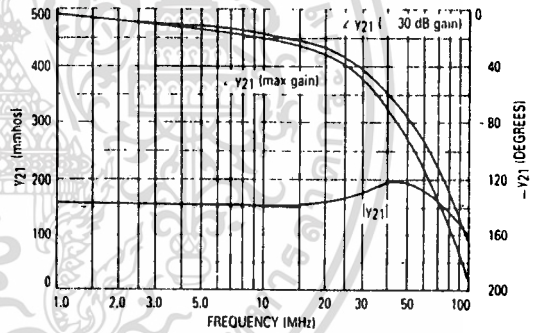


FIGURE 10 — DIFFERENTIAL OUTPUT ADMITTANCE

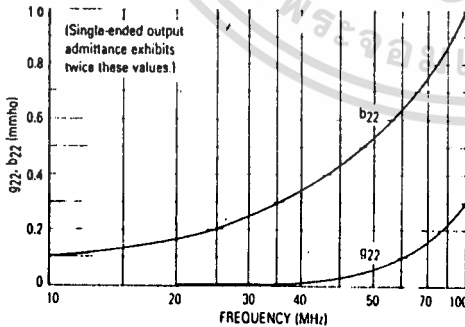
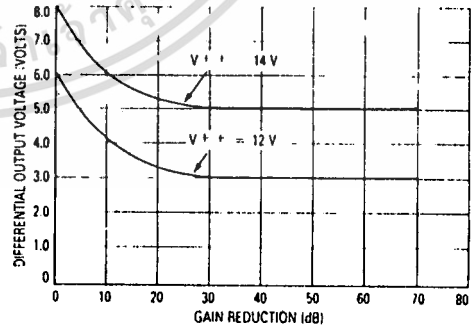


FIGURE 11 — DIFFERENTIAL OUTPUT VOLTAGE



For additional information see "A High-Performance Monolithic IF Amplifier Incorporating Electronic Gain

Control," by W. R. Davis and J. E. Solomon, IEEE Journal on Solid State Circuits, December 1968.



## MM54HC73/MM74HC73 Dual J-K Flip-Flops with Clear

### General Description

These J-K Flip-Flops utilize microCMOS Technology, 3.5 micron silicon gate P-well CMOS. They possess the high noise immunity and low power dissipation of standard CMOS integrated circuits. These devices can drive 10 LS-TTL loads.

These flip-flops are edge sensitive to the clock input and change state on the negative going transition of the clock pulse. Each one has independent, J, K, CLOCK, and CLEAR inputs and Q and  $\bar{Q}$  outputs. CLEAR is independent of the clock and accomplished by a low level on the input.

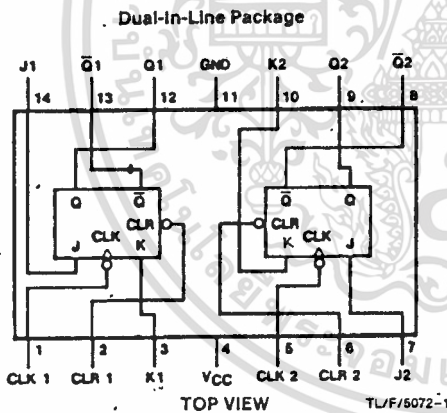
The 54HC/74HC logic family is functionally as well as pin-out compatible with the standard 54LS/74LS logic family.

All inputs are protected from damage due to static discharge by internal diode clamps to  $V_{CC}$  and ground.

### Features

- Typical propagation delay: 16 ns
- Wide operating voltage range: 2-6V
- Low input current: 1  $\mu$ A maximum
- Low quiescent current: 40  $\mu$ A (74HC series)
- High output drive: 10 LS-TTL loads

### Connection Diagram

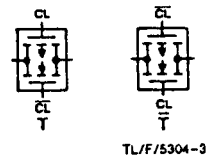
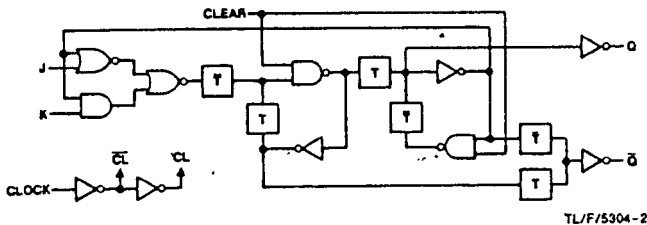


MM54HC73/MM74HC73  
54HC73 (J) 74HC73 (J,N)

### Truth Table

CLR	Inputs			Outputs	
	CLK	J	K	Q	$\bar{Q}$
L	X	X	X	L	H
H	↓	L	L	Q0	$\bar{Q}0$
H	↓	H	L	H	L
H	↓	L	H	L	H
H	↓	H	H	TOGGLE	TOGGLE
H	H	X	X	Q0	$\bar{Q}0$

### Logic Diagrams



### Absolute Maximum Ratings (Notes 1 & 2)

Supply Voltage ( $V_{CC}$ )	-0.5 to +7.0V
DC Input Voltage ( $V_{IN}$ )	-1.5 to $V_{CC} + 1.5V$
DC Output Voltage ( $V_{OUT}$ )	-0.5 to $V_{CC} + 0.5V$
Clamp Diode Current ( $I_{IK}, I_{OK}$ )	$\pm 20$ mA
DC Output Current, per pin ( $I_{OUT}$ )	$\pm 25$ mA
DC $V_{CC}$ or GND Current, per pin ( $I_{CC}$ )	$\pm 50$ mA
Storage Temperature Range ( $T_{STG}$ )	-65°C to +150°C
Power Dissipation ( $P_D$ ) (Note 3)	500 mW
Lead Temperature ( $T_L$ ) (Soldering 10 seconds)	260°C

### Operating Conditions

	Min	Max	Units
Supply Voltage ( $V_{CC}$ )	2	6	V
DC Input or Output Voltage ( $V_{IN}, V_{OUT}$ )	0	$V_{CC}$	V
Operating Temperature Range ( $T_A$ )			
MM74HC	-40	+85	°C
MM54HC	-55	+125	°C
Input Rise or Fall Times ( $t_r, t_f$ )			
$V_{CC} = 2.0V$		1000	ns
$V_{CC} = 4.5V$		500	ns
$V_{CC} = 6.0V$		400	ns

### DC Electrical Characteristics (Note 4)

Symbol	Parameter	Conditions	$V_{CC}$	$T_A = 25^\circ C$		74HC	54HC	Units
						$T_A = -40$ to $85^\circ C$	$T_A = -55$ to $125^\circ C$	
				Typ	Guaranteed Limits			
$V_{IH}$	Minimum High Level Input Voltage		2.0V	1.5	1.5	1.5	V	
			4.5V	3.15	3.15	3.15	V	
			6.0V	4.2	4.2	4.2	V	
$V_{IL}$	Maximum Low Level Input Voltage		2.0V	0.3	0.3	0.3	V	
			4.5V	0.9	0.9	0.9	V	
			6.0V	1.2	1.2	1.2	V	
$V_{OH}$	Minimum High Level Output Voltage	$V_{IN} = V_{IH}$ or $V_{IL}$ $ I_{OUT}  \leq 20 \mu A$	2.0V	2.0	1.9	1.9	V	
			4.5V	4.5	4.4	4.4	V	
			6.0V	6.0	5.9	5.9	V	
		$V_{IN} = V_{IH}$ or $V_{IL}$ $ I_{OUT}  \leq 4.0$ mA $ I_{OUT}  \leq 5.2$ mA	4.5V	4.2	3.98	3.84	3.7	V
			6.0V	5.7	5.48	5.34	5.2	V
$V_{OL}$	Maximum Low Level Output Voltage	$V_{IN} = V_{IH}$ or $V_{IL}$ $ I_{OUT}  \leq 20 \mu A$	2.0V	0	0.1	0.1	0.1	V
			4.5V	0	0.1	0.1	0.1	V
			6.0V	0	0.1	0.1	0.1	V
		$V_{IN} = V_{IH}$ or $V_{IL}$ $ I_{OUT}  \leq 4.0$ mA $ I_{OUT}  \leq 5.2$ mA	4.5V	0.2	0.26	0.33	0.4	V
			6.0V	0.2	0.26	0.33	0.4	V
$I_{IN}$	Maximum Input Current	$V_{IN} = V_{CC}$ or GND	6.0V		$\pm 0.1$	$\pm 1.0$	$\pm 1.0$	$\mu A$
$I_{CC}$	Maximum Quiescent Supply Current	$V_{IN} = V_{CC}$ or GND $I_{OUT} = 0 \mu A$	6.0V		4.0	40	80	$\mu A$

Note 1: Absolute Maximum Ratings are those values beyond which damage to the device may occur.

Note 2: Unless otherwise specified all voltages are referenced to ground.

Note 3: Power Dissipation temperature derating — plastic "N" package: -12 mW/°C from 65°C to 85°C; ceramic "J" package: -12 mW/°C from 100°C to 125°C.

Note 4: For a power supply of 5V  $\pm 10\%$  the worst case output voltages ( $V_{OH}$  and  $V_{OL}$ ) occur for HC at 4.5V. Thus the 4.5V values should be used when designing with this supply. Worst case  $V_{IH}$  and  $V_{IL}$  occur at  $V_{CC} = 5.5V$  and 4.5V respectively. (The  $V_{IH}$  value at 5.5V is 3.85V.) The worst case leakage current ( $I_{IN}$ ,  $I_{CC}$ , and  $I_{OZ}$ ) occur for CMOS at the higher voltage and so the 6.0V values should be used.



## MM54HC04/MM74HC04 Hex Inverter

### General Description

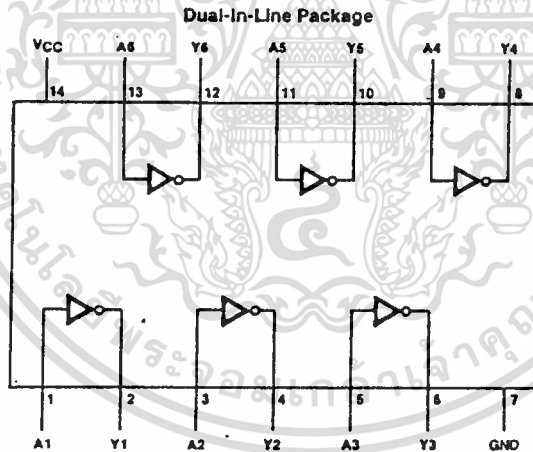
These Inverters utilize microCMOS Technology, 3.5 micron silicon gate P-well CMOS, to achieve operating speeds similar to LS-TTL gates with the low power consumption of standard CMOS integrated circuits.

The MM54HC04/MM74HC04 is a triple buffered inverter. It has high noise immunity and the ability to drive 10 LS-TTL loads. The 54HC/74HC logic family is functionally as well as pin-out compatible with the standard 54LS/74LS logic family. All inputs are protected from damage due to static discharge by internal diode clamps to  $V_{CC}$  and ground.

### Features

- Typical propagation delay: 8 ns
- Fan out of 10 LS-TTL loads
- Quiescent power consumption: 10  $\mu$ W maximum at room temperature
- Typical input current:  $10^{-5}$   $\mu$ A

### Connection Diagram



TL/F/5069-1

TOP VIEW  
MM54HC04/MM74HC04  
54HC04 (J) 74HC04 (J,N)

### Logic Diagram



1 of 6 Inverters

TL/F/5069-2

### Absolute Maximum Ratings (Notes 1 & 2)

Supply Voltage ( $V_{CC}$ )	-0.5 to +7.0V
DC Input Voltage ( $V_{IN}$ )	-1.5 to $V_{CC} + 1.5V$
DC Output Voltage ( $V_{OUT}$ )	-0.5 to $V_{CC} + 0.5V$
Clamp Diode Current ( $I_{IK}, I_{OK}$ )	$\pm 20$ mA
DC Output Current, per pin ( $I_{OUT}$ )	$\pm 25$ mA
DC $V_{CC}$ or GND Current, per pin ( $I_{CC}$ )	$\pm 50$ mA
Storage Temperature Range ( $T_{STG}$ )	-65°C to +150°C
Power Dissipation ( $P_D$ ) (Note 3)	500 mW
Lead Temperature ( $T_L$ ) (Soldering 10 seconds)	260°C

### Operating Conditions

	Min	Max	Units
Supply Voltage ( $V_{CC}$ )	2	6	V
DC Input or Output Voltage ( $V_{IN}, V_{OUT}$ )	0	$V_{CC}$	V
Operating Temperature Range ( $T_A$ )			
MM74HC	-40	+85	°C
MM54HC	-55	+125	°C
Input Rise or Fall Times ( $t_r, t_f$ )			
$V_{CC} = 2.0V$		1000	ns
$V_{CC} = 4.5V$		500	ns
$V_{CC} = 6.0V$		400	ns

### DC Electrical Characteristics (Note 4)

Symbol	Parameter	Conditions	$V_{CC}$	$T_A = 25^\circ C$			74HC $T_A = -40$ to $85^\circ C$		54HC $T_A = -55$ to $125^\circ C$		Units
				Typ	Guaranteed Limits		Guaranteed Limits		Guaranteed Limits		
$V_{IH}$	Minimum High Level Input Voltage		2.0V		1.5	1.5	1.5			V	
			4.5V		3.15	3.15	3.15		V		
			6.0V		4.2	4.2	4.2		V		
$V_{IL}$	Maximum Low Level Input Voltage		2.0V		0.3	0.3	0.3			V	
			4.5V		0.9	0.9	0.9		V		
			6.0V		1.2	1.2	1.2		V		
$V_{OH}$	Minimum High Level Output Voltage	$V_{IN} = V_{IL}$ $ I_{OUT}  \leq 20 \mu A$	2.0V	2.0	1.9	1.9	1.9			V	
			4.5V	4.5	4.4	4.4	4.4		V		
			6.0V	6.0	5.9	5.9	5.9		V		
		$V_{IN} = V_{IL}$ $ I_{OUT}  \leq 4.0$ mA $ I_{OUT}  \leq 5.2$ mA	4.5V	4.2	3.98	3.84	3.7		V		
			6.0V	5.7	5.48	5.34	5.2		V		
$V_{OL}$	Maximum Low Level Output Voltage	$V_{IN} = V_{IH}$ $ I_{OUT}  \leq 20 \mu A$	2.0V	0	0.1	0.1	0.1			V	
			4.5V	0	0.1	0.1	0.1		V		
			6.0V	0	0.1	0.1	0.1		V		
		$V_{IN} = V_{IH}$ $ I_{OUT}  \leq 4.0$ mA $ I_{OUT}  \leq 5.2$ mA	4.5V	0.2	0.26	0.33	0.4		V		
			6.0V	0.2	0.26	0.33	0.4		V		
$I_{IN}$	Maximum Input Current	$V_{IN} = V_{CC}$ or GND	6.0V		$\pm 0.1$	$\pm 1.0$	$\pm 1.0$		$\mu A$		
$I_{CC}$	Maximum Quiescent Supply Current	$V_{IN} = V_{CC}$ or GND $I_{OUT} = 0 \mu A$	6.0V		2.0	20	40		$\mu A$		

Note 1: Absolute Maximum Ratings are those values beyond which damage to the device may occur.

Note 2: Unless otherwise specified all voltages are referenced to ground.

Note 3: Power Dissipation temperature derating — plastic "N" package: -12 mW/°C from 65°C to 85°C; ceramic "J" package: -12 mW/°C from 100°C to 125°C.

Note 4: For a power supply of 5V  $\pm 10\%$  the worst case output voltages ( $V_{OH}$  and  $V_{OL}$ ) occur for HC at 4.5V. Thus the 4.5V values should be used when designing with this supply. Worst case  $V_{IH}$  and  $V_{IL}$  occur at  $V_{CC} = 5.5V$  and 4.5V respectively. (The  $V_{IH}$  value at 5.5V is 3.85V.) The worst case leakage current ( $I_{IN}$ ,  $I_{CC}$ , and  $I_{OZ}$ ) occur for CMOS at the higher voltage and so the 6.0V values should be used.

เอกสารนี้เป็นเอกสารที่สงวนไว้สำหรับการใช้งานเพื่อการศึกษาเท่านั้น ไม่อนุญาตให้นำไปใช้ประโยชน์ด้านการค้า  
ไม่ว่ากรณีใดๆทั้งสิ้น อีกทั้งห้ามมิให้ดัดแปลงเนื้อหา และต้องอ้างอิงถึงเจ้าของเอกสารทุกครั้งที่มีการนำไปใช้

**ORDERING INFORMATION**

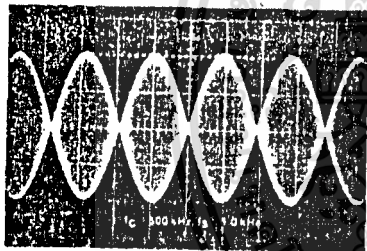
Device	Temperature Range	Package
MC1496D	0°C to +70°C	SO-14
MC1496G	0°C to +70°C	Metal Can
MC1496L	0°C to +70°C	Ceramic DIP
MC1496P	0°C to +70°C	Plastic DIP
MC1596G	55°C to +125°C	Metal Can
MC1596L	55°C to +125°C	Ceramic DIP

**Specifications and Applications Information**

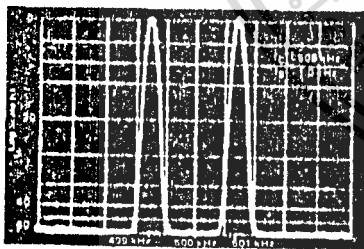
**BALANCED MODULATOR - DEMODULATOR**

designed for use where the output voltage is a product of an input voltage (signal) and a switching function (carrier). Typical applications include suppressed carrier and amplitude modulation, synchronous detection, FM detection, phase detection, and chopper applications. See Motorola Application Note AN-531 for additional design information.

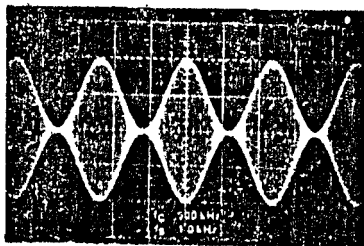
- Excellent Carrier Suppression 65 dB typ @ 0.5 MHz  
50 dB typ @ 10 MHz
- Adjustable Gain and Signal Handling
- Balanced Inputs and Outputs
- High Common Mode Rejection 85 dB typ



**FIGURE 1  
SUPPRESSED-CARRIER  
OUTPUT WAVEFORM**



**FIGURE 2  
SUPPRESSED CARRIER  
SPECTRUM**

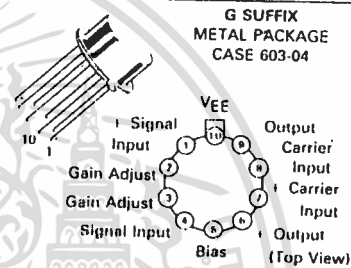


**FIGURE 3 -  
AMPLITUDE-MODULATION  
OUTPUT WAVEFORM**

**MC1496  
MC1596**

**BALANCED  
MODULATOR — DEMODULATOR**

**SILICON MONOLITHIC  
INTEGRATED CIRCUIT**



**G SUFFIX  
METAL PACKAGE  
CASE 603-04**



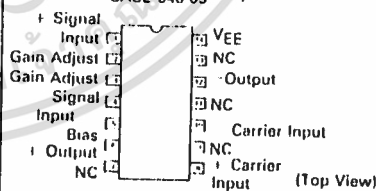
**L SUFFIX  
CERAMIC PACKAGE  
CASE 632-02**



**D SUFFIX  
PLASTIC PACKAGE  
CASE 751A-01  
SO-14**

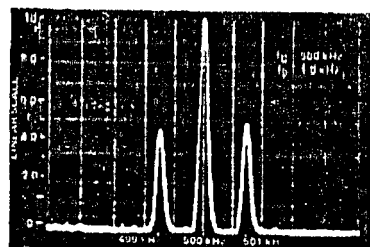


**P SUFFIX  
PLASTIC  
PACKAGE  
CASE 646-05**



**(Top View)**

**FIGURE 4 AMPLITUDE MODULATION SPECTRUM**



เอกสารนี้เป็นเอกสารที่สงวนไว้สำหรับการใช้งานเพื่อการศึกษาเท่านั้น ไม่อนุญาตให้นำไปใช้ประโยชน์ด้านการค้า  
ไม่ว่ากรณีใดๆทั้งสิ้น อีกทั้งห้ามมิให้ดัดแปลงเนื้อหา และต้องอ้างอิงถึงเจ้าของเอกสารทุกครั้งที่มีการนำไปใช้

**MAXIMUM RATINGS\*** (T<sub>A</sub> = +25°C unless otherwise noted)

Rating	Symbol	Value	Unit
Applied Voltage: (V <sub>I1</sub> , V <sub>I2</sub> , V <sub>I3</sub> , V <sub>I4</sub> , V <sub>I5</sub> , V <sub>I6</sub> , V <sub>I7</sub> , V <sub>I8</sub> , V <sub>I9</sub> , V <sub>I10</sub> , V <sub>I11</sub> , V <sub>I12</sub> ) (V <sub>O1</sub> , V <sub>O2</sub> , V <sub>O3</sub> , V <sub>O4</sub> , V <sub>O5</sub> , V <sub>O6</sub> , V <sub>O7</sub> , V <sub>O8</sub> , V <sub>O9</sub> , V <sub>O10</sub> , V <sub>O11</sub> , V <sub>O12</sub> )	V <sub>I</sub>	5.0	V <sub>pk</sub>
Differential Input Signal	V <sub>I</sub> - V <sub>I</sub>	5.0	V <sub>pk</sub>
Maximum Bias Current	I <sub>b</sub>	10	mA
Thermal Resistance, Junction to Air Ceramic Dual In-Line Package Plastic Dual In-Line Package Metal Package	θ <sub>J-A</sub>	100 100 200	°C/W
Operating Temperature Range	T <sub>A</sub>	0 to +70 -55 to +125	°C
Storage Temperature Range	T <sub>stg</sub>	-65 to +150	°C

**ELECTRICAL CHARACTERISTICS\*** (V<sub>CC</sub> = +12 Vdc, V<sub>EE</sub> = -8.0 Vdc, I<sub>S</sub> = 1.0 mAdc, R<sub>L</sub> = 3.9 kΩ, R<sub>e</sub> = 1.0 kΩ, T<sub>A</sub> = +25°C unless otherwise noted) (All input and output characteristics are single ended unless otherwise noted.)

Characteristic	Fig.	Note	Symbol	MC1596			MC1496			Unit
				Min	Typ	Max	Min	Typ	Max	
Carrier Feedthrough V <sub>C</sub> 60 mV(rms) sine wave and offset adjusted to zero f <sub>C</sub> 10 kHz V <sub>C</sub> 300 mVp square wave offset adjusted to zero f <sub>C</sub> 10 kHz offset not adjusted	5	1	V <sub>CFI</sub>	40	140		40	140		μV(rms)
Carrier Suppression I <sub>S</sub> 10 kHz, 300 mV(rms) f <sub>C</sub> 600 kHz, 60 mV(rms) sine wave f <sub>C</sub> 10 MHz, 60 mV(rms) sine wave	5	2	V <sub>CS</sub>	50	65	80	40	65	80	dB
Transadmittance Bandwidth (Magnitude)  H <sub>L</sub> - 50 ohms Carrier Input Port, V <sub>C</sub> 60 mV(rms) sine wave I <sub>S</sub> 1.0 kHz, 300 mV(rms) sine wave Signal Input Port, V <sub>S</sub> 300 mV(rms) sine wave  V <sub>C</sub>   0.5 Vdc	8	8	BW <sub>3dB</sub>		300		300			MHz
Signal Gain V <sub>S</sub> 100 mV(rms) f = 1.0 kHz  V <sub>C</sub>   0.5 Vdc	10	3	A <sub>VS</sub>	2.5	3.5		2.5	3.5		V/V
Single Ended Input Impedance, Signal Port, f = 5.0 MHz Parallel Input Resistance Parallel Input Capacitance	6		r <sub>in</sub> C <sub>in</sub>	200			200			kΩ pF
Single Ended Output Impedance, f = 10 MHz Parallel Output Resistance Parallel Output Capacitance	6		r <sub>out</sub> C <sub>out</sub>	40			40			kΩ pF
Input Bias Current I <sub>bS</sub> I <sub>b1</sub> , I <sub>b4</sub> , I <sub>bC</sub> I <sub>b7</sub> , I <sub>b8</sub>	7		I <sub>bS</sub> I <sub>bC</sub>	12	25		12	30	30	μA
Input Offset Current I <sub>oC</sub> , I <sub>o1</sub> , I <sub>o4</sub> , I <sub>oC</sub> , I <sub>o7</sub> , I <sub>o8</sub>	7		I <sub>oC</sub> I <sub>o1</sub> I <sub>o4</sub> I <sub>oC</sub>	0.7	5.0		0.7	7.0	7.0	μA
Average Temperature Coefficient of Input Offset Current (T <sub>A</sub> = -55°C to +125°C)	7		(IC) <sub>io</sub>		2.0		2.0			μA/°C
Output Offset Current (I <sub>G</sub> - I <sub>G</sub> )	7		I <sub>ool</sub>	14	50		14	80		μA
Average Temperature Coefficient of Output Offset Current (T <sub>A</sub> = -55°C to +125°C)	7		(IC) <sub>ool</sub>		90		90			nA/°C
Common Mode Input Swing, Signal Port, I <sub>S</sub> 1.0 kHz	9	4	CMV	5.0			5.0			V <sub>pp</sub>
Common Mode Gain, Signal Port, I <sub>S</sub> 1.0 kHz,  V <sub>C</sub>   0.5 Vdc	9		ACM	-85			-85			dB
Common Mode Quiescent Output Voltage (Pin 6 or Pin 8)	10		V <sub>o</sub>	8.0			8.0			V <sub>dc</sub>
Differential Output Voltage Swing Capability I <sub>G</sub> = I <sub>G</sub>	10		V <sub>out</sub>	8.0			8.0			V <sub>pp</sub>
Power Supply Current I <sub>G</sub> = I <sub>G</sub> I <sub>10</sub>	7	6	I <sub>CC</sub> I <sub>EE</sub>	2.0	3.0		2.0	4.0		mA <sub>dc</sub>
DC Power Dissipation	7	5	P <sub>D</sub>		3J			3J		mW

\* Pin number references pertain to this device when packaged in a metal can. To ascertain the corresponding pin numbers for plastic or ceramic packaged devices refer to the first page of this specification sheet.

เอกสารนี้เป็นเอกสารที่สงวนไว้สำหรับการใช้งานเพื่อการศึกษาเท่านั้น ไม่นอนุญาตให้นำไปใช้ประโยชน์ด้านการค้า  
ไม่ว่ากรณีใดๆทั้งสิ้น อีกทั้งห้ามมิให้ดัดแปลงเนื้อหา และต้องอ้างอิงถึงเจ้าของเอกสารทุกครั้งที่มีการนำไปใช้

## GENERAL OPERATING INFORMATION\*

### Note 1 - Carrier Feedthrough

Carrier feedthrough is defined as the output voltage at carrier frequency with only the carrier applied (signal voltage = 0).

Carrier null is achieved by balancing the currents in the differential amplifier by means of a bias trim potentiometer ( $R_1$  of Figure 5).

### Note 2 - Carrier Suppression

Carrier suppression is defined as the ratio of each sideband output to carrier output for the carrier and signal voltage levels specified.

Carrier suppression is very dependent on carrier input level, as shown in Figure 22. A low value of the carrier does not fully switch the upper switching devices, and results in lower signal gain, hence lower carrier suppression. A higher than optimum carrier level results in unnecessary device and circuit carrier feedthrough, which again degenerates the suppression figure. The MC1596 has been characterized with a 60 mV(rms) sinewave carrier input signal. This level provides optimum carrier suppression at carrier frequencies in the vicinity of 500 kHz, and is generally recommended for balanced modulator applications.

Carrier feedthrough is independent of signal level,  $V_S$ . Thus carrier suppression can be maximized by operating with large signal levels. However, a linear operating mode must be maintained in the signal-input transistor pair -- or harmonics of the modulating signal will be generated and appear in the device output as spurious sidebands of the suppressed carrier. This requirement places an upper limit on input-signal amplitude (see Note 3 and Figure 20). Note also that an optimum carrier level is recommended in Figure 22 for good carrier suppression and minimum spurious sideband generation.

At higher frequencies circuit layout is very important in order to minimize carrier feedthrough. Shielding may be necessary in order to prevent capacitive coupling between the carrier input leads and the output leads.

### Note 3 - Signal Gain and Maximum Input Level

Signal gain (single-ended) at low frequencies is defined as the voltage gain,

$$A_{VS} = \frac{V_O}{V_S} = \frac{R_L}{R_E + 2r_e} \quad \text{where } r_e = \frac{26 \text{ mV}}{I_E \text{ (mA)}}$$

A constant dc potential is applied to the carrier input terminals to fully switch two of the upper transistors "on" and two transistors "off" ( $V_C = 0.5 \text{ Vdc}$ ). This in effect forms a cascode differential amplifier.

Linear operation requires that the signal input be below a critical value determined by  $R_E$  and the bias current  $I_5$

$$V_S < I_5 R_E \text{ (Volts peak)}$$

Note that in the test circuit of Figure 10,  $V_S$  corresponds to a maximum value of 1 volt peak.

### Note 4 - Common-Mode Swing

The common-mode swing is the voltage which may be applied to both bases of the signal differential amplifier, without saturating the current sources or without saturating the differential amplifier itself by swinging it into the upper switching devices. This swing is variable depending on the particular circuit and biasing conditions chosen (see Note 6).

### Note 5 - Power Dissipation

Power dissipation,  $P_D$ , within the integrated circuit package should be calculated as the summation of the voltage current products at each port, i.e. assuming  $V_6, I_6, V_7, I_7, V_8, I_8$  and ignoring

base current,  $P_D = 2 I_5 (V_6 - V_{10}) + I_5 (V_5 - V_{10})$  where subscripts refer to pin numbers.

### Note 6 - Design Equations

The following is a partial list of design equations needed to operate the circuit with other supply voltages and input conditions. See Note 3 for  $R_E$  equation.

#### A. Operating Current

The internal bias currents are set by the conditions at pin 5. Assume:

$$I_5 = I_6 = I_9$$

$$I_B \ll I_C \text{ for all transistors}$$

then:

$$R_5 = \frac{V - \phi}{I_5} - 500 \Omega \quad \text{where: } R_5 \text{ is the resistor between pin 5 and ground}$$

$$\phi = 0.75 \text{ V at } T_A = +25^\circ\text{C}$$

The MC1596 has been characterized for the condition  $I_5 = 1.0 \text{ mA}$  and is the generally recommended value.

#### B. Common-Mode Quiescent Output Voltage

$$V_G = V_9 = V^+ - I_5 R_L$$

### Note 7 - Biasing

The MC1596 requires three dc bias voltage levels which must be set externally. Guidelines for setting up these three levels include maintaining at least 2 volts collector-base bias on all transistors while not exceeding the voltages given in the absolute maximum rating table.

$$30 \text{ Vdc} \geq (V_6, V_9) - (V_7, V_8) \geq 2 \text{ Vdc}$$

$$30 \text{ Vdc} \geq (V_7, V_8) - (V_1, V_4) \geq 2.7 \text{ Vdc}$$

$$30 \text{ Vdc} \geq (V_1, V_4) - (V_5) \geq 2.7 \text{ Vdc}$$

The foregoing conditions are based on the following approximations:

$$V_6 = V_9, \quad V_7 = V_8, \quad V_1 = V_4$$

Bias currents flowing into pins 1, 4, 7, and 8 are transistor base currents and can normally be neglected if external bias dividers are designed to carry 1.0 mA or more.

### Note 8 - Transadmittance Bandwidth

Carrier transadmittance bandwidth is the 3-dB bandwidth of the device forward transadmittance as defined by

$$Y_{21C} = \frac{I_O \text{ (each sideband)}}{V_S \text{ (signal)}} \Big|_{V_O = 0}$$

Signal transadmittance bandwidth is the 3-dB bandwidth of the device forward transadmittance as defined by:

$$Y_{21S} = \frac{I_O \text{ (signal)}}{V_S \text{ (signal)}} \Big|_{V_C = 0.5 \text{ Vdc}, V_O = 0}$$

\*Pin number references pertain to this device when packaged in a metal can. To ascertain the corresponding pin numbers for plastic or ceramic packaged devices refer to the first page of this specification sheet.

**Note 9 – Coupling and Bypass Capacitors C<sub>1</sub> and C<sub>2</sub>**

Capacitors C<sub>1</sub> and C<sub>2</sub> (Figure 5) should be selected for a reactance of less than 50 ohms at the carrier frequency.

**Note 10 – Output Signal, V<sub>o</sub>**

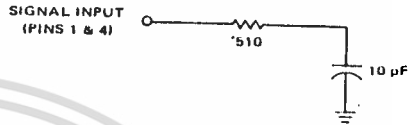
The output signal is taken from pins 6 and 9, either balanced or single-ended. Figure 12 shows the output levels of each of the two output sidebands resulting from variations in both the carrier and modulating signal inputs with a single-ended output connection.

**Note 11 – Negative Supply, V<sub>EE</sub>**

V<sub>EE</sub> should be dc only. The insertion of an RF choke in series with V<sub>EE</sub> can enhance the stability of the internal current sources.

**Note 12 – Signal Port Stability**

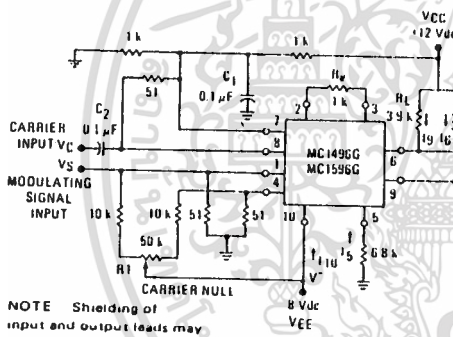
Under certain values of driving source impedance, oscillation may occur. In this event, an RC suppression network should be connected directly to each input using short leads. This will reduce the Q of the source-tuned circuits that cause the oscillation.



An alternate method for low frequency applications is to insert a 1 k ohm resistor in series with the inputs, pins 1 and 4. In this case input current drift may cause serious degradation of carrier suppression.

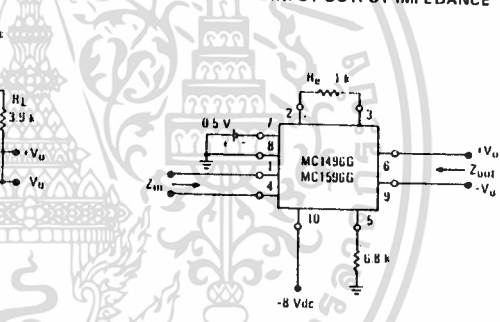
**TEST CIRCUITS**

**FIGURE 5 – CARRIER REJECTION AND SUPPRESSION**

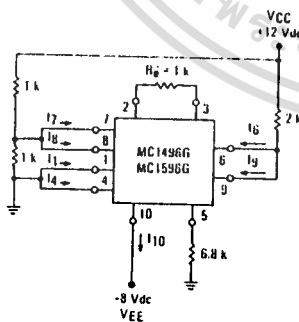


**NOTE** Shielding of input and output leads may be needed to properly perform these tests.

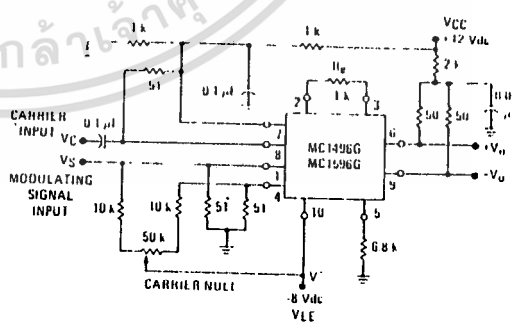
**FIGURE 6 – INPUT OUTPUT IMPEDANCE**



**FIGURE 7 – BIAS AND OFFSET CURRENTS**



**FIGURE 8 – TRANSCONDUCTANCE BANDWIDTH**



**NOTE** Pin number references pertain to this device when packaged in a metal can. To ascertain the corresponding pin numbers for plastic or ceramic packaged devices refer to the first page of this specification sheet.

## OPERATIONS INFORMATION (continued)

The linear signal handling capabilities of a differential amplifier are well defined. With no emitter degeneration, the maximum input voltage for linear operation is approximately 25 mV peak. Since the upper differential amplifier has its emitters internally connected, this voltage applies to the carrier input port for all conditions.

Since the lower differential amplifier has provisions for an external emitter resistance, its linear signal handling range may be adjusted by the user. The maximum input voltage for linear operation may be approximated from the following expression.

$$V \cdot (1/5) (R_E) \text{ volts peak.}$$

This expression may be used to compute the minimum value of  $R_E$  for a given input voltage amplitude.

FIGURE 25 - TABLE 1  
VOLTAGE GAIN AND OUTPUT FREQUENCIES

Carrier Input Signal ( $V_C$ )	Approximate Voltage Gain	Output Signal Frequency(s)
Low-level dc	$\frac{R_L V_C}{2(R_E + 2r_e) \left(\frac{KT}{q}\right)}$	$f_M$
High-level dc	$\frac{R_L}{R_E + 2r_e}$	$f_M$
Low-level ac	$\frac{R_L V_C(\text{rms})}{2\sqrt{2} \left(\frac{KT}{q}\right) (R_E + 2r_e)}$	$f_C \pm f_M$
High-level ac	$\frac{0.637 R_L}{R_E + 2r_e}$	$f_C \pm f_M, 3f_C \pm f_M, 5f_C \pm f_M$

The gain from the modulating signal input port to the output is the MC1596/MC1496 gain parameter which is most often of interest to the designer. This gain has significance only when the lower differential amplifier is operated in a linear mode, but this includes most applications of the device.

As previously mentioned, the upper quad differential amplifier may be operated either in a linear or a saturated mode. Approximate gain expressions have been developed for the MC1596/MC1496 for a low-level modulating signal input and the following carrier input conditions:

- 1) Low-level dc
- 2) High-level dc
- 3) Low-level ac
- 4) High-level ac

These gains are summarized in Table 1, along with the frequency components contained in the output signal.

### NOTES.

1. Low level Modulating Signal,  $V_M$ , assumed in all cases
2.  $V_C$  is Carrier Input Voltage
3. When the output signal contains multiple frequencies, the gain expression given is for the output amplitude of each of the two desired outputs,  $f_C + f_M$  and  $f_C - f_M$
4. All gain expressions are for a single-ended output. For a differential output connection, multiply each expression by two.
5.  $R_L$  Load resistance
6.  $R_E$  Emitter resistance between pins 2 and 3
7.  $r_e$  Transistor dynamic emitter resistance, at +25°C.

$$r_e \approx \frac{26 \text{ mV}}{I_E \text{ (mA)}}$$

8.  $K$  Boltzmann's Constant,  $T$  temperature in degrees Kelvin,  $q$  the charge on an electron.

$$\frac{KT}{q} \approx 26 \text{ mV at room temperature}$$

## APPLICATIONS INFORMATION

Double sideband suppressed carrier modulation is the basic application of the MC1596/MC1496. The suggested circuit for this application is shown on the front page of this data sheet.

In some applications, it may be necessary to operate the MC1596/MC1496 with a single dc supply voltage instead of dual supplies. Figure 26 shows a balanced modulator designed for operation with a single +12 Vdc supply. Performance of this circuit is similar to that of the dual supply modulator.

### AM Modulator

The circuit shown in Figure 27 may be used as an amplitude modulator with a minor modification.

All that is required to shift from suppressed carrier to AM operation is to adjust the carrier null potentiometer for the proper amount of carrier insertion in the output signal.

However, the suppressed carrier null circuitry as shown in Figure 27 does not have sufficient adjustment range. Therefore, the modulator may be modified for AM operation by changing two resistor values in the null circuit as shown in Figure 28.

### Product Detector

The MC1596/MC1496 makes an excellent SSB product detector (see Figure 29).

This product detector has a sensitivity of 3.0 microvolts and a dynamic range of 90 dB when operating at an intermediate frequency of 9 MHz.

The detector is broadband for the entire high frequency range. For operation at very low intermediate frequencies down to 50 kHz the 0.1  $\mu\text{F}$  capacitors on pins 7 and 8 should be decreased to 1.0  $\mu\text{F}$ . Also, the output filter at pin 9 can be tailored to a specific intermediate frequency and audio amplifier input impedance.

As in all applications of the MC1596/MC1496, the emitter resistance between pins 2 and 3 may be increased or decreased to adjust circuit gain, sensitivity, and dynamic range.

This circuit may also be used as an AM detector by introducing carrier signal at the carrier input and an AM signal at the SSB input.

The carrier signal may be derived from the intermediate frequency signal or generated locally. The carrier signal may be introduced with or without modulation, provided its level is sufficiently high to saturate the upper quad differential amplifier. If the carrier signal is modulated, a 300 mV(rms) input level is recommended.

APPLICATIONS INFORMATION (continued)

Doubly Balanced Mixer

The MC1596/MC1496 may be used as a doubly balanced mixer with either broadband or tuned narrow band input and output networks.

The local oscillator signal is introduced at the carrier input port with a recommended amplitude of 100 mV(rms).

Figure 30 shows a mixer with a broadband input and a tuned output.

Frequency Doubler

The MC1596/MC1496 will operate as a frequency doubler by introducing the same frequency at both input ports.

Figures 31 and 32 show a broadband frequency doubler and a tuned output very high frequency (VHF) doubler, respectively.

Phase Detection and FM Detection

The MC1596/MC1496 will function as a phase detector. High-level input signals are introduced at both inputs. When both inputs are at the same frequency the MC1596/MC1496 will deliver an output which is a function of the phase difference between the two input signals.

An FM detector may be constructed by using the phase detector principle. A tuned circuit is added at one of the inputs to cause the two input signals to vary in phase as a function of frequency. The MC1596/MC1496 will then provide an output which is a function of the input signal frequency.

NOTE Pin number references pertain to this device when packaged in a metal can. To ascertain the corresponding pin numbers for plastic or ceramic packaged devices refer to the first page of this specification sheet.

TYPICAL APPLICATIONS

FIGURE 26 - BALANCED MODULATOR (+12 Vdc SINGLE SUPPLY)

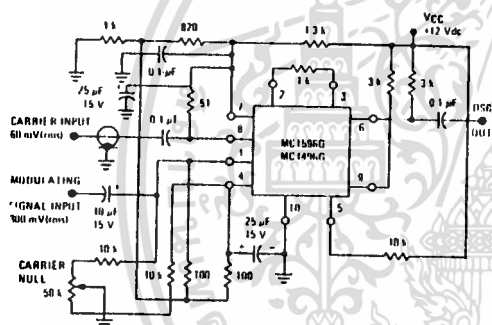


FIGURE 27 - BALANCED MODULATOR-DEMODULATOR

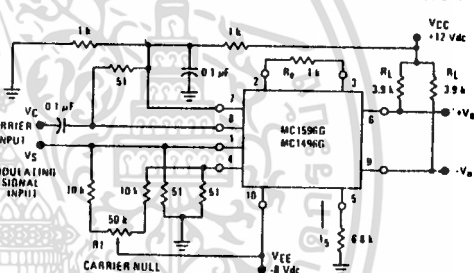


FIGURE 28 - AM MODULATOR CIRCUIT

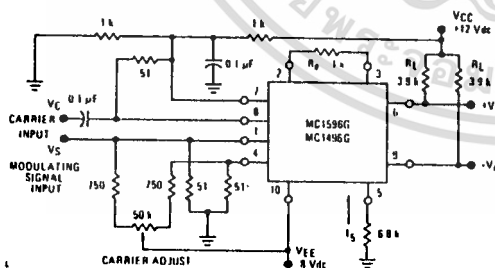
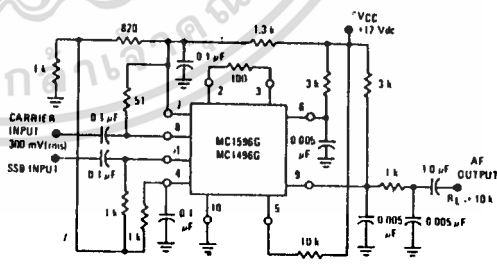


FIGURE 29 - PRODUCT DETECTOR (+12 Vdc SINGLE SUPPLY)



เอกสารนี้เป็นเอกสารที่สงวนไว้สำหรับการใช้งานเพื่อการศึกษาเท่านั้น ไม่อนุญาตให้นำไปใช้ประโยชน์ด้านการค้า  
ไม่ว่ากรณีใดๆทั้งสิ้น อีกทั้งห้ามมิให้ดัดแปลงเนื้อหา และต้องอ้างอิงถึงเจ้าของเอกสารทุกครั้งที่มีการนำไปใช้

## กิตติกรรมประกาศ

ปริญญาบัตร เรื่อง ดิจิตอลไมโครเวฟ นี้สามารถสำเร็จลุล่วงไปได้ ทางผู้จัดทำต้องขอขอบคุณ อาจารย์โมโนเย ไกรฤกษ์ อาจารย์ที่ปรึกษา ที่ให้คำปรึกษาและคำแนะนำทั้งในด้านทฤษฎีและปฏิบัติ และขอขอบคุณ อาจารย์ทองทต วาณิชศรี อาจารย์กิตติชัยพานิชปฐมวงศ์ ที่ให้คำแนะนำในทุกๆเรื่อง นอกจากนี้ยังมีเพื่อนๆที่ให้ความร่วมมือและคอยให้กำลังใจ ผู้จัดทำขอขอบคุณเพื่อนๆทุกคนไว้ในโอกาสนี้ด้วย



เอกสารนี้เป็นเอกสารที่สงวนไว้สำหรับการใช้งานเพื่อการศึกษาเท่านั้น ไม่อนุญาตให้นำไปใช้ประโยชน์ด้านการค้า  
ไม่ว่ากรณีใดๆทั้งสิ้น อีกทั้งห้ามมิให้ตัดแปลงเนื้อหา และต้องอ้างอิงถึงเจ้าของเอกสารทุกครั้งที่มีการนำไปใช้

## หนังสืออ้างอิง

1. Chris Bowick, "RF CIRCUIT DESIGN", Howard W. Sams & Co., Inc., Indiana, 1982.
2. Harold B. Killen, "DIGITAL COMMUNICATION WITH FIBER OPTICS AND SATELLITE APPLICATIONS", Prentice-Hall, Inc., Englewood Cliff, NJ., 1988.
3. Kamilo Feher, "ADVANCED DIGITAL COMMUNICATIONS SYSTEMS", Prentice-Hall, Inc., N.J., 1987.
4. Kamilo Feher, "DIGITAL COMMUNICATIONS : MICROWAVE APPLICATIONS", Prentice-Hall, Inc., N.J., 1981.
5. Kamilo Feher, "DIGITAL COMMUNICATIONS SATELLITE/EARTH STATION ENGINEERING", Prentice-Hall, Inc., N.J., 1983.
6. Wayne Tomasi, "ADVANCED ELECTRONIC COMMUNICATIONS SYSTEMS", Prentice-Hall, Inc., N.J., 1987.